



Pós-Graduação em Ciência da Computação

FÁBIO ALMEIDA MELO

SEGURANÇA EM ENTRADA E PARTIDA PASSIVAS DE AUTOMÓVEIS:

Uma revisão da literatura e um modelo



Universidade Federal de Pernambuco
posgraduacao@cin.ufpe.br
www.cin.ufpe.br/~posgraduacao

Recife
2019

FÁBIO ALMEIDA MELO

SEGURANÇA EM ENTRADA E PARTIDA PASSIVAS DE AUTOMÓVEIS:

Uma revisão da literatura e um modelo

Dissertação apresentada ao Programa de Pós-Graduação em Ciências da Computação da Universidade Federal de Pernambuco, como requisito parcial para a obtenção do título de Mestre em Ciências da Computação.

Área de concentração: Sistemas Distribuídos.

Orientador: Prof. Dr. Carlos André Guimarães.

Recife

2019

Catálogo na fonte
Bibliotecária Monick Raquel Silvestre da S. Portes, CRB4-1217

M528s Melo, Fábio Almeida
Segurança em entrada e partida passivas de automóveis: uma revisão da literatura e um modelo / Fábio Almeida Melo. – 2018.
107 f.: il., fig., tab.

Orientador: Carlos André Guimarães.
Dissertação (Mestrado) – Universidade Federal de Pernambuco. CIn, Ciência da Computação, Recife, 2018.
Inclui referências e apêndice.

1. Ciência da computação. 2. Sistemas distribuídos. I. Guimarães, Carlos André (orientador). II. Título.

004

CDD (23. ed.)

UFPE- MEI 2019-078

Fábio Almeida Melo

**Segurança em Entrada e Partida Passivas de Automóveis: Uma
Revisão da Literatura e um Modelo**

Dissertação de Mestrado apresentada ao Programa de Pós-Graduação em Ciência da Computação da Universidade Federal de Pernambuco, como requisito parcial para a obtenção do título de Mestre em Ciência da Computação.

Aprovado em: 13/09/2018.

BANCA EXAMINADORA

Prof. Dr. Abel Guilhermino da Silva Filho
Centro de Informática /UFPE

Prof. Dr. Rogério Patrício Chagas do Nascimento
Departamento de Computação/UFS

Prof. Dr. Carlos André Guimarães Ferraz
Centro de Informática / UFPE
(Orientador)

AGRADECIMENTOS

Agradeço ao meu orientador, à minha namorada, à minha família e a todos que contribuíram direta ou indiretamente na dissertação.

RESUMO

No começo da indústria automobilística, os veículos eram basicamente constituídos de sistemas mecânicos. Dentre esses sistemas, estavam não só sistemas como o de frenagem e aceleração, como também, o sistema antifurto, que era composto por uma simples chave mecânica. Porém, o uso da chave mecânica tornava os automóveis sujeitos a furtos por meio da duplicação das chaves ou arrombamento da fechadura. Dado o crescente número de furto de veículos, especialmente nas grandes cidades, e o advento da eletrônica, a indústria automobilística introduziu nos veículos os sistemas de entrada remota sem chaves ou RKE (Remote Keyless Entry) em meados dos anos 80. No entanto, os primeiros sistemas de RKE acrescentariam apenas mais comodidade do que segurança propriamente dita, pois eram facilmente clonados e não evitavam técnicas comuns de roubo de carro a partir da “ligação direta” no sistema de ignição. Desta forma, com o objetivo de diminuir o número de roubo de carros, a indústria automobilística passou a utilizar sistemas imobilizadores como uma proteção extra ao sistema de ignição. Em 1995, esses sistemas passariam a se tornar obrigatórios em veículos fabricados na União Europeia, medida que foi seguida por países como Austrália, Nova Zelândia e Canadá. Contudo, apesar dos esforços da indústria contra os roubos de veículos, os sistemas utilizados ainda apresentaram falhas de segurança. Essa ausência de segurança nos veículos trouxe sérios problemas à indústria automotiva nos últimos anos. Estudos recentes comprovam que veículos modernos ainda podem ser abertos e ligados sem autorização do proprietário. Nesse contexto, esta dissertação propõe uma revisão da literatura que consiste em uma revisão sistemática e uma revisão exploratória sobre controle de acesso e partida sem chaves. A partir disso, propõe-se um modelo de entrada e partida sem chaves (ou PKES - Passive Keyless Entry and Start) para veículos com foco em segurança e baseados em smartphones.

Palavras-chave: Controle de acesso à veículos. Passive Keyless Entry and Start (PKES). Remote Keyless Entry (RKE). Passive Entry and Passive Start (PEPS). Imobilizador.

ABSTRACT

In the very beginning of automobile industry, vehicles were made basically of mechanical systems. Among those systems there were braking and acceleration systems, moreover, anti-theft systems in vehicles were just mechanical key. However, mechanical keys made vehicles vulnerable to theft through duplication of keys or break-in of the lock. Due to the increasing number of vehicle thefts, especially in metropolises, and besides that the advent of electronics, automakers introduced Remote Keyless Entry (RKE) systems in the vehicles. Nevertheless, the first RKE systems would only add convenience rather than security as they were easily cloned and did not avoid common car theft techniques as hot-wiring in the ignition system. Thus, aiming to reduce car thefts, automobile industry adopted immobilizer systems as an extra protection to ignition system. In 1995, immobilizers would become mandatory in vehicles manufactured in the European Union, a move followed by countries such as Australia, New Zealand and Canada. However, despite the industry's efforts against vehicle theft, the systems used still had security issues. This lack of security on vehicles has brought serious problems to automotive industry in recent years. Recent studies show that modern vehicles can still be opened and start the engine without the owner's permission. In this context, this dissertation proposes a literature review that consists of a systematic review and an exploratory review on passive entry and passive start. Furthermore, a Passive Keyless Entry System (PKES) based on smartphones is proposed focusing on security aspects.

Keywords: Vehicle access control. Passive Keyless Entry System (PKES). Remote Keyless Entry (RKE). Passive Entry and Passive Start (PEPS). Immobilizers.

LISTA DE FIGURAS

| | | |
|-------------|--|----|
| Figura 1 – | Trilateração hiperbólica..... | 22 |
| Figura 2 – | Triangulação | 22 |
| Figura 3 – | <i>Bounding box</i> | 23 |
| Figura 4 – | Relay attack | 26 |
| Figura 5 – | Autenticação unilateral..... | 28 |
| Figura 6 – | Autenticação mútua | 28 |
| Figura 7 – | Revisão sistemática | 33 |
| Figura 8 – | Quantidade de publicações x ano..... | 33 |
| Figura 9 – | Quantidade de publicações x autores..... | 33 |
| Figura 10 – | Quantidade de referências no google scholar por publicação | 33 |
| Figura 11 – | Quantidade de publicações por sistemas | 33 |
| Figura 12 – | Publicações de patentes por ano..... | 33 |
| Figura 13 – | Publicações de patentes por proprietário..... | 33 |
| Figura 14 – | Key fob com hitag2 | 42 |
| Figura 15 – | Autenticação do DST | 44 |
| Figura 16 – | Autenticação mútua do megamos crypto | 46 |
| Figura 17 – | Autenticação mútua do open immobilizer software stack da atmel.. | 48 |
| Figura 18 – | Cifrador do keeloq..... | 50 |
| Figura 19 – | Replay attack with genuine key fob..... | 56 |
| Figura 20 – | Ciclo de vida de um veículo – possíveis cenários..... | 62 |
| Figura 21 – | Visão geral..... | 67 |
| Figura 22 – | Arquitetura – lado celular (cliente) | 68 |
| Figura 23 – | Máquina de estados da aplicação <i>mobile</i> | 69 |
| Figura 24 – | Exemplo de chave virtual | 70 |
| Figura 25 – | Arquitetura – lado do veículo (servidor) | 72 |
| Figura 26 – | Autenticação sem ciência de contexto | 74 |
| Figura 27 – | Configuração inicial da chave | 76 |
| Figura 28 – | Antenas externas | 77 |
| Figura 29 – | Destravamento..... | 77 |
| Figura 30 – | Travamento..... | 78 |
| Figura 31 – | Antenas internas..... | 78 |
| Figura 32 – | Start/stop engine..... | 79 |
| Figura 33 – | Compartilhamento da chave com usuário fisicamente próximo..... | 79 |

LISTA DE QUADRO

| | | |
|-------------|--|----|
| Quadro 1 – | Comparativo NFC x Bluetooth x BLE | 24 |
| Quadro 2 – | Conjunto Inicial de Artigos | 34 |
| Quadro 3 – | Trabalhos Seleccionados na Primeira Iteração de Forward Snowballing | 35 |
| Quadro 4 – | Trabalhos Seleccionados na Primeira Iteração de Backward Snowballing..... | 36 |
| Quadro 5 – | Trabalhos Seleccionados na Segunda Iteração de Forward Snowballing..... | 38 |
| Quadro 6 – | Sistemas Seleccionados por Revisão..... | 45 |
| Quadro 7 – | PKES e as Redes Utilizadas..... | 47 |
| Quadro 8 – | Chaves Utilizadas | 48 |
| Quadro 9 – | Sistemas e Tipos de Autenticação | 53 |
| Quadro 10 – | Algoritmos de Criptografia Utilizados | 55 |

LISTA DE SIGLAS

| | |
|-------------------|---------------------------------------|
| ABAC | Attribute Based Access Control |
| ACL | Access Control List |
| AES | Advanced Encryption Standard |
| API | Application Programming Interface |
| BLE | Bluetooth Low Energy |
| COPACOBANA | Cost-Optimized Parallel Code Breaker |
| CRC | Cyclic Redundancy Check |
| DENATRAN | Departamento Nacional de Trânsito |
| DoS | Denial-of-Service |
| DST | Digital Signature Transponder |
| ECU | Electronic Control Unit |
| GLFSR | Galois Linear Feedback Shift Register |
| GPS | Global Positioning System |
| IBAC | Identity Based Access Control |

| | |
|--------------------|--|
| IFF | Identify Friend or Foe |
| LF | Low Frequency |
| LFSR | Linear Feedback Shift Register |
| MAC Address | Media Access Control Address |
| MITM | Man-in-the-middle |
| NFC | Near Field Communication |
| NLFSR | Non-linear Feedback Shift Register |
| OICA | Organisation Internationale des Constructeurs d'Automobiles |
| OOB | Out of Band |
| PKE | Passive Keyless Entry |
| PKES | Passive Keyless Entry and Start |
| RBAC | Role Based Access Control |
| RC4 | Rivest Cipher 4 |
| RFID | Radio-frequency IDentification |
| RKE | Remote Keyless Entry |

| | |
|-------------|------------------------------------|
| RS | Revisão Sistemática |
| RSA | Rivest-Shamir-Adleman |
| RSSI | Received Signal Strength Indicator |
| SEAC | Sensor Enhanced Access Control |
| SIG | Special Interest Group |
| UHF | Ultra High Frequency |
| UUID | Universally Unique Identifier |

SUMÁRIO

| | | |
|---------|--|----|
| 1 | INTRODUÇÃO | 17 |
| 1.1 | CONTEXTO E MOTIVAÇÃO | 17 |
| 1.2 | OBJETIVOS | 19 |
| 1.3 | ESTRUTURA DA DISSERTAÇÃO | 19 |
| 2. | REFERENCIAL TEÓRICO | 21 |
| 2.1 | ENTRADA E PARTIDA EM VEÍCULOS | 21 |
| 2.2 | LOCALIZAÇÃO | 22 |
| 2.3 | COMUNICAÇÃO SEM FIO | 23 |
| 2.3.1 | Bluetooth | 23 |
| 2.3.1.1 | <i>Bluetooth Low Energy</i> | 23 |
| 2.3.2 | NFC | 24 |
| 2.3.3 | Análise Comparativa | 24 |
| 2.4 | COMPUTAÇÃO SENSÍVEL AO CONTEXTO | 25 |
| 2.5 | ATAQUES EM SISTEMAS DE ENTRADA E PARTIDA | 25 |
| 2.5.1 | Força Bruta | 25 |
| 2.5.2 | Jamming | 26 |
| 2.5.3 | Man-in-the-middle | 26 |
| 2.5.4 | Replay Attack | 26 |
| 2.5.5 | Relay Attack | 26 |
| 2.5.6 | Cryptanalysis | 27 |
| 2.5.7 | Side Channel Attack | 27 |
| 2.5.8 | Denial of Service | 27 |
| 2.6 | SEGURANÇA | 27 |
| 2.6.1 | Autenticação | 27 |
| 2.6.2 | Autorização | 28 |
| 2.6.3 | Whitelist e Blacklist | 29 |
| 2.6.4 | Criptografia | 29 |
| 3 | REVISÃO DA LITERATURA | 31 |
| 3.1 | INTRODUÇÃO | 31 |
| 3.2 | REVISÃO SISTEMÁTICA DA LITERATURA | 31 |
| 3.2.1 | Metodologia | 32 |
| 3.2.2 | Citérios de Elegibilidade | 33 |

| | | |
|---------|--|----|
| 3.2.3 | Seleção do Conjunto Inicial de Artigos | 33 |
| 3.2.4 | Iterações de Backward e Forward Snowballing | 34 |
| 3.2.5 | Primeira Iteração | 35 |
| 3.2.5.1 | <i>Forward Snowballing</i> | 35 |
| 3.2.6 | Segunda Iteração | 38 |
| 3.2.6.1 | <i>Backward Snowballing</i> | 38 |
| 3.2.7 | Terceira iteração | 39 |
| 3.2.8 | Resultados | 39 |
| 3.2.8.1 | <i>Publicações por Ano</i> | 39 |
| 3.2.8.2 | <i>Principais Autores</i> | 40 |
| 3.2.8.3 | <i>Artigos Mais Revelantes</i> | 40 |
| 3.2.8.4 | <i>Principais Sistemas Estudados</i> | 40 |
| 3.3 | REVISÃO SISTEMÁTICA DE PATENTES | 41 |
| 3.3.1 | Metodologia | 41 |
| 3.3.2 | Resultados | 41 |
| 3.3.2.1 | <i>Principais Por ano</i> | 42 |
| 3.3.2.2 | <i>Principais por Proprietários</i> | 43 |
| 3.4 | REVISÃO EXPLORATÓRIA | 43 |
| 3.4.1 | Metodologia | 44 |
| 3.4.2 | Resultados | 44 |
| 3.5 | CONSOLIDAÇÃO DAS REVISÕES | 44 |
| 3.6 | PRINCIPAIS REQUISITOS ANALISADOS | 46 |
| 3.6.1 | Dispositivos | 46 |
| 3.6.2 | Rede | 46 |
| 3.6.3 | Tamanho da Chave de Criptografia | 48 |
| 3.6.4 | Autenticação | 48 |
| 3.6.4.1 | <i>DST</i> | 49 |
| 3.6.4.2 | <i>Hitag2</i> | 49 |
| 3.6.4.3 | <i>Keeloq</i> | 50 |
| 3.6.4.4 | <i>Megamos Crypto</i> | 50 |
| 3.6.4.5 | <i>Volkswagen Group RKE</i> | 51 |
| 3.6.4.6 | <i>Open Immobilizer Software Stack</i> | 51 |
| 3.6.5 | Criptografia | 53 |
| 3.6.5.1 | <i>DST</i> | 54 |
| 3.6.5.2 | <i>Hitag2</i> | 54 |

| | | |
|---------|--|----|
| 3.6.5.3 | <i>Keeloq</i> | 54 |
| 3.6.5.4 | <i>Megamos Crypto</i> | 55 |
| 3.6.5.5 | <i>Volkswagen Group RKE</i> | 55 |
| 3.6.5.6 | <i>Open Immobilizer Software Stack</i> | 55 |
| 3.7 | VULNERABILIDADES | 55 |
| 3.7.1 | DST | 56 |
| 3.7.2 | HITAG2 | 56 |
| 3.7.3 | KEELOQ | 56 |
| 3.7.4 | Megamos Crypto | 56 |
| 3.7.5 | Volkswagen RKE | 57 |
| 3.7.6 | Atmel Open Immobilizer Software Stack | 57 |
| 3.8 | ATAQUES | 57 |
| 3.8.1 | DST | 57 |
| 3.8.2 | HITAG2 | 57 |
| 3.8.3 | KEELOQ | 59 |
| 3.8.4 | Megamos Crypto | 59 |
| 3.8.5 | Volkswagen RKE | 59 |
| 3.8.6 | Atmel Open Immobilizer Software Stack | 60 |
| 3.9 | CONSIDERAÇÕES FINAIS | 61 |
| 4 | MODELO DE SEGURANÇA DE PKES | 62 |
| 4.1 | INTRODUÇÃO | 62 |
| 4.2 | REQUISITOS | 63 |
| 4.3 | ESCOPO | 64 |
| 4.4 | ESCOPO NEGATIVO | 66 |
| 4.5 | ARQUITETURA | 67 |
| 4.5.1 | Arquitetura da Aplicação Mobile | 67 |
| 4.5.2 | Arquitetura da Aplicação do Carro | 72 |
| 4.6 | PROTOCOLO DE COMUNICAÇÃO | 73 |
| 4.7 | FUNÇÕES | 75 |
| 4.7.1 | Configuração Inicial da Chave | 75 |
| 4.7.2 | Aquisição do Veículo | 76 |
| 4.7.3 | Destravar Portas e Porta-malas | 76 |
| 4.7.4 | Travar Portas e Porta-malas | 77 |
| 4.7.5 | Ligar o Veículo | 78 |

| | | |
|-------|---|----|
| 4.7.6 | Compartilhamento de Chaves | 79 |
| 4.7.7 | Remoção de Chaves | 79 |
| 4.8 | AUTENTICAÇÃO CIENTE DE CONTEXTO | 80 |
| 4.9 | LIMITAÇÕES DO MODELO | 82 |
| 4.10 | CONSIDERAÇÕES FINAIS | 83 |
| 5. | CONCLUSÃO | 84 |
| 5.1 | CONTRIBUIÇÕES..... | 84 |
| 5.2 | TRABALHOS FUTUROS | 85 |
| 5.3 | LIMITAÇÕES DO ESTUDO | 85 |
| 5.4 | CONSIDERAÇÕES FINAIS | 85 |
| | REFERÊNCIAS | 87 |
| | APÊNDICE A – REVISÃO DE PATENTES | 92 |

1 INTRODUÇÃO

Este capítulo relata as principais motivações para realização deste trabalho, os objetivos de pesquisa almejados e, finalmente, mostra como está estruturado o restante da presente dissertação.

1.1 CONTEXTO E MOTIVAÇÃO

Desde o advento do automóvel por volta de 1769 (ECKERMANN, 2001), com invenção do motor a vapor, bilhões de automóveis foram produzidos no mundo, sendo mais de 1,4 bilhões nos últimos vinte anos¹. No Brasil, segundo DENATRAN (Departamento Nacional de Trânsito), são mais de 43 milhões de veículos que circulam no país². Atualmente, a produção mundial de veículos ultrapassa a casa dos 100 milhões de acordo com a OICA (*Organisation Internationale des Constructeurs d'Automobiles*)³.

Nesses aproximadamente 250 anos da existência do automóvel uma verdadeira revolução vem acontecendo. Enquanto em 1769 os primeiros veículos funcionavam com motor a vapor, em 1805 surgiram os primeiros veículos à combustão interna, seguidos, em 1885, pelos primeiros veículos com motor de combustão a gasolina até os veículos híbridos e elétricos dos dias atuais (ECKERMANN, 2001). Essa revolução, no entanto, não se deu apenas nos motores; com o advento da eletrônica e da computação, os automóveis passaram a ter várias ECUs (*Electronic Control Unit*) e a ter em torno de 100 milhões de linhas de código de *software*, contendo até mesmo mais linhas de código que aviões e sistemas operacionais⁴. Essa revolução ofereceu aos usuários uma infinidade de novas funcionalidades que propiciaram conforto e comodidade para realizar desde funções como dirigir, que agora conta com assistentes de direção e GPS, até o diagnóstico remoto de problemas no motor.

¹ <http://www.oica.net/category/production-statistics/>

² <https://g1.globo.com/carros/noticia/frota-brasileira-de-veiculos-cresce-12-em-2017-diz-sindipecas.ghtml>

³ <http://www.oica.net/category/production-statistics/2017-statistics/>

⁴ <https://www.ibm.com/blogs/internet-of-things/iot-design-for-system-of-systems/>

Durante toda essa revolução, os sistemas como os de entrada e partida, que antes eram mecânicos, passariam a se tornar sistemas de entrada remota (*Remote Keyless Entry* – RKE) através do uso de rádio frequência em 1982 com o Renault Fuego⁵, seguido pelo sistema de entrada passiva (*Passive Keyless Entry* – PKE) do Corvette em 1993⁶ e, finalmente, com o sistema de entrada e partida passiva (*Passive Keyless Entry and Start* – PKES) do Mercedes S-Class em 1998, fazendo com que o simples ato de entrar no automóvel e ligá-lo fosse possível sem precisar retirar a chave do bolso e utilizar de um simples toque em um botão para ligá-lo.

Porém, mesmo com toda essa revolução tecnológica pela qual o automóvel passou, ainda não foi o suficiente para torná-los completamente seguros do ponto de vista da tecnologia da informação. Pois junto com os avanços tecnológicos vieram novas falhas de segurança da informação e de aspectos de privacidade. Com isso, cada vez mais, quadrilhas especializadas formadas por *hackers* têm obtido sucesso em comprometer a segurança do automóvel⁷. Segundo a Interpol, mais de 36 milhões de carros foram reportados como roubados entre 2012 e 2017 em todo o mundo, isso sem contabilizar os casos não registrados⁸. Na França, cerca de 74% roubos de carros em 2015 se deram através de *hackers* e na Inglaterra, em 2014, quase metade dos roubos de carros se deram sem as chaves⁹. Recentemente, um circuito de câmeras de segurança flagrou dois assaltantes abrindo uma Mercedes-Benz em menos de um minuto sem o uso de arrombamento e chaves¹⁰, o mesmo aconteceu com uma BMW¹¹ e uma Land Rover Discovery¹².

Apesar de recentes, esses ataques apenas corroboram com o que já vem sendo propagado há anos pela comunidade científica. Diversos estudos têm demonstrado ao longo de tempo a fragilidade dos sistemas de entrada e partida em termos de segurança. Em (BONO et al., 2005), a análise do Digital Signature Transponder da Texas Instruments evidenciou uma falha no tamanho da chave que afeta mais de 150 milhões de veículos. Já o Keeloq, que é utilizado por diversos modelos da Volvo, Toyota, Honda e Fiat, teve falhas expostas em diversos trabalhos (COURTOIS;

⁵ <https://www.motor1.com/news/131217/worst-sports-cars-renault-fuego/>

⁶ <https://www.corvsport.com/1993-c4-corvette/>

⁷ <https://www.bbc.com/news/technology-29786320>

⁸ <https://www.interpol.int/Crime-areas/Vehicle-crime/Database-statistics>

⁹ <https://www.telegraph.co.uk/news/worldnews/europe/france/11964140/Three-quarters-of-cars-stolen-in-France-electronically-hacked.html>

¹⁰ <https://www.express.co.uk/life-style/cars/885216/relay-car-theft-keyless-entry-advice-faraday-cage>

¹¹ <https://www.express.co.uk/life-style/cars/866987/car-theft-hack-keyless-entry-video-BMW-stolen>

¹² <https://www.bbc.com/news/av/uk-england-birmingham-40979096/land-rover-discovery-stolen-in-solihull-in-keyless-theft>

O'NEIL; QUISQUATER, 2009; EISENBARTH et al., 2008; INDESTEEGE et al., 2008; MALAGÓN et al., 2015; PAAR et al., 2009; SHEETRIT; WOOL, 2011). Em Verdult, Garcia e Balasch (2012) os ataques demonstram a fragilidade do Hitag2, que é utilizado em mais de 200 modelos de 34 montadoras. Esse estudo, demonstrou que o Hitag2 pode ser *hackeado* em menos de 360 segundos. Já Wang e Yu (2005), informa que o Megamos Crypto que, segundo o fabricante, teve mais de 100 milhões de dispositivos produzidos, é explorado através de 3 ataques. Em outro importante estudo, Garcia et al. (2016) expõem falhas do RKE utilizado pelo Grupo Volkswagen, que é um dos líderes mundiais na produção de veículos, atingindo modelos como Fox, Golf, Audi A1, Audi Q3, entre outros.

Assim, diante dessa problemática crescente de roubos de veículos, em especial as que ocorrem através do comprometimento dos sistemas de entrada e partida sem chaves, também conhecido como entrada e partida passivas (*Passive Keyless Entry and Start* – PKES), esse trabalho busca apresentar o que de mais importante tem sido pesquisado pela indústria e academia em relação à segurança dos PKES e, diante do levantado na literatura, propor um modelo composto por partes das propostas consideradas mais seguras, considerando o uso de um smartphone como chave virtual do PKES.

1.2 OBJETIVOS

Essa dissertação tem como objetivo apresentar o que vem sendo pesquisado pela academia e indústria através da realização de uma revisão da literatura sobre entrada e partida em automóveis. Além disso, a partir dos resultados obtidos pela revisão, um outro objetivo desse trabalho é a elaboração de um sistema de controle de acesso e partida sem chaves em veículos baseado em *smartphones* com foco em segurança da informação. Para alcançar esse objetivo, análise dos trabalhos encontrados na literatura e dos sistemas existentes no mercado é de suma importância, uma vez que o modelo proposto é composto por soluções encontradas nesta revisão da literatura.

1.3 ESTRUTURA DA DISSERTAÇÃO

Daqui em diante este trabalho está estruturado da seguinte maneira:

- **Capítulo 2 – Referencial Teórico:** O segundo capítulo tem como objetivo apresentar conceitos fundamentais utilizados em sistemas de entrada e partida passivas sem chaves.
- **Capítulo 3 – Revisão da Literatura:** Nesse capítulo é apresentado como foi realizada a revisão da literatura. Inicialmente é apresentada a revisão

sistemática e em seguida a revisão exploratória. Além disso, os resultados obtidos na revisão sistemática e na exploratória também são apresentados, incluindo os principais requisitos analisados. O Capítulo 3 também apresenta os ataques e as vulnerabilidades dos principais sistemas encontrados na literatura.

- **Capítulo 4 – Modelo Proposto:** O quarto capítulo apresenta um modelo de controle de acesso e partida sem chaves baseado em smartphones e com foco em segurança, elaborado a partir da revisão da literatura.
- **Capítulo 5 – Considerações Finais:** O último capítulo encerra a dissertação apresentando as principais conclusões, os resultados obtidos, as limitações e sugestões de trabalhos futuros, visando a dar continuidade à pesquisa realizada por esse trabalho.

2 REFERENCIAL TEÓRICO

Este capítulo apresenta os conceitos fundamentais sobre as tecnologias envolvidas no desenvolvimento do modelo proposto.

2.1 ENTRADA E PARTIDA EM VEÍCULOS

Os primeiros veículos que se tem conhecimento com sistema de entrada e partida faziam uso de sistemas mecânicos com o uso de chaves mecânicas. Porém, os veículos eram facilmente violados ou podiam ter as chaves copiadas. A partir de 1982, o primeiro RKE (*Remote Keyless Entry* – Entrada Remota sem Chave) foi introduzido através do Renault Fuego¹³. Os RKEs permitiram aos usuários travar e destravar as portas do veículo com apenas um clique de um botão em um controle remoto. Para isso, as chaves, que antes eram mecânicas, passaram a contar com dispositivos eletrônicos providos de antenas para enviar comandos e se comunicar com o automóvel. Porém, os primeiros RKE trariam mais conforto que segurança, propriamente dito. Com o crescente aumento do número de roubos de carros, a indústria automobilística passou a adotar sistemas imobilizadores como uma proteção extra ao sistema de ignição. Em 1995, esses sistemas passaram a se tornar obrigatórios em veículos fabricados na União Europeia (EC, 1995), medida que foi seguida por países como Austrália, Nova Zelândia e Canadá (AS/NZS, 1999; SCC, 1998). Ainda na década de 1990, através do 1993 C4 Corvette, o primeiro PKE (*Passive Keyless Entry* – Entrada Passiva sem Chave) era introduzido no mercado automobilístico. No entanto, ainda era necessária a chave para dar partida ao automóvel¹⁴. Anos depois, em 1998, a Mercedes-Benz introduzia no mercado, através do Mercedes S-Class, o Keyless-Go produzido pela Siemens que é considerado o primeiro PKES (*Passive Keyless Entry and Start* – Entrada e Partida Passiva sem Chave).

Com os PKES, os usuários passaram a travar e destravar as portas do veículo apenas ao se aproximar ou se afastar do veículo com a chave próxima ao corpo como, por exemplo, dentro do bolso. Para que isso fosse possível, os veículos foram equipados com antenas que, junto com técnicas de localização como, por exemplo, a

¹³ <https://www.motor1.com/news/131217/worst-sports-cars-renault-fuego/>

¹⁴ <https://www.corvsport.com/1993-c4-corvette/>

triangulação, conseguem detectar a presença da chave nas proximidades ou dentro do veículo.

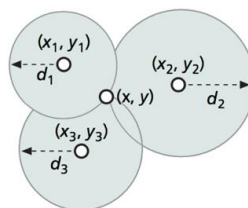
Atualmente, alguns modelos de luxo como, por exemplo, o BMW série 3 também possuem um chip de telefonia móvel para travamento e destravamento remoto de portas através de um aplicativo no celular (BMW, [s.d.]). Além disso, fabricantes de equipamentos estão desenvolvendo PKES que utilizam o *smartphone* como chave virtual para os veículos (BOSCH, [s.d.]; CONTINENTAL, [s.d.]).

2.2 LOCALIZAÇÃO

Existem diversas maneiras de se localizar um dispositivo em ambientes *indoor* e *outdoor*. As principais formas de estimativas de distância se baseiam em: força de sinal recebido (*Received Signal Strength Indicator* - RSSI), tempo de chegada (*time-of-arrival* e *time-difference-of-arrival*) e ângulo de chegada (*angle-of-arrival*). Então, diante desses valores, pode-se estimar a localização através de algum método, dentre os quais estão a trilateração hiperbólica, a triangulação e o *bounding box* (BOUKERCHE; NAKAMURA, 2007).

- Na trilateração hiperbólica a localização é dada a partir do cálculo da interseção de três círculos.

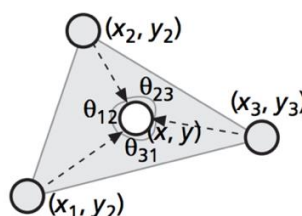
Figura 1 - Trilateração hiperbólica



Fonte: Boukerche & Nakamura (2007)

- Na triangulação, as propriedades geométricas do triângulo são utilizadas para estimar a posição.

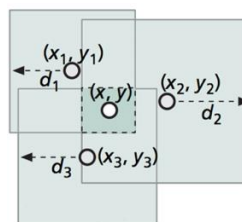
Figura 2 - Triangulação



Fonte: Boukerche & Nakamura (2007)

- No *bounding box* a localização é dada a partir da intersecção de três quadrados.

Figura 1 - Bounding box



Fonte: Boukerche & Nakamura (2007)

Atualmente diversos estudos têm sido feitos em localização *indoor* e *outdoor* com redes sem fio (CHAI; AN; DU, 2016; JIANYONG et al., 2014; KALBANDHE; PATIL, 2016, 2016; SADOWSKI; SPACHOS, 2018; THALJAOUJ et al., 2015; WANG et al., 2016).

2.3 COMUNICAÇÃO SEM FIO

Dentro das possibilidades de comunicação sem fio adotadas para um sistema baseado em *smartphones* (sem uso de hardware adicional) podemos citar o Bluetooth, BLE (*Bluetooth Low Energy*), e NFC (*Near Field Communication*). Além dessas redes, poderíamos incluir a Wifi e o 3G/4G, porém, essas redes possuem algumas limitações que as tornam inadequadas para o uso em um PKES. Enquanto a Wifi tem como impeditivo o tempo para estabelecer uma conexão (PEI et al., 2017). Já as redes de celulares têm um custo mais elevado, pois necessitariam de uma operadora de telefonia ou de uma licença para operar na faixa de frequência.

2.3.1 Bluetooth

O padrão bluetooth foi desenvolvido pelo grupo de interesse (Special Interest Group - SIG) inicialmente composto por cinco empresas; Ericsson, IBM, Intel, Nokia e Toshiba, e que atualmente, encontra-se na versão 5.0 (BLUETOOTH SPECIAL INTEREST GROUP (SIG), 2016). O Bluetooth foi criado com o objetivo de se tornar um padrão de comunicação sem fio aberto de curto alcance e de baixa potência. O Bluetooth opera na faixa de frequência de 2.4 GHz e tem taxas de transferência de dados de até 2.1 Mbit/s e um alcance de até 100 metros. Além disso, para realizar a conexão (pareamento) entre dois dispositivos o Bluetooth pode levar até 6 segundos (BLUETOOTH SPECIAL INTEREST GROUP (SIG), 2016).

De acordo com a especificação (BLUETOOTH SPECIAL INTEREST GROUP (SIG), 2016), existem 4 formas de realizar o pareamento entre dois dispositivos bluetooth: Just Works, Numeric Comparison, Passkey Entry e Out of Band (OOB). No primeiro, não há autenticação e os dispositivos se conectam sem interação do usuário, em alguns casos pode haver necessidade de confirmar se o usuário deseja se conectar. No segundo, os usuários precisam confirmar se os 6 dígitos que aparecem

no visor de cada dispositivo coincidem. No método Passkey Entry, uma senha de 6 dígitos precisa ser digitada para realizar o pareamento. Por último, no OOB algum mecanismo externo ao bluetooth é usado para trocar informações, normalmente é usado NFC (Near Field Communication).

2.3.1.1 *Bluetooth Low Energy*

Introduzido pela primeira vez no Bluetooth 4.0 (BLUETOOTH SPECIAL INTEREST GROUP (SIG), 2016) e aperfeiçoado em versões seguintes, o Bluetooth Low Energy (BLE) tem como principais características a conexão rápida, menor taxa de transferência de dados, um menor alcance e um menor consumo de energia se comparado à implementação do Bluetooth. Devido ao baixo consumo de energia, ele é apontado como uma das tecnologias-chave para comunicação sem fio na Internet das Coisas (BORGIA, 2014). Ao contrário do Bluetooth clássico, o BLE tem alcance de até 50m e uma taxa de transferência de 1 Mbit/s. Por outro lado, o BLE leva 0,006s para conexão e consome menos energia.

2.3.2 NFC

Near Field Communication (NFC) é um padrão de tecnologia sem fio voltada para troca de dados em curtíssimo alcance (menos de 20 centímetros) que opera em uma faixa de frequência de 13,56 MHz e com taxas de transferência de até 424 Kbit/s (AL-SARAWI et al., 2017).

2.3.3 Análise Comparativa

Diante da possibilidade de uso das três redes para uma aplicação de PKES baseada em smartphones, o Quadro 2 apresenta um comparativo entre elas.

Quadro 1 - Comparativo NFC x Bluetooth x BLE (

| | NFC | Bluetooth | BLE |
|------------------|------------|--------------------|-------------|
| Alcance | < 20 cm | ~ 100 m (classe 1) | ~ 50 m |
| Frequência | 13,56 MHz | 2,4-2,5 GHz | 2,4-2,5 GHz |
| Transmissão | 424 Kbit/s | 2,1 Mbit/s | 1 Mbit/s |
| Tempo de conexão | < 0,1s | < 6s | < 0,006s |
| Corrente | 15 mA | 30 mA | 15 mA |

Fonte: Adaptada de AL-SARAWI et al. (2017) e GOMEZ; OLLER; PARADELLS (2012)

Nota-se que o tempo de conexão entre dispositivos Bluetooth clássico é muito grande, já para NFC e BLE os valores são bem menores. Um outro fator importante é a distância em que as tecnologias funcionam, tendo o NFC um campo de ação muito restrito.

2.4 COMPUTAÇÃO SENSÍVEL AO CONTEXTO

O termo contexto em computação possui diversas definições, sendo a mais clássica a que foi definida por Dey: "qualquer informação que pode ser usada para caracterizar a situação de uma entidade. Uma entidade é uma pessoa, lugar ou objeto que é considerado relevante para a interação entre um usuário e uma aplicação, incluindo o próprio usuário e as próprias aplicações" (DEY, 2001), e esse contexto geralmente está relacionado a dados sobre a localização, a identidade e o estado de entidades ou grupos de entidades.

Dey vai além e define que um sistema sensível ao contexto é aquele que "usa o contexto para fornecer informações e/ou serviços relevantes para o usuário, onde a relevância depende da tarefa do usuário" (DEY, 2001). Essa definição de contexto e consciência de contexto¹⁵ resulta em sistemas que melhoraram sua eficiência e experiência do usuário pelo uso inteligente de informações contextuais.

Em termos de segurança, a computação sensível ao contexto pode ser utilizada como um fator de autenticação em sistemas em que a autenticação ocorre em mais de um passo. Em Bardram, Kjær e Pedersen (2003), tem-se um sistema hospitalar na qual o *login* do usuário no sistema acontece através de informações contextuais de localização. Já no trabalho de Covington et al. (2002), informações contextuais são capturadas através de vários sensores distribuídos em uma casa e utilizados na autenticação e autorização para, por exemplo, impedir que uma criança assista televisão a partir de onze da noite. Já em AL-Muhtadi et al. (2003) é apresentado o Cerberus, um sistema de autenticação e autorização ciente de contexto. Em Truong et al. (2015), é apresentado um sistema para bloquear e desbloquear um computador a partir de informações contextuais que indicam a presença do usuário. Em Iatrou (2017), é definido o SEAC (*Sensor Enhanced Access Control*), que através de câmeras e um algoritmo de rastreamento, autentica e autoriza pessoas para utilizar o sistema de arquivos de um *desktop*.

2.5 ATAQUES EM SISTEMAS DE ENTRADA E PARTIDA

Esta seção aborda alguns dos ataques a sistemas de entrada e partida existentes na literatura.

2.5.1 Força Bruta

Esse ataque se aproveita do tamanho da chave e realiza diversas combinações com tentativas de autenticação até que a chave utilizada seja encontrada. Na

¹⁵ Também conhecido como "ciência de contexto" ou "sensível a contexto".

literatura, existem diversas técnicas para realizar o ataque, entre elas a busca exaustiva, que realiza todas as tentativas possíveis, e o *time-memory-tradeoff*, que pré-computa tabelas de dados com possíveis chaves para diminuir o tempo de processamento de gerar todas as chaves possíveis (BORST; PRENEEL; VANDEWALLE, 1998).

2.5.2 Jamming

Em redes sem fio, esse ataque consiste em gerar sinais de ruído na mesma frequência em que a comunicação acontece com o objetivo de impedir a comunicação. (XU et al., 2006)

2.5.3 Man-in-the-middle

No ataque *man-in-the-middle* (MITM), o atacante intercepta a comunicação entre carro e chave para capturar as mensagens trocadas entre eles. Essa interceptação pode ser realizada com o intuito de aprender sobre o sistema, retransmitir as mensagens ou adulterar e retransmitir as mensagens (WELCH; LATHROP, 2003).

2.5.4 Replay Attack

Esse ataque é um tipo de MITM que consiste em interceptar mensagens para uso futuro (WELCH; LATHROP, 2003). As mensagens interceptadas são retransmitidas e podem ou não ser adulteradas. Para efetuar o ataque é preciso interceptar a comunicação através do MITM e ter algum conhecimento do formato das mensagens existentes no protocolo no caso de alguma adulteração.

2.5.5 Relay Attack

Esse ataque tem se tornado uns dos principais ataques em PKES (FRANCILLON; DANEV; CAPKUN, 2011). Por não necessitar de interação humana para autenticar, o atacante se posiciona entre a chave e o veículo para iniciar a comunicação entre eles e retransmitir a mensagem de ambos. Para isso ele introduz uma chave falsa e um leitor (veículo) falso com sinais amplificados, então veículo e chave autênticos se comunicam acreditando que se trata da chave e do leitor reais (Figura 4) (TILLICH; WÓJCIK, 2012). Esse ataque pode ser considerado uma versão do MITM.

Figura 2 - Relay Attack



Fonte: Tillich & Wójcik (2012)

2.5.6 Cryptanalysis

Esse ataque está relacionado à fragilidade do algoritmo de criptografia utilizada. Através da análise do algoritmo, esse ataque pode ser combinado com outro ataque, por exemplo, MITM para obter a chave a partir de poucas mensagens interceptadas. Um tipo de ataque de cryptanalysis é o *Algebraic attack*, que reduz a complexidade das funções lineares dos cifradores de fluxo ao transformar o cifrador em um sistema de equações (COURTOIS, 2003).

2.5.7 Side Channel attack

Um *side channel attack* é um ataque que obtém vantagem de quaisquer informações vazadas durante a execução de um processo de criptografia (OKEYA; SAKURAI, 2002). Essas informações podem ser: análise de memória *cache*, consumo de energia, análise diferencial de falhas (do inglês, *Differential Fault Analysis – DFA*).

2.5.8 Denial of Service

O ataque de *denial of service* consiste em inutilizar o sistema que está sendo atacado (WOOD; STANKOVIC, 2004). Em sistemas de entrada e partidas, esse ataque pode ser realizado através de envio de mensagens com contadores fora da janela esperada pelo veículo. Para isso, pode ser utilizada uma combinação do MITM para interceptar mensagens e em seguida retransmitir mensagens com contadores antigos (*replay attack*) (GARCIA et al., 2016) ou corrompendo a memória da chave ou do automóvel .

2.6 SEGURANÇA

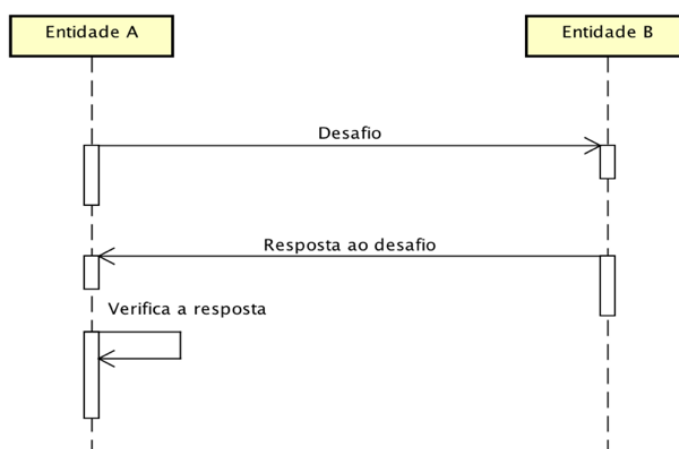
Em sistemas de PKES, a segurança é um dos principais fatores a ser considerado ao projetar um sistema. Além disso, devido ao fato desses sistemas usarem a comunicação sem fio, várias medidas precisam ser tomadas, dado que a informação trafega livremente pelo meio e qualquer um pode interceptá-la. As subseções a seguir apresentam abordagens que podem ser utilizadas para mitigar problemas de segurança em PKES.

2.6.1 Autenticação

Para evitar que qualquer pessoa tenha acesso ao veículo, os sistemas de controle de entrada e partida fazem uso da autenticação. A autenticação é realizada através de algoritmos de criptografia e garantem uma prova de autenticidade entre as entidades. No contexto de PKES, existem basicamente dois tipos de autenticação: unilateral e mútua (bilateral). Eles se baseiam no fato de que somente usuários que conhecem a chave compartilhada conseguirão responder a um desafio.

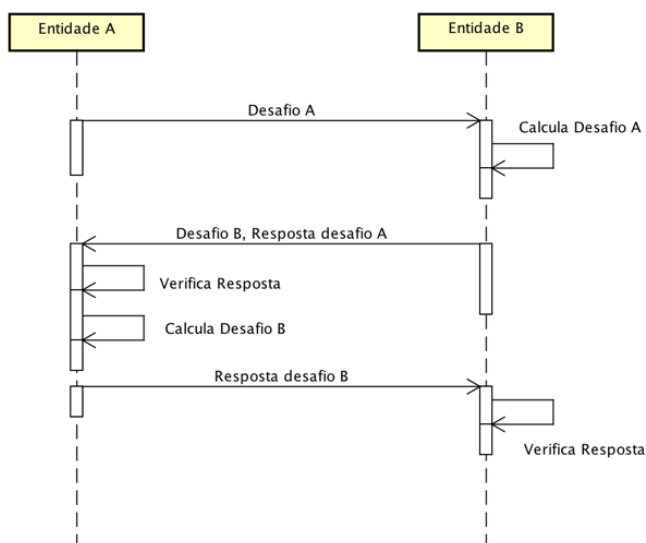
Na autenticação unilateral, apenas uma das entidades envolvidas prove legitimidade a outra (Figura 5). Já na autenticação mútua, ambas as entidades provêm legitimidade (Figura 6).

Figura 3 - Autenticação unilateral



Fonte: O autor (2019)

Figura 4 - Autenticação mútua



Fonte: O autor (2019)

2.6.2 Autorização

Além da autenticação, uma outra técnica utilizada para controle de acesso em sistemas é a autorização. Diferentemente da autenticação que decide se um usuário tem ou não acesso a um sistema, a autorização determina o que um usuário autenticado pode fazer no sistema. Na literatura existem diversos modelos de controle de acesso, dentre os quais estão o Identity Based Access Control (IBAC), o Role Based Access Control (RBAC) e o Attribute Based Access Control (ABAC).

No IBAC as permissões aos recursos do sistema estão associados a um identificador do usuário (YUAN; TONG, 2005). Um exemplo do IBAC são as Access Control Lists (ACL) utilizadas em sistemas operacionais. A grande vantagem desse paradigma é a sua fácil implementação, porém ele não é facilmente escalável à medida que a quantidade de identificadores de um recurso cresce (YUAN; TONG, 2005).

No paradigma RBAC cada usuário tem um papel associado (ex.: proprietário de veículo) e os acessos a certos recursos do sistemas estão restritos a esse papel (YUAN; TONG, 2005). A grande vantagem do RBAC é que os papéis são facilmente associados às regras de negócio da aplicação, porém não há como diferenciar usuários com o mesmo papel.

Já o ABAC é um paradigma de controle de acesso que garante permissão aos usuários através de combinações de atributos (FISHER et al., 2016). De acordo com (YUAN; TONG, 2005), os atributos podem ser entidades que realizam uma ação (um usuário, um processo, etc.), uma entidade que sofre uma ação (um componente do sistema, um serviço web, etc.) ou algum atributo de ambiente (data, hora, nível de segurança da rede, etc.). De acordo com (FISHER et al., 2016), o ABAC permite um controle de acesso mais refinado que o RBAC, uma vez que ele consegue traduzir regras de negócios em políticas baseadas em atributos.

2.6.3 Whitelist e Blacklist

Em termos de servidores, a técnica de *whitelist* consiste em uma lista de endereços aos quais o acesso a um determinado serviço é permitido. Já a *blacklist*, é uma lista com os endereços que não possuem acesso a um serviço (GUARD, 2013). Ambas as técnicas podem ser utilizadas para mitigar ataques de *denial of service*, uma vez que elas impedem que usuários indesejados tenham acesso ao serviço.

2.6.4 Criptografia

Um meio bastante utilizado para proteger a comunicação sem fio é a criptografia. A criptografia protege privacidade do conteúdo das mensagens trocadas em uma rede mesmo que a conversa seja interceptada. Segundo Simmons (1979), a criptografia pode ser dividida em dois grupos de algoritmos: simétricos e assimétricos. Algoritmos simétricos são aqueles onde a chave para criptografar e descriptografar mensagens é a mesma. Já nos algoritmos assimétricos uma chave é utilizada para criptografar e outra, utilizada para descriptografar. Existem diversos algoritmos assimétricos na literatura, entre eles Rivest-Shamir-Adleman (RSA), Digital Signature Algorithm (DAS)

e Diffie-Hellman. Já entre os algoritmos simétricos, podemos citar o Advanced Encryption Standard (AES), Rivest Cipher 4 (RC4) e o Blowfish.

Dentro dos algoritmos simétricos existem os cifradores de blocos (*block ciphers*) e os cifradores de fluxo (*stream ciphers*) (ROB, 1982). Os cifradores de blocos funcionam com blocos de tamanho fixo e a saída do processo de criptografia depende diretamente do próprio dado a ser criptografado - uma simples mudança no dado pode mudar completamente o resultado da criptografia. Já os cifradores de fluxo operam bit por bit, gerando um texto cifrado a partir de dados secretos combinado com dados aleatórios. Existem dois tipos de cifradores de fluxo: síncronos e auto-sincronizáveis (ROB, 1982). No primeiro, a criptografia dos bits independe do texto a ser cifrado. Já nos auto-sincronizáveis, o cifrador computa o estado interno atual a partir do estado anterior e do texto cifrado.

3 REVISÃO DA LITERATURA

Este capítulo descreve o método científico utilizado nesse estudo. A descrição do método detalha como foram obtidos os resultados e quais foram esses resultados. Esse capítulo foi dividido em seções para facilitar a compreensão das etapas do processo.

3.1 INTRODUÇÃO

De modo a realizar uma revisão ampla da literatura, esse trabalho utilizou-se de um método de pesquisa conhecido como Revisão Sistemática (RS). Além disso, para aumentar a abrangência dessa revisão e devido ao fato da pesquisa também abranger questões de mercado, também foi realizada uma Revisão Exploratória.

Segundo (BUDGEN; BRERETON, 2006), uma RS é uma forma de estudo que propõe uma metodologia bem definida para identificar, interpretar e analisar evidências de maneira imparcial e replicável. Essas evidências são elaboradas a partir da seleção e síntese de pesquisas relevantes para um campo de pesquisa. A Revisão Sistemática foi realizada em duas etapas: uma revisão sistemática da literatura e uma revisão sistemática de patentes.

Já as revisões exploratórias não possuem um método ou processo bem definidos (POLLITT, 2007), mas são importantes para incluir trabalhos publicados em meios não acadêmicos como, por exemplo, relatórios técnicos e produtos de empresas.

As Seções 3.2, 3.3 e 3.4 deste capítulo explicam como foram realizadas as revisões, a Seção 3.5 consolida os resultados das revisões. A Seção 3.6 analisa alguns dos requisitos de PKES (do inglês, *Passive Keyless Entry and Start*) e a Seção 3.7 e 3.8 analisam vulnerabilidades e ataques aos sistemas. Por último, a Seção 3.9 faz as considerações finais do capítulo.

3.2 REVISÃO SISTEMÁTICA DA LITERATURA

O objetivo dessa Seção é explicar o procedimento realizado na Revisão Sistemática da Literatura desse trabalho.

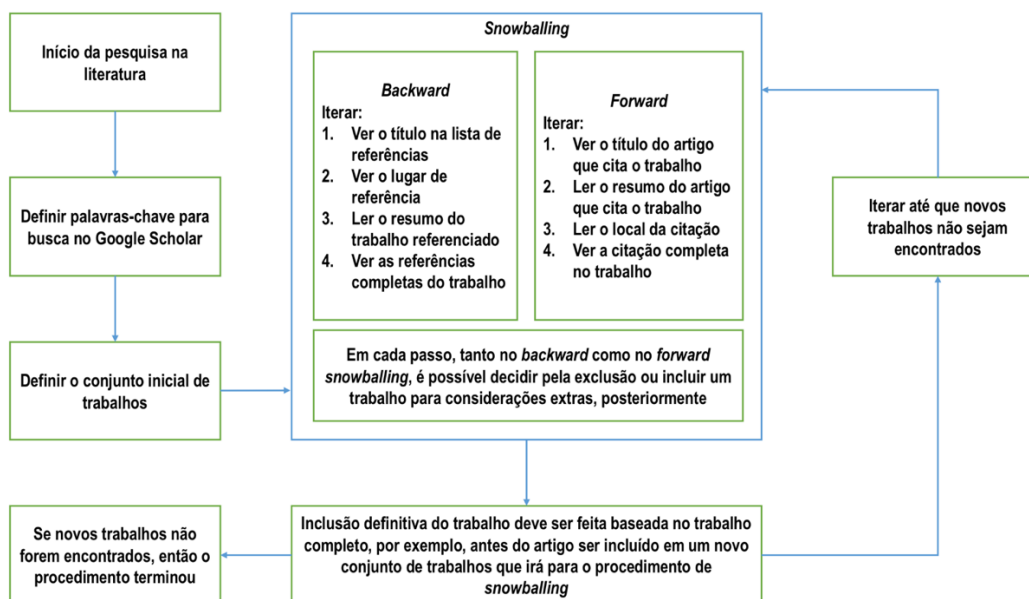
3.2.1 Metodologia

A técnica usada para essa revisão da literatura foi a de *forward* e *backward snowballing*. Essa técnica consiste em pesquisar todos os artigos que fazem referência a um artigo de um conjunto de artigos (*forward snowballing*) e pesquisar entre todas as referências feitas nesse conjunto de artigos (*backward snowballing*). A escolha dessa abordagem foi apoiada pelo trabalho de (JALALI; WOHLIN, 2012). Nesse trabalho, uma comparação entre busca por palavras-chave e *backward snowballing* é realizada, no qual chega-se à conclusão de que não há grande diferença nos resultados alcançados entre as metodologias usadas. Porém, a metodologia de *backward snowballing* é mais eficiente do que a busca por palavras-chave quando os termos de busca utilizados são muito comuns, o que é o caso do trabalho em questão, onde as palavras-chave são “*car*”, “*security*”, “*keyless entry*”, entre outras.

Na comparação feita em (JALALI; WOHLIN, 2012), a busca por palavras-chave obteve um ruído (artigos que não eram de interesse da pesquisa) de 85%, enquanto a *backward snowballing* obteve um ruído de apenas 32%, tornando-a mais eficiente. Jalali e Wohlin, em seu trabalho, ainda recomendam que seja feito não só o *backward snowballing*, como também o *forward snowballing*.

Então, a partir das conclusões do trabalho de (JALALI; WOHLIN, 2012), foi realizada uma revisão da literatura baseada no trabalho de (WOHLIN, 2014). Nesse trabalho, Wohlin define de maneira sistemática um passo a passo para a execução de uma revisão sistemática utilizando-se da técnica de *forward* e *backward snowballing*. As próximas subseções definem o passo a passo realizado (Figura 7), e os resultados preliminares encontrados.

Figura 7 - Revisão sistemática



Fonte: adaptada de Wohlin (2014)

3.2.2 Critérios de Elegibilidade

Para que um artigo seja incluído na revisão sistemática, foram estabelecidos os seguintes critérios de elegibilidade:

- Artigos escritos em inglês;
- Trabalhos publicados entre Janeiro de 2007 e Setembro de 2018;
- Local de publicação do artigo;
- Artigos que envolvam segurança nos sistemas veiculares de entrada e partida sem chaves;
- Relevância do artigo na área da pesquisa;

Vale ressaltar que os artigos que já foram selecionados em uma etapa anterior não são incluídos nas etapas seguintes.

3.2.3 Seleção do Conjunto Inicial de Artigos

Para definição do conjunto inicial de artigos foi feita uma busca por palavras-chave no Google Scholar. As palavras-chave utilizadas foram: “car”, “keyless entry” e “security”. Essa busca foi realizada por dois pesquisadores, e então, os dez principais artigos que pertencia à lista de ambos os pesquisadores com mais citações (de acordo com o Google Scholar) foram selecionados como o conjunto inicial. Esses artigos obedecem aos critérios de elegibilidade estabelecidos na Seção anterior. De acordo com Wohlin (2014), o uso do Google Scholar evita um viés na pesquisa, pois ele indexa as principais bases de pesquisa como IEEE, ACM, Science Direct, Springer, entre outras. Ainda segundo Wohlin, um bom conjunto inicial de artigos não deve ser pequeno e deve ser bem diversificado em termos de autores, anos de publicação e

fontes científicas. Então, como conjunto inicial foram escolhidos os seguintes artigos do Quadro 2.

Quadro 2 - Conjunto inicial de artigos

| Título | Autor(es) | Publicação | Ano |
|---|--|--|------------|
| A practical attack on KeeLoq | Indestege, S., Keller, N., Dunkelman, O., Biham, E., and Preneel, B. | EUROCRYPT | 2008 |
| On the Power of Power Analysis in the Real World: A Complete Break of the KeeLoq Code Hopping Scheme | Eisenbarth, T., Kasper, T., Moradi, A., Paar, C., Salmasizadeh, M., Shalmani, M. T. M., et al. | CRYPTO | 2008 |
| Relay Attacks on Passive Keyless Entry and Start Systems in Modern Cars | Francillon, A., Danev, B., and Capkun, S. | Annual Network and Distributed System Security Symposium | 2011 |
| Gone in 360 Seconds - Hijacking with Hitag2 | Verdult, R., Garcia, F. D., and Balasch, J. | USENIX | 2012 |
| Dismantling Megamos Crypto - Wirelessly Lockpicking a Vehicle Immobilizer | Verdult, R., Garcia, F. D., and Ege, B. | USENIX | 2013 |
| Broken keys to the kingdom Security and privacy aspects of RFID-based car keys | Wetzels, J | Seminar Information Security Technology - Kerckhoffs Institute | 2014 |
| Cryptanalysis of the Megamos Crypto Automotive Immobilizer | Verdult, R. and Garcia, F. D. | USENIX | 2015 |
| Lock It and Still Lose It—On the (In)Security of Automotive Remote Keyless Entry Systems | Garcia, F. D., Oswald, D., Kasper, T., and Pavlid`es, P | USENIX | 2016 |
| A Protocol for a Secure Remote Keyless Entry System Applicable in Vehicles using Symmetric-Key Cryptography | Glocker, T., Mantere, T., and Elmusrati, M. | Int. Conference on Information and Communication Systems | 2017 |
| One Car, Two Frames- Attacks on Hitag-2 Remote Keyless Entry Systems Revisited | Benadjila, R., Renard, M., Lopes-Esteves, J., and Kasmi, C. | USENIX | 2017 |

Fonte: O autor (2019)

3.2.4 Iterações de backward e forward snowballing

No caso de iterações de *forward snowballing*, os trabalhos que referenciam os artigos do conjunto inicial são analisados. Já no caso de *backward snowballing*, são avaliadas todas as referências dos artigos do conjunto inicial.

Para facilitar a análise, primeiramente o pesquisador verifica se o ano de publicação do artigo está entre as datas pré-estabelecidas, em seguida observa o título e o *abstract* do artigo em análise. Caso o artigo se inclua nos critérios de elegibilidade e não tenha sido selecionado anteriormente, ele é incluído no conjunto de artigos para a iteração seguinte, caso contrário, ele é descartado.

3.2.5 Primeira Iteração

Na primeira iteração são avaliados os artigos do conjunto inicial definido no Quadro 2.

3.2.5.1 *Forward Snowballing*

Na primeira iteração de *forward snowballing* foram incluídos 21 novos artigos. A inclusão ou exclusão dos artigos seguem os critérios de elegibilidade definidos na seção 3.2.2. Os artigos estão listados na Quadro 3.

Quadro 3 - Trabalhos selecionados na primeira iteração de *forward snowballing* (continua)

| Título | Autor(es) | Publicação | Ano |
|---|-------------------------|---|------------|
| Bitslice software implementation of KeeLoq as a side-channel countermeasure | Malagón et. al | Workshop on Embedded Systems Security | 2015 |
| Cryptanalysis of KeeLoq code-hopping using a Single FPGA | Sheetrit, I. e Wool, A. | IACR Cryptology | 2011 |
| Exploiting bit-level parallelism in GPGPUs: A case study on KeeLoq exhaustive key search attack | Agosta et. al | International Conference On Architecture of Computing Systems | 2012 |
| Passive keyless entry system for long term operation | Oguma et. al | IEEE Int.Symposium on a World of Wireless, Mobile and Multimedia Networks | 2011 |
| Periodic ciphers with small blocks and cryptanalysis of keeloq | Courtois et. al | Tatra Mt. Math. Publ | 2008 |
| Self-similarity Attacks on Block Ciphers and Application to KeeLoq | Courtois, N. T. | Cryptography and Security: From Theory to Applications | 2012 |
| Towards a distributed secure in-vehicle communication architecture for modern vehicles | Patsakis et. al | Computers & Security | 2014 |
| Vehicle Relay Attack Avoidance Methods Using RF Signal Strength | Kim et. al | Communications and Network | 2013 |
| Clone-resistant vehicular RKE by deploying SUC | Hamadaqa et. al | Int. Conference on Emerging Security Technologies | 2017 |

Quadro 4 - Trabalhos selecionados na primeira iteração de *forward snowballing* (conclusão)

| Título | Autor(es) | Publicação | Ano |
|---|-------------------------------|--|------------|
| Key Is In The Air: Hacking Remote Keyless Entry Systems | Ibrahim et. al | - | 2018 |
| Sound-Proximity: 2-Factor Authentication against Relay Attack on Passive Keyless Entry and Start System | Choi et. al | Journal of Advanced Transportation | 2018 |
| Designing wireless automotive keys with rights sharing capabilities on the MSP430 microcontroller | Groza et. al | International Conference on Vehicle Technology and Intelligent Transport Systems | 2017 |
| An Automobile Security Protocol: Side-channel Security against Timing and Relay Attacks | Isa et. al | Int. Journal of Electronic Security and Digital Forensics | 2017 |
| Channel correlation-based relay attack avoidance in vehicle keyless-entry systems | Jeong, H. e So, J. | IEEE Eletronic letters | 2018 |
| Breaking a Hitag2 Protocol with Low Cost Technology | Stembera, P. e Novotny, M. | Euromicro Conference on Digital System Design | 2017 |
| Hitag 2 Hell – Brutally Optimizing Guess-and-Determine Attacks | Verstegen et. al | USENIX | 2018 |
| AuthentiCap - A Touchless Vehicle Authentication and Personalization System | Franl, S. | European Conference on Ambient Intelligence | 2017 |
| A Smart Wireless Car Ignition System for Vehicle Security | Haider et. al | Advances in Automobile Engineering | 2017 |
| Practical Contactless Attacks on Hitag2-based Immobilizer and RKE Systems | Liu et. al | Int. Conf. on Computer, Communication and Network Technology | 2018 |
| Dismantling the AUT64 Automotive Cipher | Hicks et. al | IACR Transactions on Cryptographic Hardware and Embedded Systems | 2018 |
| Secure Free-Floating Car Sharing for Offline Cars | Dmitrienko, A. e Plappert, C. | Conference on Data and Application Security and Privacy | 2017 |

Fonte: O autor (2019)

3.2.5.2 Backward Snowballing

Na primeira iteração *backward snowballing*, foram incluídos 20 novos artigos. Os artigos estão listados no Quadro 4.

Quadro 5 - Trabalhos selecionados na primeira iteração de *backward snowballing* (continua)

| Título | Autor(es) | Publicação | Ano |
|---|-------------------------|---|------------|
| A New Remote Keyless Entry System Resistant to Power Analysis Attacks | A. Moradi and T. Kasper | Int. Conf. on Information, Communications and Signal Processing | 2009 |

Quadro 6 - Trabalhos selecionados na primeira iteração de *backward snowballing* (continua)

| Título | Autor(es) | Publicação | Ano |
|--|-----------------------------|---|------------|
| AES Security Protocol Implementation for Automobile Remote Keyless System | Ni et. al | IEEE 65th Vehicular Technology Conference | 2007 |
| Algebraic and Slide Attacks on KeeLoq | Courtois et. al | Int. Workshop on Fast Software Encryption | 2007 |
| Attacks on the KeeLoq Block Cipher and Authentication Systems | Bogdanov, A. | 3rd Conference on RFID Security | 2007 |
| Breaking Hitag2 Revisited | Immler, V. | 2nd Int. Conf. on Security, Privacy, and Applied Cryptography Engineering | 2012 |
| Breaking Hitag2 with Reconfigurable Hardware | Stembera, P. and Novotny, M | 14th Euromicro Conf. on Digital System Design | 2011 |
| Breaking KeeLoq in a Flash: On Extracting Keys at Lightning Speed | Kasper et. al | AFRICACRYPT 2009: 2nd Int. Conf. on Cryptology in Africa | 2009 |
| Cryptanalysis of KeeLoq with COPACOBANA | Novotny, M. and Kasper, T. | Workshop on Special Purpose Hardware for Attacking Cryptographic Systems | 2009 |
| Cryptanalysis of the KeeLoq block cipher | Bogdanov, A. | IACR Cryptology ePrint Archive | 2007 |
| Cube Cryptanalysis of Hitag2 Stream Cipher | Sun et. al | 10th Int. Conf. on Cryptology and Network Security | 2011 |
| Digital Signature Transponder | Kitsos et. al | RFID Security: Techniques, Protocols and System-on-Chip Design | 2008 |
| KeeLoq and Side-Channel Analysis -Evolution of an Attack | Paar et. al | Workshop on Fault Diagnosis and Tolerance in Cryptography | 2009 |
| Physical Cryptanalysis of KeeLoq Code Hopping Applications | Eisenbarth et. al | IACR Cryptology ePrint Archive | 2008 |
| Practical Algebraic Attacks on the Hitag2 Stream Cipher | Courtois et. al | International Conference on Information Security | 2009 |
| Resisting Relay Attacks on Vehicular Passive Keyless Entry and Start Systems | Yang et. al | Int. Conf. on Fuzzy Systems and Knowledge Discovery | 2012 |
| Security Analysis of an Open Car Immobilizer Protocol Stack | Tillich, S. and Wójcik, M. | INTRUST: Int. Conf. on Trusted Systems | 2012 |
| Smart Keys for Cyber-Cars: Secure Smartphone-based NFC-enabled Car Immobilizer | Busold et. al | 3rd ACM Conf. on Data and Application Security and Privacy | 2013 |

Quadro 7 - Trabalhos selecionados na primeira iteração de *backward snowballing* (**conclusão**)

| Título | Autor(es) | Publicação | Ano |
|---|-------------------|--|------------|
| HIBS-KSharing: Hierarchical Identity-Based Signature Key Sharing for Automotive | Wei et. al | IEEE Access | 2017 |
| SePCAR: A Secure and Privacy-Enhancing Protocol for Car Access Provision | Symeonidis et. al | Euro. Symposium on Research in Computer Security | 2017 |

Fonte: O autor (2019)

3.2.6 Segunda Iteração

Na segunda iteração são avaliados os artigos que foram selecionados na primeira iteração.

3.2.6.1 *Forward Snowballing*

Na segunda iteração de *forward snowballing*, foram incluídos 12 novos artigos. Os artigos estão listados no Quadro 5.

Quadro 8 - Trabalhos selecionados na segunda iteração de *forward snowballing* (**continua**)

| Título | Autor(es) | Publicação | Ano |
|---|-------------------------|---|------------|
| Cryptographic properties of nested functions and algebraic immunity of the Boolean function in Hitag2 stream cipher | Shan et al. | Cryptographic and Communications | 2014 |
| Design of intelligent locks based on the triple KeeLoq algorithm | Chen et al. | Advances in Mechanical Engineering | 2016 |
| Fingerprint Identification Keyless Entry System | Lian et al. | Int. Journal of Electrical and Computer Engineering | 2008 |
| AES encryption algorithm keyless entry system | Xiaona Lv and Liping Xu | Int. Conf. on Electronics, Communications and Networks | 2012 |
| HAZOP-Based Security Analysis for Embedded Systems: Case Study of Open Source Immobilizer Protocol Stack | Wei et al. | Recent Advances in Systems Safety and Security | 2016 |
| Identification Technology Research on AES for Automobile Keyless System | Liu, L. et al. | Int. Conf. on Computational Intelligence and Software Engineering | 2010 |
| Improvement in Automobile Security System Controlled by Personal Computer via RF Link | Saikia et al. | Int. Journal of Electronics, Communication & Soft Computing Science and Engineering | 2012 |
| Iterative Side-Channel Cube Attack on KeeLoq | Yunfei Ma et al. | Instrumentation & Measurement, Computer, Communication and Control | 2016 |

Quadro 9 - Trabalhos selecionados na segunda iteração de *forward snowballing* (conclusão)

| Título | Autor(es) | Publicação | Ano |
|---|-----------------------|---|------------|
| Robustness of remote keyless entry systems to intentional electromagnetic interference | Van de Beek, S et al. | Int. Symposium on Electromagnetic Compatibility | 2014 |
| Security of Wireless Embedded Devices in the Real World | Kasper et al. | Information Security Solutions (ISSE) 2011 – Securing Electronic Business Processes | 2011 |
| Vulnerability of Remote Keyless-Entry Systems Against Pulsed Electromagnetic Interference and Possible Improvements | Van de Beek et al. | IEEE Transactions on Eletromagnetic Compatibility | 2016 |

Fonte: O autor (2019)

3.2.7 Terceira iteração

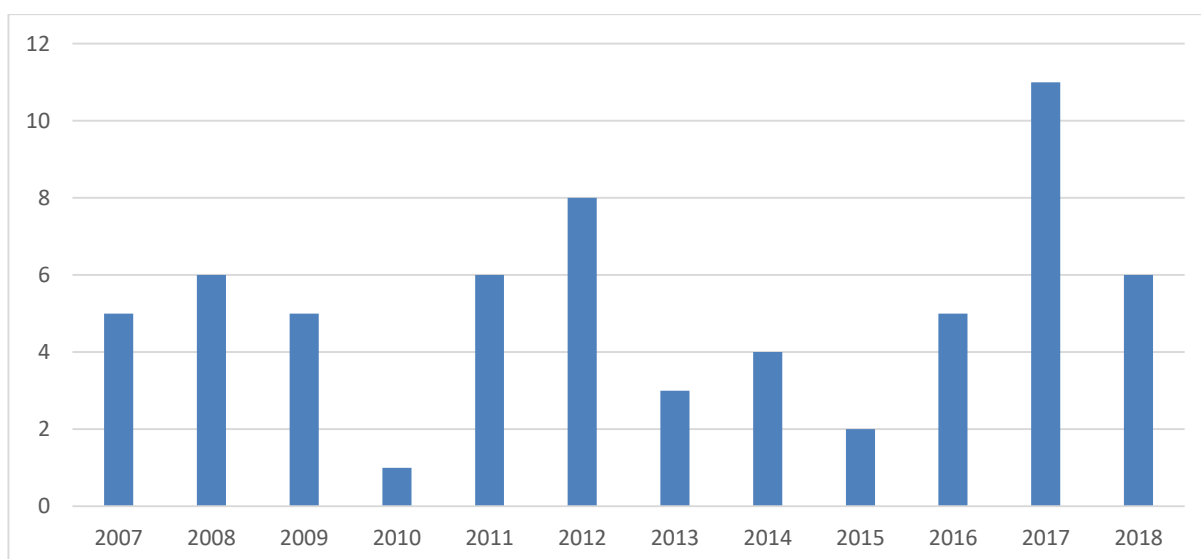
Na terceira iteração são avaliados os artigos selecionados na segunda iteração. Porém, tanto na iteração de *backward* quanto na de *forward* não foram selecionados novos artigos, então o processo é finalizado.

3.2.8 Resultados

O objetivo dessa seção é apresentar os resultados obtidos a partir dos 62 artigos selecionados na revisão sistemática realizada.

3.2.8.1 Publicações por Ano

A Figura 8 apresenta a quantidade de publicações por ano dos trabalhos selecionados. Vale ressaltar que os artigos pesquisados se limitam às publicações entre Janeiro de 2007 e Setembro de 2018.

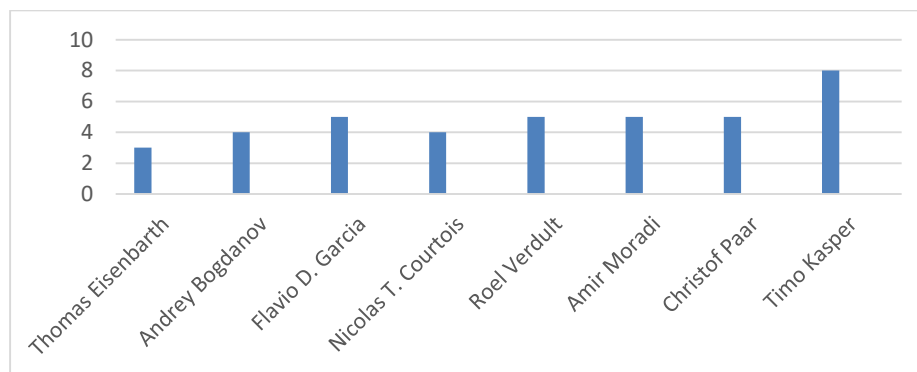
Figura 8 - Quantidade de publicações x Ano

Fonte: O autor (2019)

3.2.8.2 Principais Autores

A Figura 9 apresenta os principais autores de acordo com a quantidade de publicações por autor. Como foram selecionados 62 artigos, só foram exibidos os autores com 3 ou mais publicações.

Figura 9 - Quantidade de publicações x Autores

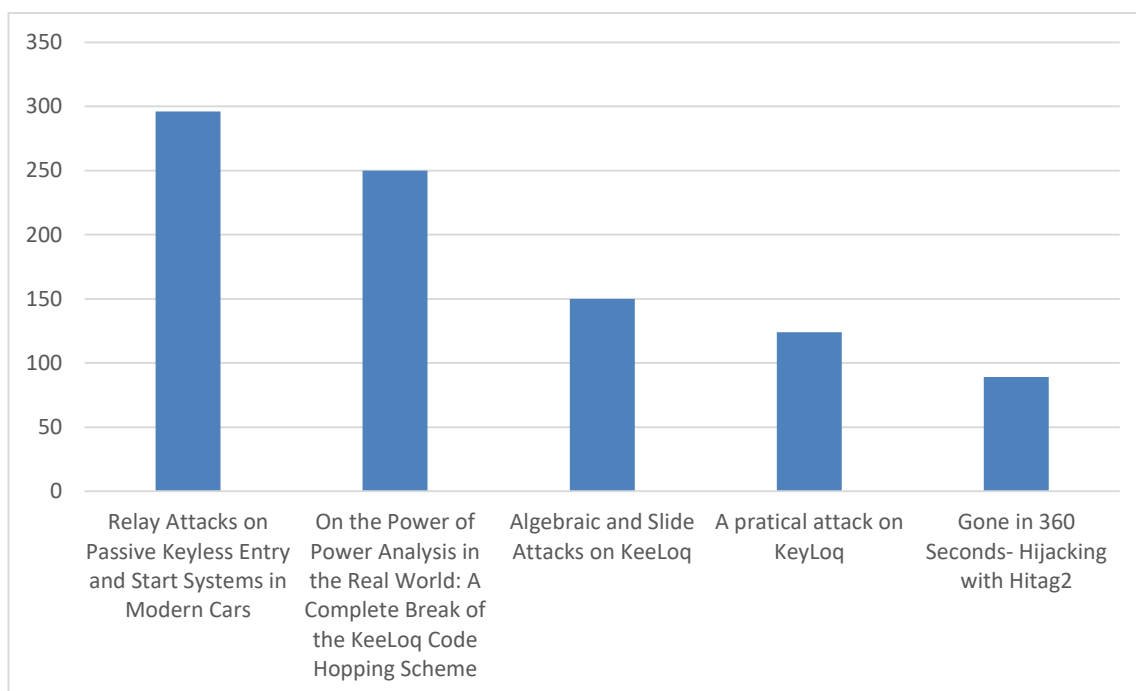


Fonte: O autor (2019)

3.2.8.3 Artigos mais relevantes

A Figura 10 apresenta os cinco artigos mais relevantes em relação ao número de citações no Google Scholar.

Figura 10 - Quantidade de referências no Google Scholar por publicação



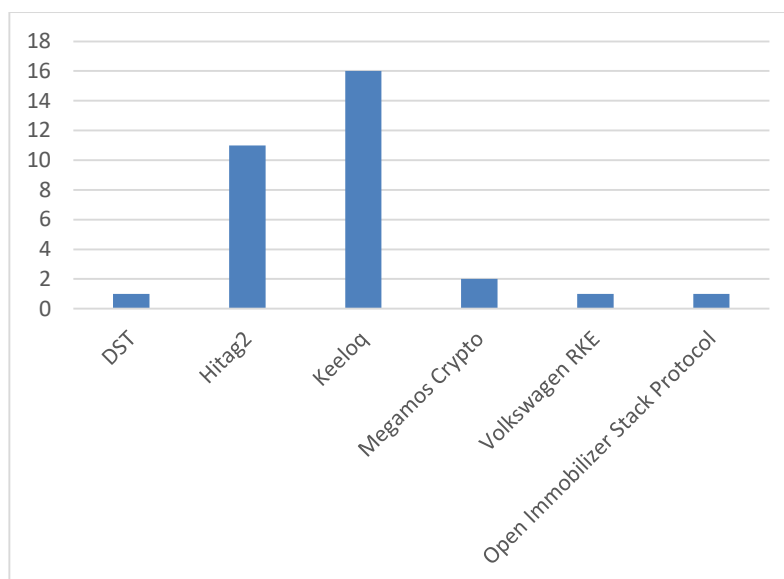
Fonte: O autor (2019)

3.2.8.4 Principais Sistemas Estudados

Dos artigos selecionados por essa revisão de literatura, 32 focam em sistemas utilizados pelo mercado. Entre esses sistemas estão: o Digital Signature Transponder (DST) da Texas Instruments, o Hitag2 da NXP/Philips, o Keeloq da Nanoteq, Megamos Crypto da Volkswagen/Thales, um sistema utilizado pelo grupo Volkswagen

e o Open Immobilizer Software Stack da Atmel. A figura a seguir (Figura 11) apresenta a quantidade de publicações por sistemas.

Figura 11 - Quantidade de publicações por sistemas



Fonte: O autor (2019)

3.3 REVISÃO SISTEMÁTICA DE PATENTES

O objetivo dessa Seção é explicar o procedimento realizado na Revisão Sistemática de Patentes desse trabalho.

3.3.1 Metodologia

Para realizar a revisão de patentes, foram utilizadas *strings* de buscas no Google Scholar. Essas *strings* foram elaboradas a partir das combinações das seguintes palavras-chave: “*keyless*”, “*passive entry*”, “*vehicle*”, “*passive start*” e “*security*”. Foram executadas buscas por patentes publicadas entre Janeiro de 2007 e Setembro de 2018 nos Estados Unidos.

A partir dos resultados obtidos foram excluídas as patentes que não estavam relacionadas a *Passive Keyless Entry and Start* (PKES). Essa exclusão baseou-se na leitura da patente.

3.3.2 Resultados

O objetivo dessa subseção é apresentar alguns dos resultados obtidos a partir das 161 patentes selecionadas na revisão sistemática realizada que estão disponíveis no apêndice dessa dissertação.

Entre as patentes encontradas, podemos destacar a patente de número US 9600948 B2 de Outubro de 2017 pertencente a Alps Electric Co Ltd. que trata-se de um PKES com um protocolo de comunicação entre veículo e a *key fob*, no qual existe pelo menos um modulador de sinal no veículo e um na *key fob* (MIYAZAWA, 2017).

O foco da patente está no funcionamento do protocolo, ele funciona com mudança de modulação que pode se dar através de mudança do modulador do sinal, da mudança nos métodos de modulação, ou da combinação de ambos. Através dessa técnica, a key fob estaria protegida contra *relay attack*, pois o atacante não tem informações sobre a modulação ou a mudança de modulador.

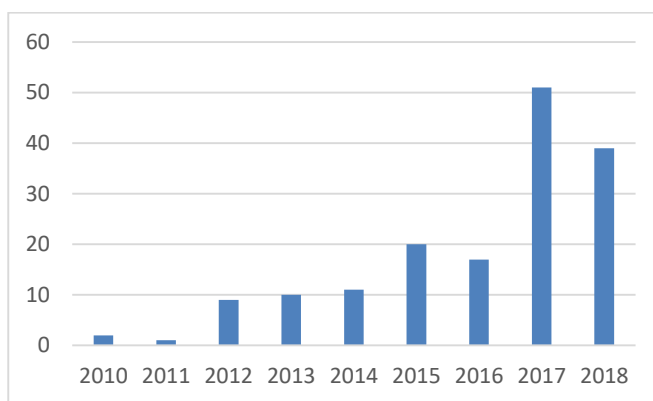
Já a patente de número US 14790223 B2 de Outubro de 2015 descreve uma PKES com uma *key fob* capaz de detectar *relay attack* (SEIBERTS; CHILDERS, 2015). Essa *key fob* é composta por um microcontrolador, um módulo para receber o sinal de despertar e um acelerômetro. Através do RSSI do sinal recebido e dos dados do acelerômetro, o microcontrolador é capaz de detectar *relay attack*. Nessa patente, o microcontrolador mantém a *key fob* em modo de espera caso o acelerômetro não detecte movimentos e caso o RSSI medido esteja abaixo de um limiar, evitando assim o *relay attack*.

Na patente de número US 9045102 B2 de Junho de 2015 pertencente a TRW Automotive Italia SRL descreve um sistema de PKES com um conjunto de antenas para abertura remota e acionamento remoto da ignição do automóvel que utiliza o BLE como protocolo de comunicação (CARATTO; PIAZANNO; GINEVRO, 2015). A patente descreve um sistema com ao menos duas antenas que estão dispostas na parte frontal do veículo e próximas a uma ECU de modo que a fiação seja reduzida e simples que os demais sistemas do mercado. Além disso, existe uma antena auxiliar de baixa frequência cujo alcance auxilia a determinar o desejo de abertura do veículo. Porém, essa última antena é opcional.

A patente de número US 9963109 B2 de Maio de 2018 da Huf North America Automotive Parts Manufacturing Corp descreve um PKES composto por uma pluralidade de antenas e uma *key fob* para evitar o *relay attack* (LUO; NANTZ, 2018). Para tal, a *key fob* recebe os sinais das antenas e junto com constantes salvas em memória calcula se os ângulos dos vetores oriundos do campo eletromagnético formado pelos sinais das antenas estão corretos, caso os cálculos estejam incorretos, o sistema trata como um *relay attack*.

3.3.2.1 Publicações por Ano

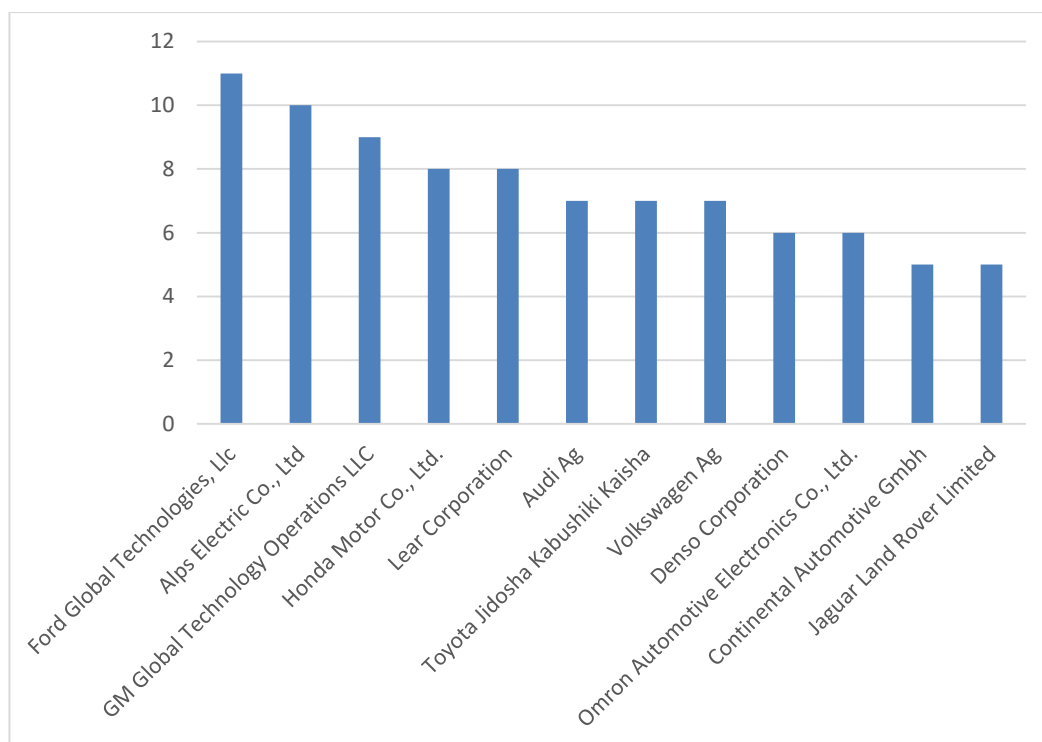
A Figura 12 apresenta a quantidade de publicações por ano das patentes. Vale ressaltar que as patentes pesquisadas se limitam às publicações entre Janeiro de 2007 e Setembro de 2018.

Figura 12 - Publicações de patentes por ano

Fonte: O autor (2019)

3.3.2.2 Publicações por Proprietários

A Figura 13 apresenta a quantidade de publicações de patentes por empresas proprietárias das patentes. Nessa figura, estão apenas doze empresas com mais publicações de patentes.

Figura 13 - Publicações de patentes por proprietário

Fonte: O autor (2019)

3.4 REVISÃO EXPLORATÓRIA

Para aumentar a abrangência da pesquisa desse trabalho e para que conteúdos provenientes da indústria fossem incluídos no trabalho, uma revisão exploratória foi realizada.

Em revisões exploratórias não existe um processo bem definido a ser executado (POLLITT, 2007). Por isso, essas revisões podem ser consideradas tendenciosas, pois não podem ser replicadas. Nesse tipo de revisão, diversas fontes relacionadas ao tema são incluídas independentemente dos locais onde são publicadas e dos formatos que foram publicadas.

No caso da revisão exploratória realizada, o objetivo principal foi o de analisar sistemas comerciais encontrados nos mais diversos veículos de comunicação. Entre esses veículos podemos citar: sites de fabricantes, blogs e *datasheets* dos sistemas publicados pelos fabricantes.

3.4.1 Metodologia

De acordo com Pollitt (2007), não há um processo bem definido para se realizar uma revisão exploratória. Normalmente, há uma seleção de fontes e separação do conteúdo a partir de métodos mais bem definidos.

Na revisão exploratória deste trabalho, foram realizadas buscas por palavras-chave diretamente feitas no Google. As palavras-chave utilizadas foram: “*passive*”, “*keyless entry*”, “*vehicle*”, “PKES” e “PEPS”.

Além disso, foram realizadas buscas nos sites dos fabricantes de componentes veiculares encontrados pela revisão sistemática com o objetivo de mais informações sobre os sistemas desenvolvidos por essas empresas.

Diante dos resultados encontrados, o material foi lido e avaliada a relevância e aderência ao tema da pesquisa. Após a avaliação, o material encontrado foi discutido entre os pesquisadores da revisão sistemática e decidida a inclusão ou exclusão do conteúdo.

3.4.2 Resultados

Através da revisão exploratória foram encontrados dois modelos de PKES. Entre eles está o “*Perfectly Keyless*” da Bosch e um modelo conceitual (não existe comercialização dele) da Continental (CONTINENTAL, [s.d.]).

Dos modelos encontrados, tanto o modelo conceitual, quanto o comercial são sistemas que utilizam o Bluetooth Low Energy como tecnologia sem fio para PKES através do uso de smartphones. Esses resultados serão discutidos no próximo capítulo onde será feita uma análise de cada PKES.

3.5 CONSOLIDAÇÃO DAS REVISÕES

As Seções anteriores apresentaram os resultados encontrados nas revisões. Na Revisão Sistemática foram selecionados 6 sistemas de entrada e/ou partida: DST, Keeloq, Hitag2, Megamos Crypto, Open Immobilizer Software Stack da Atmel e o RKE

desenvolvido pelo Grupo Volkswagen. Já na Revisão exploratória (Seção 3.4), foram selecionados o Perfectly Keyless da Bosch e o modelo conceitual da Continental. Essas duas revisões totalizaram 8 sistemas, o Quadro 6 sumariza esse resultado.

Quadro 10 - Sistemas selecionados por revisão

| | Revisão Sistemática | Revisão Exploratória |
|---------------------------------|---------------------|----------------------|
| DST | X | |
| Keeloq | X | |
| Hitag2 | X | |
| Megamos Crypto | X | |
| Volkswagen Group RKE | X | |
| Megamos Crypto | X | |
| Open Immobilizer Software Stack | X | |
| Perfectly Keyless - Bosch | | X |
| Continental Keyless | | X |

Fonte: O autor (2019)

Esses sistemas foram selecionados devido à importância deles no mercado. Para se ter uma noção dessa importância, o DST chegou a ser utilizado em mais de 150 milhões de veículos (BONO et al., 2005). Já o Keeloq foi adotado por diversos fabricantes como, por exemplo, GM, Volkswagen Group, Volvo, Toyota, Honda, Fiat, entre outros¹⁶. O Hitag2 é utilizado por 34 montadoras de veículos em mais de 200 modelos (VERDULT; GARCIA; BALASCH, 2012). O Megamos Crypto, segundo o fabricante, produziu mais de 100 milhões dispositivos (VERDULT; GARCIA; EGE, 2015). O RKE do Grupo Volkswagen, que é um dos líderes mundiais em vendas, foi utilizado em modelos como: Fox, Golf, Audi A1, Audi Q3, entre outros (GARCIA et al., 2016).

Através dos resultados encontrados nas duas revisões, evidenciou-se a importância dos PKES na indústria automobilística pela presença de grandes fabricantes, como a Bosch, Philips e Continental e pela quantidade de veículos afetados.

A próxima seção visa analisar diversos aspectos dos sistemas selecionados, embora nem todas as características se aplicam a todos os sistemas e/ou não foram

¹⁶ <https://en.wikipedia.org/wiki/Keeloq>

encontradas informações suficientes para analisar determinada característica do sistema, por se tratar de um sistema de uso comercial.

3.6 PRINCIPAIS REQUISITOS ANALISADOS

Diante dos diversos requisitos que podem ser analisados em um sistema de PKES, entre eles usabilidade, tipo de rede, tamanho da chave de criptografia, autenticação, consumo de bateria, algoritmo de criptografia e custo, essa pesquisa limitou-se a focar em aspectos de segurança. As subseções a seguir analisam o tipo de rede utilizada, o tamanho da chave, o protocolo de autenticação, criptografia, vulnerabilidades e ataques para cada sistema.

3.6.1 Dispositivos

Uma das principais decisões a serem tomadas em um projeto de um sistema de PKES e RKE é quais dispositivos serão utilizados. A escolha do dispositivo impacta diretamente em outros aspectos como usabilidade, custo, capacidade de processamento, etc.

Em diversos sistemas de entrada e partida, o uso da *key fob* (Figura 14) tem sido bastante utilizada, como é o caso, por exemplo, do DST, Hitag2, Keeloq, Volkswagen Group RKE e Megamos Crypto. Já outros estudos na literatura apontam para o uso de impressões digitais para controle de acesso ao veículo, como é o caso de (CHIH-NENG; HUANG-BIN; BO-CHIUAN, 2008). Porém, em sistemas mais modernos, como do Perfectley Keyless da Bosch e o modelo da Continental, o uso de celulares e *wearables* tem se mostrado uma tendência, como inclusive, já tem sido veiculado na mídia a adoção dos celulares por grandes montadoras (CNET, 2018).

Figura 14 - Key fob com Hitag2



Fonte: Verdult, Garcia e Balasch (2012)

3.6.2 Rede

Um dos principais requisitos a ser analisado em um PKES é que tipo de rede o sistema utiliza. O tipo de rede selecionada influencia, por exemplo, na distância em

que o veículo pode ser aberto, o quão fácil o sinal penetra em obstáculos e com que velocidade os dados podem trafegar na rede formada entre o carro e a chave. Além disso, a escolha da rede também afeta a segurança, pois cada tipo de rede apresenta suas limitações e falhas de segurança. Uma rede sem fio de longo alcance, por exemplo, permite também que o atacante esteja distante.

Nos sistemas mais antigos, como o Hitag2, DST, Keeloq, Megamos Crypto, Volkswagen RKE e nos sistemas da Atmel que fazem uso do Open Immobilizer Software Stack, é muito comum o uso RFID (Radio Frequency IDentification) que possuem sinais LF (do inglês, *low frequency*) de até 125 kHz para imobilizadores e de sinais UHF (do inglês, *ultra high frequency*) de até 433 MHz para RKE. No caso dos imobilizadores, uma vez que o motorista se encontra dentro do veículo, não há necessidade de um grande alcance da rede. Já no caso dos RKE, poucos metros são suficientes para apertar o botão e abrir uma porta ou se aproximar para destravá-lo no caso dos PKES.

Já os sistemas mais novos, encontrados na revisão exploratória, utilizam a tecnologia *bluetooth low energy* (BLE), que opera a uma frequência de 2.4-2.5 GHz. Essa frequência de rede, além de permitir distâncias de aproximadamente 50 metros, também permitem trafegar dados em uma velocidade de até 1Mbit/s. Esse ganho em transmissão de dados possibilita, por exemplo, o uso de uma chave de criptografia maior que aumenta a segurança dos sistemas.

O Quadro 7 resume as redes estudadas nos sistemas analisados.

Quadro 11 - PKES e as redes utilizadas

| Sistema | Rede | Frequência | Distância |
|----------------|--------|--|---------------------------|
| DST | LF | 134,2 kHz – 123,2 kHz | < 50cm |
| Keeloq | UHF | 433MHz | Poucos metros |
| Hitag2 | LF/UHF | 125 khz (imobilizador)/ 433 MHz (RKE) | < 50 cm/ Poucos metros |
| Megamos Crypto | LF | 100-150 kHz | < 50 cm |
| Volkswagen RKE | UHF | 433,92 MHz – 434,4 MHz | Poucos metros |
| Atmel | LF | 125 kHz | < 50cm |
| Continental | BLE | 2,4-2,5 GHz | ≅ 50 m |
| Bosch | BLE | 2,4-2,5 GHz | ≅ 50 m |

Fonte: O autor (2019)

3.6.3 Tamanho da chave de criptografia

Um outro fator importante na segurança dos sistemas de entrada e partida é o tamanho da chave. Obviamente, o simples aumento do tamanho da chave nem sempre é o suficiente para garantir a segurança de um PKES. Além disso, o aumento da chave significa um aumento considerável no processamento necessário para realizar a criptografia dos dados e um aumento na velocidade necessária da rede para trafegar dados, caso contrário, o usuário perceberá o atraso entre a ação de apertar um botão para abrir o carro e o tempo necessário para autenticar ou o usuário poderá se aproximar do veículo e tentar abrir a porta antes do veículo destravar automaticamente em um PKES.

Nos sistemas analisados os tamanhos da chave variam bastante, o Quadro 8 apresenta os valores encontrados. Novamente não foram encontradas informações nos sistemas da Bosch e da Continental.

Quadro 12 - Chaves utilizadas

| Sistema | Tamanho da chave |
|---------------------------------|------------------|
| DST | 40 bits |
| Hitag2 | 64 bits |
| Keeloq | 48 bits |
| Megamos Crypto | 96 bits |
| Open Immobilizer Software Stack | 128 bits |
| Volkswagen RKE | Até 128 bits |

Fonte: O autor (2019)

3.6.4 Autenticação

Um dos fatores mais importantes em um sistema de segurança é a autenticação.

Os sistemas analisados em uma classificação mais ampla se dividem em duas: autenticação mútua (bilateral), onde o carro realiza a autenticação da chave e vice-versa, e a autenticação unidirecional, onde apenas um lado realiza autenticação. Como em boa parte dos sistemas analisados a chave possui um processamento limitado, fica para o carro a tarefa de autenticação no caso de uma autenticação unidirecional.

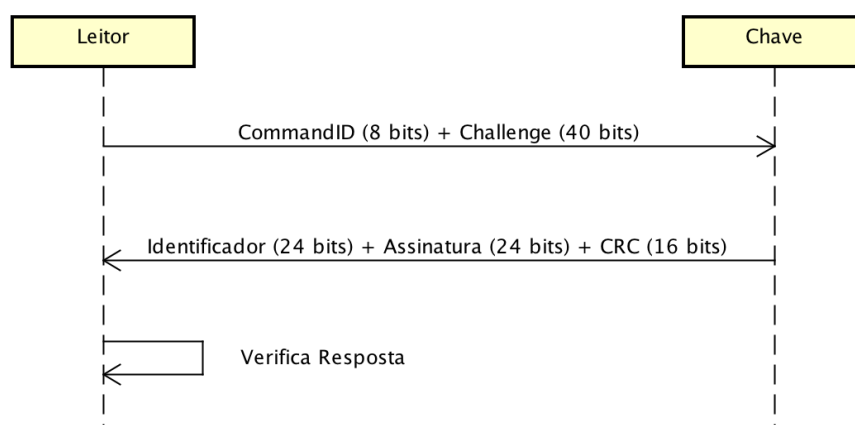
Nas seções seguintes serão analisadas, com mais detalhes, as autenticações do DST, Hitag2, Keeloq, Megamos Crypto, Open Immobilizer Software Stack e dos RKE utilizados em veículos do grupo Volkswagen. Infelizmente, não foram

encontradas informações sobre a autenticação usada nos sistemas da Bosch e da Continental.

3.6.4.1 DST

O DST (Digital Signature Transponder) utiliza um protocolo de autenticação conhecido como *challenge-response* (BONO et al., 2005), onde o leitor (carro) começa enviando um desafio ao *transponder* (chave), esse comando possui 8 bits para identificar a operação de autenticação e 40 bits do desafio (Figura 15). O *transponder* criptografa o desafio com os 40 bits da chave compartilhada com o leitor, onde os 24 bits menos significativos fazem parte de uma assinatura. O *transponder* responde ao desafio com 24 bits do identificador, 24 bits da assinatura e 16 bits de CRC (Cyclic Redundancy Check). Na primeira transmissão, os 16 bits de CRC são secretos, mas o fabricante usou o mesmo valor para todos dispositivos. A partir da chave compartilhada e dos 16 bits secretos de CRC, o leitor consegue verificar se a assinatura do *transponder* é correta.

Figura 15 - Autenticação do DST



Fonte: O autor (2019)

3.6.4.2 Hitag2

O Hitag2 se utiliza de *challenge-response* com autenticação mútua entre o carro (*reader*) e a chave (*transponder*), ou seja, carro e chave verificam a autenticidade um do outro. A seguir o passo a passo realizado na autenticação do Hitag2 (ŠTEMBERA; NOVOTNÝ, 2011):

- O carro (*reader*) envia comando de *authentication* (11000) para a chave (*transponder*)
- O *transponder* responde com o (11111) seguido do identificador.
(daqui em diante a comunicação ocorre criptografada)

- O carro envia 32 bits do autenticador criptografado e 32 bits de um número pseudoaleatório gerado
- O *transponder* criptografa a chave compartilhada que possui com o número pseudoaleatório recebido e se o valor recebido corresponder ao valor gerado, ele responde com a resposta ao desafio.

3.6.4.3 Keeloq

O processo de autenticação do Keeloq acontece de maneira unidirecional e implícita. Existem duas possibilidades de autenticação no Keeloq, uma delas faz uso de um algoritmo chamado de *rolling code* ou *hopping code* e a outra é conhecida como IFF (do inglês, *Identifie Friend or Foe*) (INDESTEEGE et al., 2008).

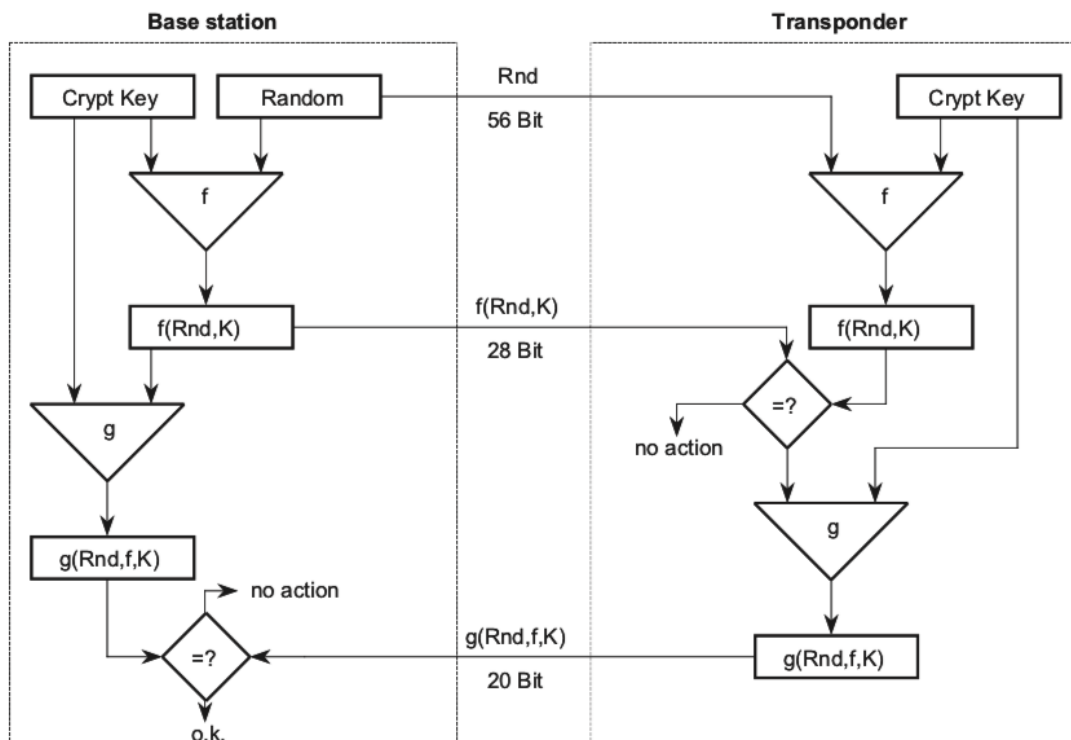
No modo de autenticação conhecido como *hopping code*, o carro e a chave possuem um contador sincronizado entre eles que varia de 16 a 18 bits. Ao pressionar o botão, a chave criptografa um código de 32 bits a partir de um *discrimination value*, um contador e 4 bits do comando (abrir, fechar, etc.) e envia ao receptor. Essa criptografia é realizada a partir da chave compartilhada. Quando o receptor recebe o comando, ele decodifica com sua chave compartilhada e verifica se o *discrimination value* é o mesmo que ele possui e se o contador está dentro da janela permitida. Caso positivo, o comando é executado (PAAR et al., 2009).

Já na autenticação IFF, a autenticação é realizada quando o veículo envia um desafio de 32 bits a chave que, por sua vez, criptografa o desafio com a chave compartilhada e responde ao carro. Ao receber a resposta ao desafio, o carro descriptografa a resposta e verifica se ela corresponde (INDESTEEGE et al., 2008). Como nesse tipo de autenticação não há intervenção do usuário, ele pode ser usado em imobilizadores.

3.6.4.4 Megamos Crypto

No Megamos Crypto a autenticação é mútua, ou seja, carro e chave autenticam um ao outro. O processo de autenticação tem início com o carro lendo o identificador da chave. Em seguida, o veículo envia um número aleatório de 56 bits para a chave. Então, ambos criptografam o número randômico gerado pelo carro com a chave compartilhada. Depois, o carro envia o resultado da criptografia para a chave que compara os resultados. Caso positivo, a chave criptografa o resultado com sua chave e envia ao carro, que confirma a autenticidade da chave a partir da mesma operação realizada pelo carro. A (Figura 16) ilustra o processo de autenticação.

Figura 16 - Autenticação mútua do Megamos Crypto



Fonte: Verdult, Garcia e Ege (2015)

3.6.4.5 Volkswagen Group RKE

Os RKE que foram analisados em Garcia et al. (2016) se utilizam de uma autenticação implícita. Nesses sistemas, a autenticação é unidirecional com o carro autenticando a chave. Cada comando enviado do *key fob* para o carro é decodificado e nele há um contador que é incrementado cada vez que um comando é enviado. Ao receber um comando, o carro verifica se o contador está dentro de uma janela válida e, caso esteja, executa o comando recebido. Para que esse tipo de autenticação funcione corretamente, tanto carro como chave devem ser sincronizados.

3.6.4.6 Open Immobilizer Software Stack

Na especificação desenvolvida pela Atmel, a autenticação pode ser configurada como mútua (bilateral) ou unilateral (ATMEL, 2012). A Figura 17 ilustra a autenticação mútua, onde o carro e a chave compartilham duas chaves AES. Inicialmente, o carro faz um *request* para leitura do ID da chave (comando ReadUID). Ao receber a resposta da chave, o carro verifica se a chave está pareada. Caso positivo, o carro inicia o processo de autenticação (comando Start Authentication).

O processo de autenticação, propriamente dito, inicia-se com o carro gerando um desafio (*challenge*) a partir de um número randômico gerado (RandN) criptografado com a chave AES 1. Desse resultado, o carro extrai RandM (número randômico gerado a partir de RandN) bits para ser enviado à chave junto com o Rand

Quadro 13 - Sistemas e tipos de autenticação

| Sistema | Autenticação |
|---------------------------------|--------------|
| DST | unilateral |
| Hitag2 | unilateral |
| Keeloq | unilateral |
| Megamos Crypto | mútua |
| Open Immobilizer Software Stack | mútua |
| Volkswagen RKE | unilateral |

Fonte: O autor (2019)

3.6.5 Criptografia

Junto com a chave e o protocolo de autenticação, a criptografia utilizada em um sistema de PKES é um dos fatores mais importantes no que tange a questão da segurança. Porém, muitos dos RKE e imobilizadores desenvolvidos pela indústria automobilística foram criados baseados na confidencialidade do algoritmo e do protocolo utilizado. Essa confidencialidade contraria o princípio de Kerkchoff que diz: “Um sistema criptográfico deve ser seguro mesmo se tudo, exceto a chave, seja de domínio público”.

O uso de algoritmos de criptografia já conhecidos pela comunidade acadêmica aumenta a confiabilidade do algoritmo em questão, já que ele foi testado e estudado pela comunidade científica, em vez de uma pequena equipe de engenheiros. Entre os sistemas analisados, apenas o Open Immobilizer Software Stack da Atmel sugere o uso de um algoritmo padrão, que no caso é o AES (do inglês, *Advanced Encryption Standard*) (TILLICH; WÓJCIK, 2012). Os demais sistemas optaram pelo uso de algoritmos proprietários baseados em algoritmos abertos, foram eles: cifra de Feistel não balanceada, usado pelo DST (BONO et al., 2005), NLFSR (do inglês, *non linear feedback shift register*) usado pelo Keeloq (PAAR et al., 2009), uma combinação do NLFSR com uma GLFSR (do inglês, *galois linear feedback shift register*), usado no Megamos Crypto (WANG; YU, 2005a), uma LFSR (do inglês, *linear feedback shift register*) e uma função não-linear, usadas no Hitag2 (ŠTEMBERA; NOVOTNÝ, 2011) e o AUT64 e XTEA, usados pela Volkswagen (GARCIA et al., 2016). Nos sistemas da Bosch e da Continental não foram encontradas informações sobre que algoritmo é utilizado.

3.6.5.1 DST

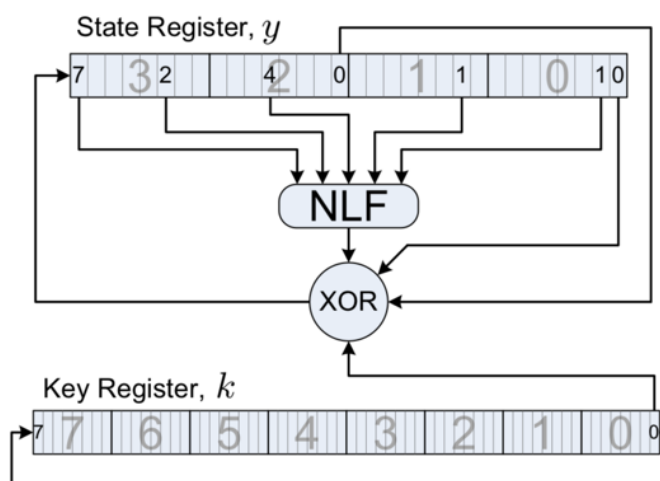
No DST o algoritmo de criptografia utilizado é proprietário e baseado em uma cifra de Feistel desbalanceada. Nesse algoritmo, o leitor usa uma chave de 40 bits para criptografar o desafio e enviar uma resposta truncada de 24 bits. O receptor que possui a mesma chave de criptografia compara o resultado do leitor com a resposta esperada (BONO et al., 2005).

3.6.5.2 Keeloq

O Keeloq usa um algoritmo proprietário composto por uma chave de 64 bits e codificação em blocos de 32 bits através de uma NLSFR (do inglês, *non-linear feedback shift register*), onde o *feedback* depende linearmente de 2 bits de registro, sendo eles 1 bit da chave e 1 bit da função não-linear (EISENBARTH et al., 2008).

Na inicialização do algoritmo, a chave e o estado devem ser armazenadas nos seus respectivos registradores, como mostra a Figura 18. Então, a cada ciclo de clock, o registrador da chave é deslocado para a direita, assim como o registrador do estado. Após 528 ciclos de *clock*, o registrador do estado conterá o texto cifrado.

Figura 18 - Cifrador do Keeloq



Fonte: Paar et al. (2009)

3.6.5.3 Hitag2

O Hitag2 usa um algoritmo proprietário de codificação em fluxo com uma chave de 48 bits (VERDULT; GARCIA; BALASCH, 2012). Esse algoritmo se utiliza de uma LFSR (do inglês, *Linear Feedback Shift Register*) e uma função não-linear para saída da *keystream*. Em 2007, após ter sido descoberto por engenharia reversa (COURTOIS; O'NEIL; QUISQUATER, 2009), o Hitag2 chamou atenção da comunidade científica e teve diversos trabalhos publicados a respeito (BENADJILA et al., 2017).

3.6.5.4 *Megamos Crypto*

A criptografia realizada pelo Megamos Crypto consiste em: uma função GLFSR (do inglês, *Galois Linear Feedback Shift Register*), uma NFSR (do inglês, *non-linear Feedback Shift Register*), e três registradores de 7 bits cada (VERDULT; GARCIA; EGE, 2015).

3.6.5.5 *Volkswagen Group RKE*

Os veículos fabricados e equipados com o RKE do Grupo Volkswagen até 2005 não faziam uso de algoritmos de criptografia e apenas utilizam uma ofuscação de código. Já os modelos fabricados a partir de 2004, alguns modelos passaram a ser equipados com cifradores AUT64 (um cifrador iterativo que utiliza 8 blocos de 8 *bytes* cada) ou XTEA (um cifrador de blocos baseados em uma Feistel com blocos de 64 bits e chaves de 128 bits) (GARCIA et al., 2016).

3.6.5.6 *Atmel Open Immobilizer Software Stack*

O protocolo criado pela Atmel não possui um algoritmo definido. Ele especifica um módulo de criptografia e recomendam que seja utilizado algum algoritmo publicamente conhecido e testado. Nos *datasheets* dos produtos fabricados pela Atmel eles utilizam o AES (do inglês, *Advanced Encryption Standard*) com uma chave de 128 bits (ATMEL, 2012).

O Quadro 10 resume os algoritmos utilizados pelos sistemas pesquisados na Seção 3.5.5.

Quadro 14 - Algoritmos de criptografia utilizados

| Sistema | Algoritmo |
|---------------------------------|---------------------------------|
| DST | Cifra de Feistel não balanceada |
| Hitag2 | LFSR + função não-linear |
| Keeloq | NLFSR |
| Megamos Crypto | NLFSR + GLFSR |
| Open Immobilizer Software Stack | AES |
| Volkswagen RKE | AUT64 ou XTEA |

Fonte: O autor (2019)

3.7 VULNERABILIDADES

Essa seção tem como objetivo elencar as vulnerabilidades encontradas nos sistemas encontrados na revisão da literatura. Os sistemas encontrados pela revisão exploratória só possuem informações disponibilizadas pelos fabricantes, logo não

serão abordados nessa seção. As subseções a seguir apresentam as vulnerabilidades de cada sistema.

3.7.1 DST

Uma das principais fraquezas do DST é o tamanho da chave. Com apenas 40 bits, é possível fazer uma busca exaustiva para encontrar a chave utilizada (BONO et al., 2005).

3.7.2 Hitag2

A principal vulnerabilidade do Hitag2 é devida à criptografia fraca e a chave de 48 bits. De acordo com Verdult, Garcia e Balasch (2012), um outro problema é devido à dependência entre sessões, o que faz com que 16 bits se repitam durante a troca de mensagens entre carro e chave. Além disso, com uma probabilidade de 25%, os bits do cifrador são determinados por apenas 34 bits do estado interno. Como consequência, uma em cada quatro tentativas de autenticação revela um bit de informação da chave secreta.

Ainda de acordo com Verdult, Garcia e Balasch (2012), um outro problema encontrado no Hitag2 é que não há também um gerador de números pseudo-aleatórios. Além disso, o *transponder* responde com dados conhecidos quando é executado um comando de leitura no bloco de memória onde a identificação do *transponder* é armazenada. Outra vulnerabilidade é que os 48 bits do estado interno do cifrador só são gerados por blocos de 32 bits e os outros 16 bits são persistidos por sessões diferentes (a chave deveria ser gerada de uma única vez).

3.7.3 Keeloq

Uma das vulnerabilidades do Keeloq é sua chave de apenas 64 bits, além disso, ele implementa o protocolo de *challenge-response* onde os "*challenges*" não são autenticados, fazendo com que um atacante possa obter conjuntos de texto não cifrado e texto cifrado diretamente do controle remoto (INDESTEEGE et al., 2008).

Estudos também confirmaram que os fabricantes também utilizam a mesma chave-mestre na maioria dos seus produtos (SHEETRIT; WOOL, 2011). Caso isso ocorra, é possível recuperar a chave usando *side channel attack* no receptor.

3.7.4 Megamos Crypto

De acordo com Verdult, Garcia e Ege (2015) as principais vulnerabilidades do Megamos Crypto são:

- A ausência de um gerador de números pseudoaleatórios;
- Os últimos passos do protocolo de autenticação firmecem ao atacante 15 bits em texto não cifrado;

- O estado interno da cifra é de 56 bits, diferentemente da chave que é de 96 bits;
- Em muitos *transponders* vários bits em sequencia são zeros na chave;
- A chave é criada em operações de escrita de blocos de 16 bits, ou seja, não é de maneira atômica;
- Função que gera o próximo estado pode ser invertida;
- A memória é bloqueada/desbloqueada através de um *pin code* padrão conhecido.

3.7.5 Volkswagen RKE

De acordo com Garcia et al. (2016), a versão do RKE utilizada até 2005 em alguns veículos do grupo Volkswagen só utilizavam uma função de ofuscação de código, sendo muito fácil quebra-la. Já, os veículos fabricados entre 2005 e 2016 possuem como fraqueza o uso de uma chave global fixa na *key fob*, fazendo com que a autenticação entre os modelos mude apenas no identificador e o contador.

3.7.6 Atmel Open Immobilizer Software Stack

De acordo com Tillich e Wójcik (2012), as vulnerabilidades no Open Immobilizer Software Stack são: os comandos “ReadUID” e “Write Memory Access Protection” ocorrem de maneira não autenticada. Já no comando “LearnSecretKey” não é verificada a integridade. Além disso, a chave não gera um número pseudoaleatório e não existe um *timestamp* ou identificador entre seções.

3.8 ATAQUES

Diante das vulnerabilidades expostas na seção anterior, essa seção visa analisar os ataques existentes na literatura para os sistemas pesquisados. As subseções a seguir apresentam cada um desses ataques para cada sistema.

3.8.1 DST

Devido ao tamanho da chave, apenas 40 bits, um possível ataque ao DST (BONO et al., 2005) é através da busca exaustiva (força bruta). A partir de dois pares *challenge-reponse*, é possível descobrir a chave em menos de uma hora. Além disso, também mostrou-se possível através de *time-memory tradeoff* executar o ataque em poucos minutos (BONO et al., 2005).

3.8.2 Hitag2

Após ter o algoritmo descoberto por engenharia reversa em 2007 (VERDULT; GARCIA; BALASCH, 2012), o Hitag2 passou a ser alvo da comunidade científica de criptografia e diversos ataques surgiram, entre eles podemos citar:

- *Algebraic Attack*: Esse ataque consiste em transformar o estado do cifrador em um sistema de equações e utilizar algoritmos de satisfabilidade booleana para resolver o sistema e recuperar a chave. No ataque realizado em Courtois, O'Neil e Quisquater (2009) é necessário escutar quatro sinais e leva cerca de 2 dias para resolvê-lo. Depois Soos, Nohl e Castelluccia (2009) fez uma melhoria no ataque e reduziu o tempo para 8 horas.
- *Brute force attack* (ŠTEMBERA; NOVOTNÝ, 2011): Esse ataque utiliza busca exaustiva da chave a partir de dois pares de *challenges-responses* e, no pior caso, leva cerca de 103 minutos. O ataque usa um *cluster* COPACOBANA (do inglês, *Cost-Optimized Parallel Code-Breaker*) com 120 FPGAs (do inglês, *Field Programmable Gate Array*).
- *Criptoanalytic attack* por Sun et al. (2011): é um ataque que procura por relações lineares entre o cifrador e os bits de saída para reduzir o tamanho do cifrador e diminuir o tempo de ataque. Com essa técnica o ataque é reduzido a menos de um minuto, porém esse ataque necessita que sejam escolhidos os vetores de inicialização do cifrador, o que não é possível em um ataque na prática.
- *Criptoanalytic attack* por Verdult, Garcia e Balasch (2012): Esse ataque faz uso da dependência de 25% entre bits do cifrador, com isso o atacante pode realizar 136 tentativas de autenticação a partir de um ID de transponder válido, com isso ele obtém $136/4 = 34$ bits e os demais bits são obtidos por busca exaustiva. Esse ataque leva em torno de 6 minutos para ser executado.
- *Malleability attack*: Realizado por Verdult, Garcia e Balasch (2012), esse ataque consiste em escutar um comando de autenticação válido para uso futuro. A partir da autenticação válida escutada, um comando de autenticação com bits de redundância maior que o cifrador permita pode ser gerado. Então, como o cifrador não possui um *response* correto para o *challenge* para o comando de autenticação, ele responde com sucesso ao comando de autenticação. Então, é feita a busca exaustiva para achar o comando criptografado de leitura.
- *Time/memory tradeoff attack*: Realizado por Verdult, Garcia e Balasch (2012) esse ataque consiste em gerar tabelas pré-computadas e escutar

uma autenticação válida para obter a chave criptografada e a partir daí realizar buscas nas tabelas para encontrar a chave.

3.8.3 Keeloq

Assim como o Hitag2, o algoritmo do Keeloq se tornou público (BOGDANOV, 2007). Então, o sistema também tornou-se alvo de diversos estudos da comunidade de criptografia, tendo sido encontrado diversos tipos de ataques como: *Time-Memory Tradeoff*, *Slide Attack*, *Algebraic Attack*, *Related Key* e combinações entre esses ataques (INDESTEEGE et al., 2008).

3.8.4 Megamos Crypto

De acordo com Verdult, Garcia e Ege (2015), o Megamos Crypto é suscetível a três ataques: *Time-memory trade-off*, *Partial key update attack* e *Weak Key Attack*.

O *Time-memory trade-off* é um ataque que requer um tempo muito grande para ser realizado no Megamos Crypto, sendo considerado muito difícil de ser colocado em prática. Para efetuar o ataque, é necessário interceptar duas autenticações com sucesso entre o carro e a chave, e em seguida, a partir de tabelas pré-computadas realizar buscas para encontrar a chave.

O *Partial key update attack* é um ataque que consiste em modificar a chave para bloquear o controle. No entanto, para efetuar esse ataque é preciso que o controle (chave) não tenha sido configurado com proteção à leitura. No ataque, é preciso escutar uma autenticação entre carro e chave, para então, explorar o fato da chave não desafiar o carro. Então, o atacante executa comando de escrita em um dos blocos 16 bits que contém a chave, para cada tentativa de escrita ele modifica o par do desafio da autenticação necessária para cada comando de escrita.

Já o *Weak key attack* consiste em explorar a baixa entropia da chave, onde vários bits da chave são zeros. Nesse ataque, o atacante pré-computa tabelas com possíveis chaves e escuta uma autenticação entre carro e chave. A partir daí, tendo conhecimento de um par *challenge-reponse* e das tabelas computadas, o atacante faz buscas exaustivas na tabela para descobrir o estado do cifrador e recuperar a chave.

3.8.5 Volkswagen RKE

De acordo com Garcia et al. (2016), os RKE utilizados em parte dos veículos do grupo Volkswagen são configurados a partir de poucas chaves criptografadas. De posse dessas chaves, o atacante pode simplesmente escutar comunicações entre carro e chave e a partir das chaves descobrir a chave secreta do controle. Além dessa falha, o sistema está sujeito a DoS (do inglês, *Denial of Service*), onde o atacante pode modificar o comando gerado pela chave alterando o contador, utilizado fazendo

com que o veículo não aceite comandos do controle original.

3.8.6 Atmel Open Immobilizer Software Stack

De acordo com Tillich e Wójcik (2012), o Open Immobilizer Software Stack da Atmel está sujeito aos seguintes ataques:

- *Relay Attack with Genuine Key Fob*

Esse ataque consiste em usar um leitor falso e uma *key fob*, falsa como mostrado na Figura 19.

Figura 19 - Replay attack with Genuine Key Fob



Fonte: Adaptada de Tillich e Wójcik (2012)

- *Tracking*

O ataque de Tracking se dá através de um comando não autenticado e que retorna um resultado previsível para o atacante e que o resultado é único por *key fob*, ou seja, o mesmo comando geraria um resultado diferente em outra *key fob*. O comando “ReadUID” é um comando que ocorre sem autenticação. Nesse caso, o tracking por si só não oferece riscos, mas provê informações ao atacante.

- *Denial-of-Service Attack*

O comando “LearnSecretKey” usa a chave criptografada, mas não verifica a integridade. Para realizar o ataque, o atacante pode mandar qualquer chave criptografada para a chave, em seguida a chave irá descriptografar o comando recebido e trocará o valor da chave que possui pelo valor recebido no comando. Então, ao tentar utilizar a chave com o novo valor ela ficará inutilizável.

- *Relay Attack on Authentication*

De acordo com o protocolo, uma chave não gera números pseudoaleatórios, ela apenas reusa o que foi gerado pelo leitor. Logo, os comandos de autenticação enviados pelo carro podem ser gravados para uso futuro. A autenticação mútua proposta só autentica o carro na chave e verifica a origem dos dados da resposta da *key fob* para o carro.

- *Spoofing Attack on Memory Access Protection*

O comando “Write Memory Access Protection” ocorre sem autenticação. A partir dessa falha, um atacante pode alterar parte da memória da key fob prejudicando alguma funcionalidade.

- *Hijacking Communication Sessions*

Como não há um *timestamp* ou um *cookie* de sessão, um atacante pode interceptar comandos entre chave e veículo, após uma autenticação bem-sucedida. Então, ele pode utilizar comandos de forma similar ao realizado no *Replay Attack*, onde comandos são armazenados para uso futuro.

3.9 CONSIDERAÇÕES FINAIS

Nesse Capítulo foram apresentados 9 sistemas de entrada e partida em automóveis, com cinco requisitos ligados à segurança, às vulnerabilidades e aos ataques existentes a partir de uma Revisão Sistemática e uma Revisão Exploratória.

Dentre as vulnerabilidades e ataques expostos nesse Capítulo, pode-se notar que as maiores falhas de segurança encontradas são devidas a erros de projeto na elaboração do sistema: chave fraca, algoritmo proprietário fraco, ausência de gerador de números pseudoaleatórios, comandos que são executados sem precisar de autenticação, etc.

Apesar das falhas encontradas, nota-se também que para se ter um sistema mais seguro não é preciso criar novos algoritmos e novas tecnologias, mas é preciso ser feito escolhas corretas de projeto do sistema. Um exemplo disso está na adoção do AES, que é utilizado no Open Software Immobilizer Stack da Atmel e que não apresentou falhas no que tange a questão da criptografia. Um outro bom exemplo que podemos citar é o uso da autenticação mútua, que garante que a troca de informações entre as partes do sistema só será feita uma vez que ambos reconhecem um ao outro. Além disso, ainda podemos destacar a tendência do uso do celular como algo benéfico, pois propicia uma maior capacidade de processamento, possibilitando, por exemplo, o uso de uma chave maior.

O próximo Capítulo apresenta um modelo de segurança para PKES que teve como guia os requisitos, os ataques e as vulnerabilidades apresentados nesse capítulo.

4 MODELO DE SEGURANÇA DE PKES

Neste capítulo é apresentado um modelo de PKES baseado no uso de smartphones que tem como principal objetivo a segurança.

4.1 INTRODUÇÃO

Um veículo durante sua vida útil passa pelos mais variados cenários de uso. Dentro desses cenários, existem alguns que se repetem com mais frequência e/ou são considerados mais relevantes do ponto de vista de uso do veículo (Figura 20). Durante toda essa vida útil, espera-se que o veículo seja seguro do ponto de vista da vida daqueles que utilizam o veículo como no caso de acidentes (equivalente ao termo em inglês, *safety*), e seguro do ponto de vista de roubos e furtos (equivalente ao termo em inglês, *security*).

No contexto de pesquisa desse trabalho, esse capítulo propõe um modelo de segurança de PKES com o foco no conceito de segurança da informação, ou seja, do termo em inglês *security*. Esse modelo tem como objetivo abranger todos os cenários da Figura 20 que serão abordados na Seção 4.3. Além disso, seguindo a tendência na área de PKES, esse modelo será elaborado a partir do uso do celular como dispositivo que contém a chave virtual do veículo, que se comunicará como o veículo através de BLE (*bluetooth low energy*).

Figura 20 - Ciclo de vida de um veículo - possíveis cenários



Fonte: o autor (2019)

4.2 REQUISITOS

O modelo proposto tem como objetivo principal ser um modelo seguro, do ponto de vista de segurança da informação. Porém, outros objetivos também foram considerados para que o sistema proposto seja viável do ponto de vista de uso. A seguir, considerando os objetivos de segurança e o melhor uso possível, são listados requisitos em ordem de prioridade:

- **Controle de acesso**
Somente usuários autenticados devem ter acesso ao veículo.
- **Performance**
O tempo máximo para abrir e fechar o automóvel deve ser imperceptível para o usuário, assim como o tempo para ligar o automóvel.
- **Abrir e fechar remotamente**
O usuário poderá abrir e fechar o veículo remotamente dentro de uma distância máxima estabelecida.
- **Compartilhar o veículo**
O proprietário poderá, se assim desejar, compartilhar chaves com outros usuários, mas para isso é preciso que eles estejam próximos ao veículo para que a chave temporária seja inserida no veículo.
- **Controle de acesso orientado a tempo e a localização**
Usuários só podem ter acesso ao veículo dentro das limitações de localização e tempo configuradas pelo proprietário.

Como dito anteriormente, diante dos diversos cenários possíveis para um automóvel no que se refere a entrada e partida sem chaves, o modelo proposto foca em segurança de veículos baseado em *smartphones* como portador da chave virtual. Apesar de ser possível realizar transferências de chaves virtuais através da internet, esse requisito foi removido para evitar diversos problemas de segurança com o compartilhamento remoto, como por exemplo, o comprometimento da rede de comunicação entre proprietário e usuário.

4.3 ESCOPO

Diante de uma tendência na área de migrar para uso de celulares como portadores da chave¹⁷, esse modelo será baseado em *smartphones*.

Como dito anteriormente, são muitos os cenários os quais um automóvel será submetido durante toda sua vida útil. O trabalho aqui apresentado foca apenas nos cenários de veículos particulares. Logo, faz parte do escopo negativo desse modelo os veículos corporativos, de locadoras ou de sistemas de compartilhamento. Apesar disso, alguns dos cenários existentes para carros corporativos podem facilmente ser resolvidos com o modelo proposto ou com pequenos ajustes. Além desses cenários, o celular com bateria descarregada também faz parte do escopo negativo do modelo.

Apesar do modelo proposto focar em segurança, de nada adiantaria, por exemplo, um veículo que levasse alguns poucos segundos para destravar as portas ou que levasse o usuário a memorizar e digitar senhas para abrir porta e dar partida no automóvel. Então, apesar de não ser o foco principal do trabalho em questão, aspectos de usabilidade e desempenho foram levados em consideração na elaboração do modelo, mas estes aspectos podem ser melhor explorados em trabalhos futuros.

Diante do exposto, os seguintes cenários serão tratados pelo modelo:

- Aquisição do automóvel
 - Exemplo: o veículo se encontra de posse da concessionária e acaba de ser adquirido pelo novo proprietário.
 - Objetivo: a concessionária, através da montadora, possui acesso à base de dados da chave do veículo, mas precisa transferi-la ao novo proprietário de forma permanente.
 - Desafio: Após a transferência, apenas o proprietário deverá ter acesso ao veículo. A montadora deverá ter armazenada uma chave reserva para uso emergencial e futuro.
- O uso das funções básicas de um sistema de controle de entrada e partida
 - Exemplo: O usuário de um veículo precisa usar as funções básicas de um veículo (travar as portas, destravar as portas, ligar o carro, abrir o porta-malas).

¹⁷ <https://www.reuters.com/article/us-autoshow-frankfurt-keys/bmw-says-car-keys-may-be-replaced-by-mobile-phone-apps-idUSKCN1BQ1ES>

- Objetivo: Autenticar o usuário antes de abrir a porta, abrir o portamalas e antes de ligar o automóvel.
- Desafio: A autenticação deve ser feita de modo que o usuário não tenha que ficar esperando para efetuar a ação. O tempo para que a autenticação aconteça não deve ser perceptível ao usuário. Além disso, apenas usuários autorizados poderão realizar tais ações.
- Compartilhamento do veículo em um domicílio
 - Exemplo: um casal de recém-casados adquiriu um carro, apesar de ambos dirigirem, eles só têm um carro e este é compartilhado.
 - Objetivo: o veículo precisa ter mais de uma chave ou os proprietários precisam usar a mesma chave.
 - Desafio: evitar a captura da réplica da chave por um intruso, dado que a chave tem os mesmos poderes da chave utilizada pelo proprietário.
- O uso do veículo em uma oficina e/ou lava jato
 - Exemplo: o veículo está com defeito e precisa ser levado a uma oficina. O carro irá pernoitar na oficina para que o serviço seja concluído e durante esse tempo o mecânico irá precisar ligar o veículo para testes.
 - Objetivo: uma chave temporária precisa ser compartilhada com o mecânico.
 - Desafio: essa chave será usada para ligar e desligar o veículo e fazer pequenos deslocamentos, mas essa chave não pode compartilhar novas chaves. Além disso, o carro não precisa sair da oficina e a chave precisa ficar em posse do mecânico até o dono retirar o veículo da oficina.
- Estacionamento com manobrista
 - Exemplo: o proprietário foi a um restaurante ou hotel no qual é oferecido um serviço de manobrista.
 - Objetivo: o proprietário precisa compartilhar uma chave temporária com o manobrista, mas, por segurança, essa chave não deverá ser usada além do estacionamento desse local, nem após o proprietário do veículo sair do estabelecimento com o carro. Além disso, essa chave não deverá ter permissão de ser compartilhada ou compartilhar novas chaves.

- Desafio: essa chave será usada para ligar e desligar o veículo e fazer pequenos deslocamentos, mas não pode compartilhar novas chaves.
- Troca de aparelho
 - Exemplo: o proprietário adquiriu um novo aparelho celular e vendeu o aparelho antigo a um desconhecido.
 - Objetivo: o dono precisa transferir as chaves que estão no aparelho antigo para o novo. Essa troca deve inutilizar as chaves do aparelho antigo.
 - Desafio: Com o aparelho antigo não deverá ser possível acessar o veículo e o novo aparelho deve manter as mesmas permissões do aparelho antigo.
- Perda de aparelho celular
 - Exemplo: o aparelho celular do proprietário foi roubado e o dono do automóvel comprou um novo aparelho.
 - Objetivo: o dono precisa de uma nova chave no aparelho novo. Além disso, a chave do aparelho antigo deverá ser invalidada.
 - Desafio: Com o aparelho antigo não deverá ser possível acessar o veículo e o novo aparelho deve manter as mesmas permissões do aparelho antigo.
- Venda do veículo
 - Exemplo: O proprietário decidiu comprar um novo automóvel e vendeu o automóvel antigo a um amigo, porém, ambos moram em uma cidade muito pequena e distante de uma concessionária autorizada.
 - Objetivo: o novo dono deverá receber a chave com todas as permissões e o antigo dono deverá ter o acesso negado.
 - Desafio: a transferência tem que ser feita sem o deslocamento para a concessionária. Além disso, por questões de segurança e privacidade, o novo proprietário quer remover o acesso do antigo dono ao veículo.

4.4 ESCOPO NEGATIVO

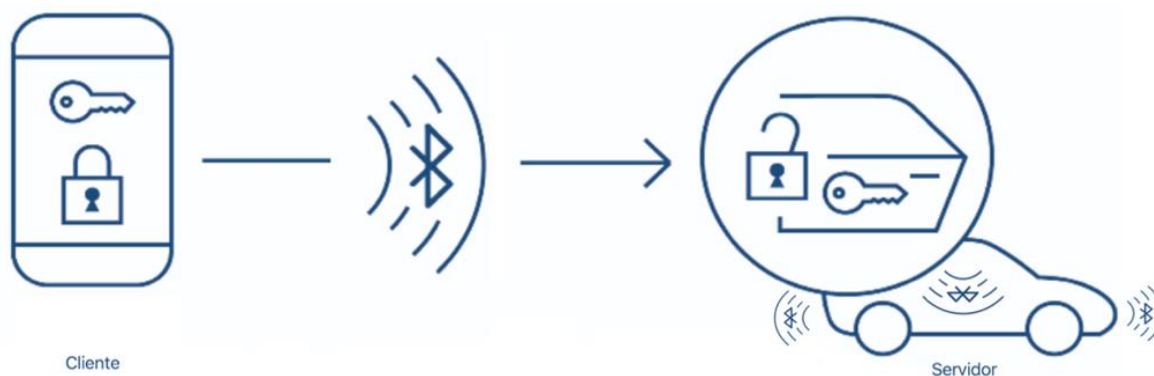
Apesar de focar em diversos cenários de uso de um sistema de entrada e partida sem chaves, essa pesquisa limitou-se aos cenários descritos na Seção 4.3. Então, não fazem parte do escopo dessa pesquisa os seguintes cenários:

- Sistema de compartilhamento de veículos (ex. Uber);
- Frota corporativa;
- Locadora de veículos;
- Celular descarregado;

4.5 ARQUITETURA

O modelo proposto é composto por duas partes, celular e veículo, formando uma rede bluetooth com uma arquitetura cliente-servidor (Figura 21). Ambas as partes possuem chaves de segurança compartilhadas para autenticação e criptografia das mensagens. O veículo contém antenas internas e externas que são utilizadas para detectar a presença do *smartphone* (chave) no interior e exterior do veículo.

Figura 21 - Visão geral

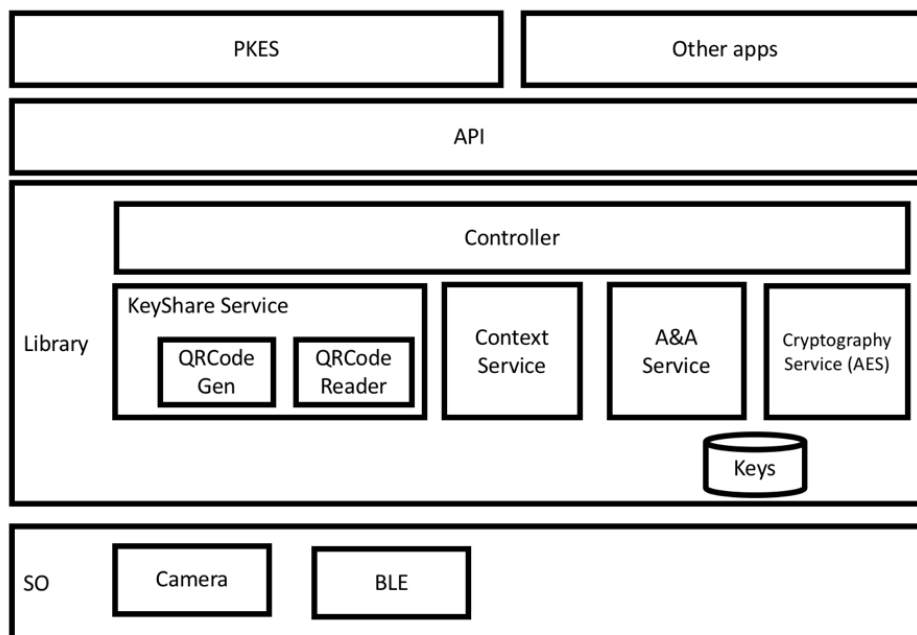


Fonte: O autor (2019)

4.5.1 Arquitetura da aplicação mobile

A proposta para o celular é que seja criada uma biblioteca para expor uma API (Application Programming Interface) utilizada em aplicações de PKES podendo conter uma interface para o usuário que seja customizável para atender os mais diversos modelos fabricados por uma montadora. Além disso, essa biblioteca também poderia ser utilizada por outros aplicativos criados pela montadora, caso necessário.

Figura 22 - Arquitetura – lado celular (cliente)



Fonte: O autor (2019)

- **PKES**

É a aplicação *mobile* em si. Esse módulo contém a interface do usuário e faz uso da API para realizar chamadas e subscrever a eventos emitidos pela API. Através da interface do usuário é possível travar e destravar portas, compartilhar chaves, remover acesso de chaves e destravar porta-malas.

- **Other apps**

Representa possíveis aplicações que façam uso da biblioteca via API. Exemplos: aplicações que identificam a presença do usuário nas proximidades do veículo e customizam o automóvel de acordo com as preferências do usuário (ajuste de volante, temperatura, músicas, trajetos do GPS).

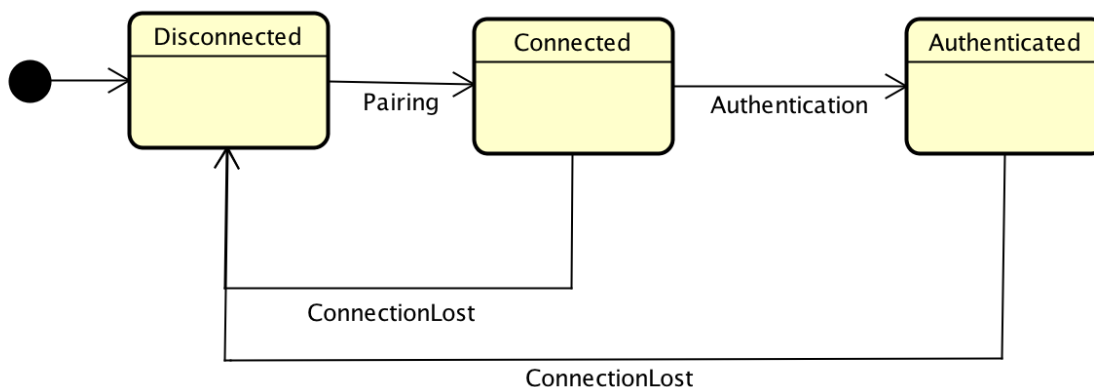
- **API**

É a API (*Application Programming Interface*) que a biblioteca expõe para que outras aplicações e a aplicação de PKES utilizem os serviços que ela provê.

- **Controller**

Esse módulo é o responsável por receber as chamadas da API e as executar. Ele contém uma máquina de estados para controle da aplicação. Essa máquina de estados da aplicação *mobile* é simples e contém os estados: *Disconnected*, *Connected* e *Authenticated* (Figura 23).

Figura 23 - Máquina de estados da aplicação *mobile*



Fonte: O autor (2019)

O estado Disconnected é quando o celular está sem conexão *bluetooth* com o veículo. Quando acontece o pareamento, o estado é o Connected e após autenticação o estado é o Authenticated. Se em quaisquer estados a conexão for perdida (ConnectionLost) a máquina de estados retorna ao estado Disconnected.

- **KeyShare Service**

É o módulo responsável pelo serviço de compartilhamento das chaves virtuais. Através desse módulo as informações da chave virtual são geradas ou lidas através de um QRCode.

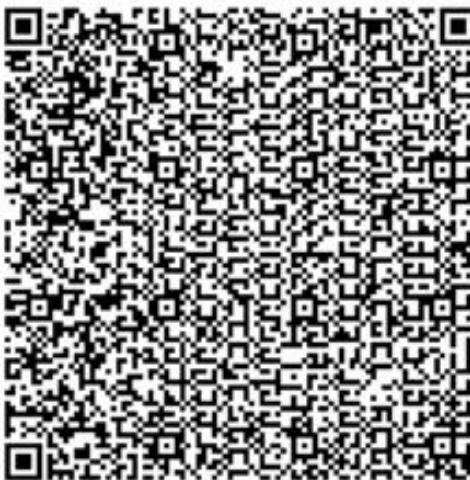
- **QRCode Gen**

Esse módulo pertence ao KeyShare e é responsável por gerar um QRCode com as informações das chaves (Figura 24). O QRCode é um meio de compartilhar a chave e as informações entre os usuários do veículo. As informações contidas no QRCode contemplam:

- Chave do veículo 128 bits: é a chave usada na autenticação do carro. Esse tamanho de chave é o mesmo utilizado pelo Open Immobilizer Software Stack da Atmel (ATMEL, 2012) e que também é recomendado pelo governo dos Estados Unidos (BARKER; DANG, 2015)
- Chave do aplicativo 128 bits: é a chave usada para autenticação do celular
- Durabilidade da chave: tempo que a chave é válida
- Localização: coordenadas geográficas que limitam o uso das chaves.
- Identificador do veículo: 128 bits (UUID – Universally Unique Identifier)
- Identificador da chave: 128 bits (UUID)

- PIN Bluetooth: senha para conectar com o bluetooth do veículo
- Posição do veículo: a última posição registrada do veículo.

Figura 24 - Exemplo de chave virtual



Fonte: O autor (2019)

As chaves do carro e do aplicativo compartilhadas através do QRCode serão utilizadas para a autenticação mútua. O identificador do veículo e da chave servem para o processo de autenticação e são utilizados para que a chave possa reconhecer o veículo antes de iniciar a autenticação e o veículo reconheça a chave. A durabilidade e a geolocalização são utilizadas para limitar as chaves temporárias. Já o PIN Bluetooth será utilizado no pareamento bluetooth entre celular e carro. A posição do veículo é utilizada na autenticação ciente de contexto.

- **QRCode Reader**

Esse módulo pertence ao KeyShare e é responsável por ler os QRcodes recebidos através da câmera e armazenar as informações recebidas no módulo Keys.

- **Context Service**

Esse módulo é o responsável por inferir a última posição do veículo e a posição atual da chave.

- **A&A Service**

Esse módulo é o responsável pela autenticação e autorização do sistema. A autenticação se dá de forma mútua e ciente de contexto (Seção 4.6). Já a autorização é baseada no modelo ABAC (Attribute Based Access Control) uma vez que as chaves possuem atributos de tempo e geolocalização para permitir o uso do automóvel com chaves temporárias.

- **Cryptography Service**

Esse módulo contém o algoritmo de criptografia AES (Advanced Encryption Standard), sendo responsável por criptografar e descriptografar as mensagens que são trocadas entre veículo e celular. Esse módulo utiliza chave de 256 bits para cifrar as mensagens.

- **BLE**

Através desse módulo, a aplicação se conecta com o veículo para formar uma rede *bluetooth* de baixo consumo de energia (BLE – Bluetooth Low Energy) por onde as mensagens serão trocadas entre aplicação e veículo.

- **Camera**

A câmera do *smartphone* será usada pelo QRCode Reader para leitura do QRCode que contém as informações da chave virtual.

- **Keys**

Esse módulo armazena as chaves, os identificadores e as permissões que as chaves possuem. Existem quatro tipos de chaves no modelo proposto:

- **Chave global fixa**

É a chave que fica em poder da montadora. Essa chave tem a permissão de executar quaisquer comandos.

- **Chave proprietária**

É a chave que fica com os proprietários dos veículos. Essa chave tem a permissão de executar quaisquer comandos, exceto UpdateKey na chave global fixa.

- **Chave temporária com permissão de compartilhamento**

Para uso temporário, essa chave tem permissão para executar todos os comandos exceto UpdateKey na chave global fixa, na chave proprietária e em si mesma.

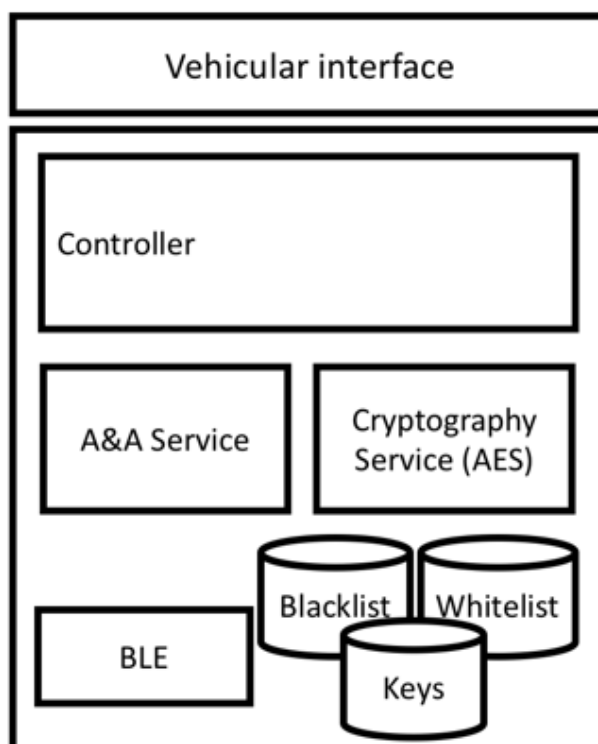
- **Chave temporária sem permissão de compartilhamento**

Também de uso temporário, essa chave tem permissão de executar todos os comandos, exceto UpdateKeys. A diferença entre a chave temporária com permissão de compartilhamento para a chave temporária sem permissão de compartilhamento é que a primeira é indicada para uso de um amigo e a segunda de um prestador de serviço. Ao emprestar o carro a um amigo ele pode, eventualmente, precisar compartilhar a chave com um prestador de serviço como, por exemplo, um manobrista. Já o manobrista, não precisa da permissão para compartilhar chave.

4.5.2 Arquitetura da Aplicação do Carro

A arquitetura contida no carro possui módulos semelhantes aos existentes no celular. Por outro lado, essa arquitetura não contém uma API onde uma aplicação mobile envia comandos, mas deve ter uma interface de comunicação para executar os comandos de travar/destravar portas e porta-malas e autenticar no imobilizador e uma interface de comunicação BLE para se conectar com a aplicação.

Figura 25 - Arquitetura – lado do veículo (servidor)



Fonte: O autor (2019)

- ***Vehicular interface***
Esse módulo é o responsável pela comunicação entre o cliente PKES e o veículo. Através dele os comandos (Seção 4.5) são repassados ao veículo.
- ***Controller***
O Controller é o módulo responsável por coordenar as ações no veículo. Ele possui uma máquina de estados idêntica a do celular.
- ***A&A Service***
O A&A Service é o responsável pela autenticação mútua e autorização. Ele contém os mesmos elementos do módulo presente no celular para que seja realizada o processo de autenticação e autorização.
- ***Cryptographic Service***
Esse módulo deve conter a implementação do algoritmo AES e é responsável por criptografar e descriptografar as mensagens trocadas.

- **Keys**

Módulo responsável por armazenar as chaves juntamente com identificadores e permissões. Cada chave possui um identificador único associado e esse identificador é utilizado como resposta ao comando ReadUUID. Nesse módulo estarão contidas as chaves do proprietário, as chaves temporárias e a chave mestra da montadora.
- **Blacklist**

Contém os *MAC Address bluetooth* que excederam o limite de tentativas de conexões ou dos smartphones cujas chaves expiraram o tempo de uso previsto. Essa estratégia é utilizada para evitar ataques de *denial of service*.
- **Whitelist**

Contém os *MAC Address bluetooth* dos smartphones que podem usar o veículo e os UUIDs válidos.
- **BLE**

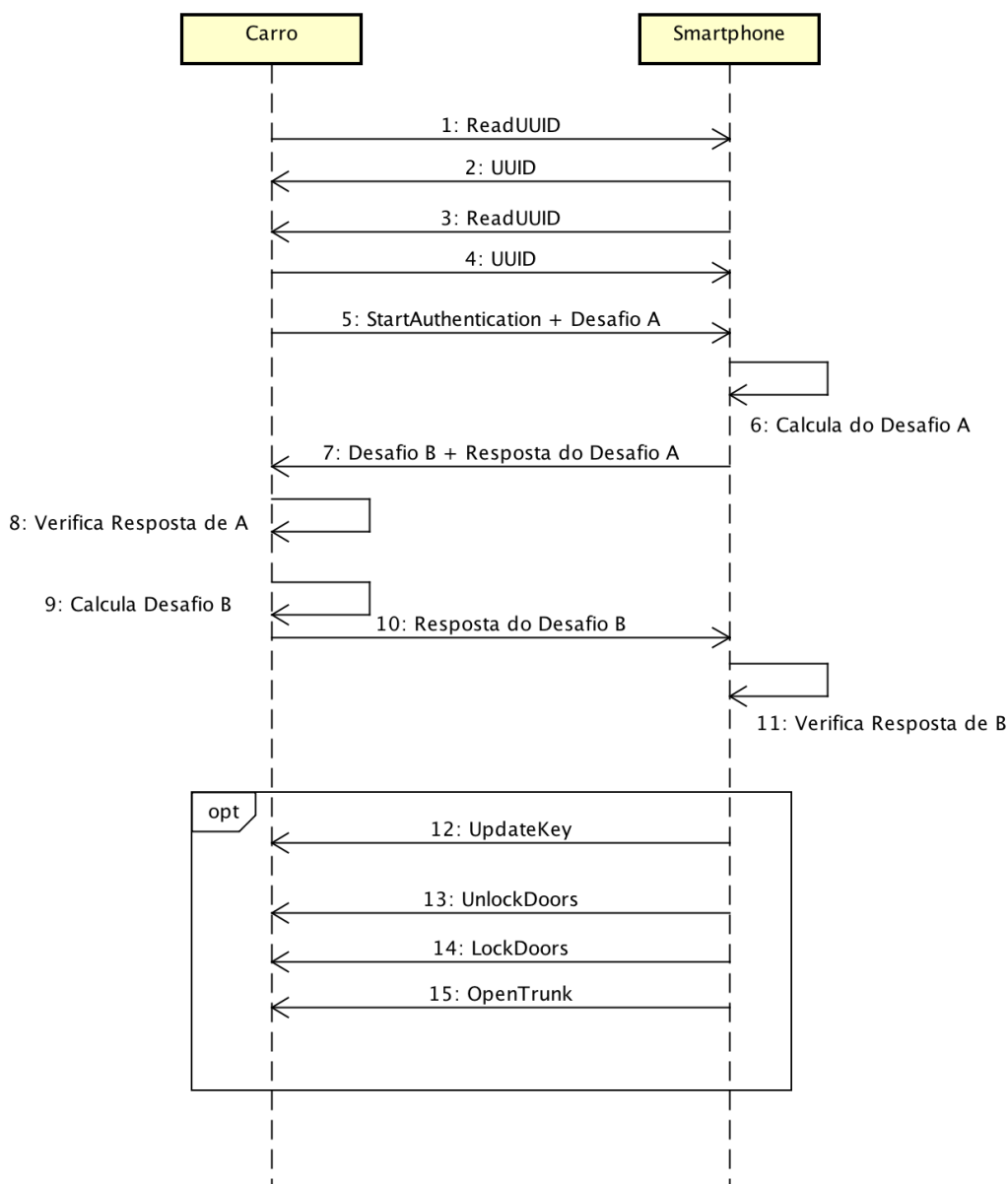
É o módulo que implementa o *bluetooth low energy* no veículo. Através dessa interface de comunicação, veículo e celular formam uma rede na qual os comandos serão trafegados.

4.6 PROTOCOLO DE COMUNICAÇÃO

O protocolo de comunicação entre celular e carro é baseado em mensagens. O celular envia a mensagem para o carro que responde após um determinado período de tempo e vice-versa.

Para efetuar ações como, por exemplo, travar portas ou ligar o veículo é preciso que veículo e chave estejam devidamente autenticados, além disso, também é necessário que comandos sejam disparados para que a ação seja efetuada (no caso de entrada e saída da zona de travamento, o veículo efetua essas ações sem interação com o dispositivo-usuário). A Figura 26 ilustra a troca de mensagens entre carro e *smartphone* para a autenticação, sendo as últimas mensagens comandos opcionais disparados explicitamente pelo dispositivo-usuário.

Figura 26 - Autenticação sem ciência de contexto



Fonte: O autor (2019)

As mensagens existentes no modelo são:

- **ReadUUID**

Comando ReadUUID é o comando mais simples. Ele é utilizado para efetuar a leitura do identificador do veículo se ele for executado pelo celular. Já no caso dele ser utilizado pelo carro, ele é utilizado para leitura do identificador do celular. Esse comando precede o início da autenticação propriamente dita.

- **StartAuthentication**

Esse é o comando utilizado para iniciar a autenticação de fato. Ele é composto pelo identificador do comando, o desafio e o resultado do desafio criptografado.

- **UnlockDoors**

Esse é o comando utilizado para a abertura de portas de maneira explícita através do aplicativo. Da mesma maneira que os veículos possuem controle remoto nas chaves para abrir e fechar o veículo, o modelo proposto apresenta esse comando para abertura remota. Esse comando só pode ser efetuado de maneira autenticada.

- **LockDoors**

Esse é comando é semelhante ao anterior, porém o intuito dele é travar as portas remotamente, quando o dispositivo-usuário sai do raio de comunicação com o veículo e após determinado tempo (ex. 5 segundos, podendo ser configurável) – Seção 4.6.4. Assim como o comando de UnlockDoors, esse comando só pode ocorrer de maneira autenticada.

- **OpenTrunk**

Similar aos comandos UnlockDoors e LockDoors, esse é comando utilizado para abrir a mala do veículo remotamente através do aplicativo.

- **EngineAuthentication**

Esse é o comando realizado para autenticação e permitir que o motorista ligue o veículo. Esse comando é disparado automaticamente pelo veículo na medida que ele detecta a presença de uma chave no interior do veículo.

- **UpdateKey**

Esse comando é utilizado para atualizar as chaves do veículo. Cada chave só poderá atualizar chaves com permissões inferiores ou iguais a ela. O objetivo desse comando é remover chaves temporárias que expiraram ou criar novas chaves que serão compartilhadas. Para que esse comando seja efetuado é necessário que a chave proprietária esteja autenticada.

4.7 FUNÇÕES

Essa seção explica como funcionam as funções do modelo proposto. Através dessas funções é possível cobrir os cenários abordados na Seção 4.3.

4.7.1 Configuração inicial da chave

Na configuração inicial da chave, a montadora precisa configurar a chave-mestra (chave global fixa) do veículo. O objetivo dessa chave é para usos emergenciais como, por exemplo, no caso de perda do celular do proprietário. Essa chave deve ser gerada de forma aleatória para cada veículo (GARCIA et al., 2016). Além disso, essa chave precisa ser criptografada no banco de dados da montadora para evitar o vazamento das chaves. A maneira como essa chave é armazenada foge

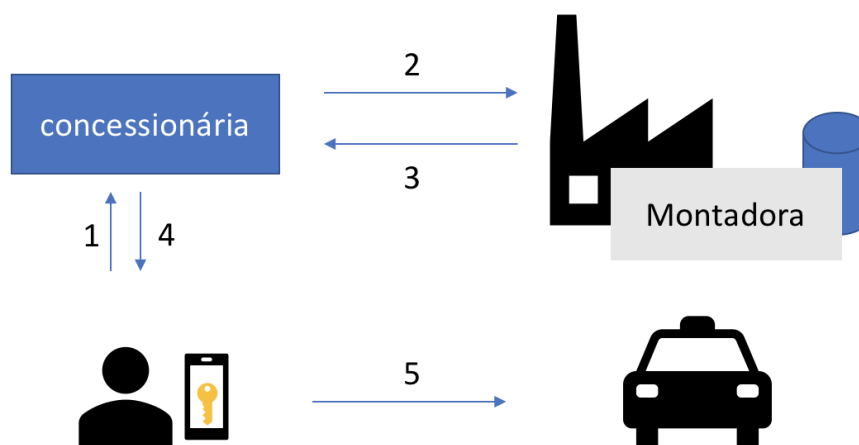
do escopo desse trabalho, mas ela deve ser armazenada de maneira segura e criptografada, a fim de não comprometer a segurança dos veículos e evitar um *recall* o que geraria um enorme prejuízo.

4.7.2 Aquisição do veículo

Ao adquirir o veículo na concessionária, o novo proprietário deverá receber a chave proprietária do veículo. Para isso, ele deve realizar os seguintes passos:

1. Realizar o cadastro na montadora através da concessionária e baixar o aplicativo;
2. Então, a concessionária deve requisitar a chave do veículo;
3. A montadora envia as chaves ao proprietário através da concessionária;
4. A concessionária configura a chave no celular do proprietário do automóvel (através da leitura do QRCode);
5. Proprietário se autentica no veículo normalmente.

Figura 27 - Configuração inicial da chave

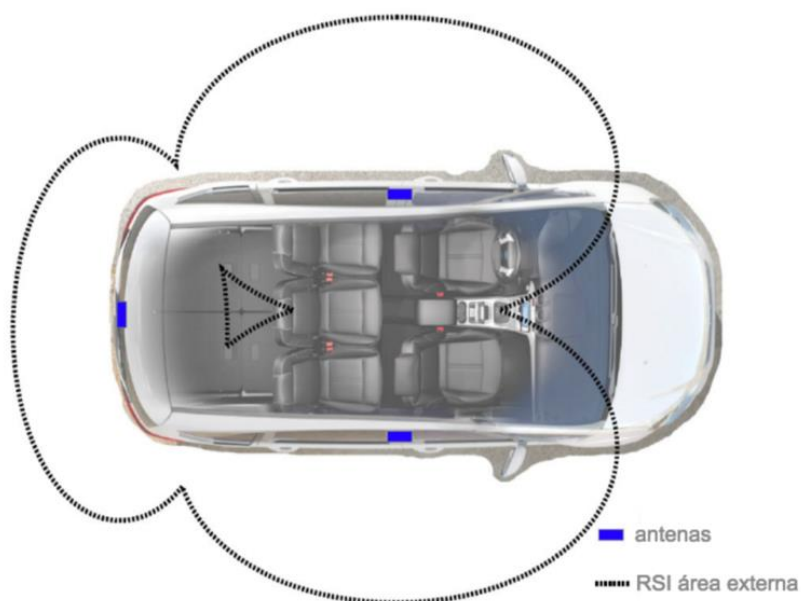


Fonte: O autor (2019)

4.7.3 Destruar portas e porta-malas

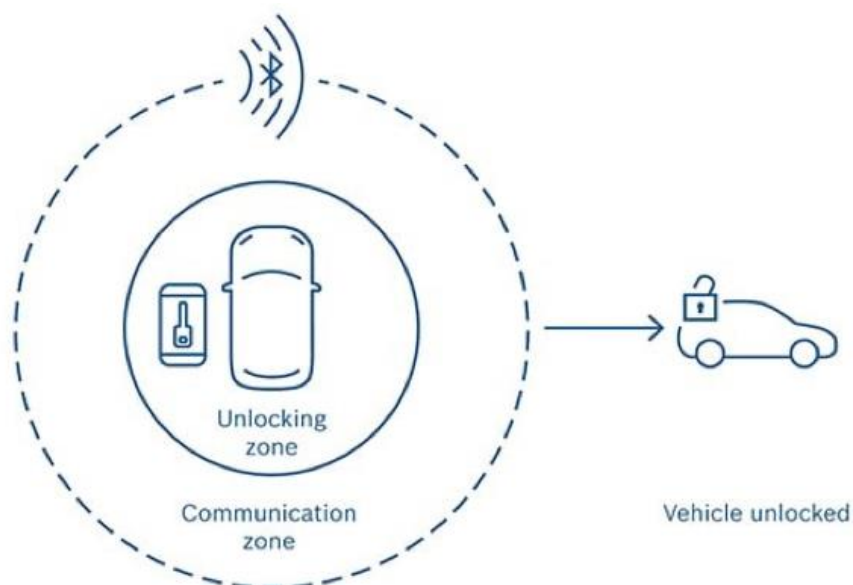
Para realizar a abertura das portas e do porta-malas o modelo utiliza antenas (Figura 28) no carro para detectar a proximidade da chave através da força do sinal (RSSI – Received Signal Strength Indication) do *bluetooth* (BLE) do celular. Quando o usuário se aproxima do veículo e entra na área de conexão, o veículo inicia o pareamento *bluetooth* com o celular. Após o pareamento, o veículo e o *smartphone* se identificam (ReadUUID) e iniciam o processo de autenticação mútua com o comando StartAuthentication. Uma vez autenticado, a porta é destravada (comando UnlockDoors) quando a chave se aproxima da área de destravamento (Figura 29). Essa funcionalidade é similar a que é utilizada no modelo da Bosch (BOSCH, [s.d.]) com o conceito de área de comunicação e de destravamento do veículo.

Figura 28 - Antenas externas



Fonte: Adaptada de Atmel (2012)

Figura 29 - Destravamento

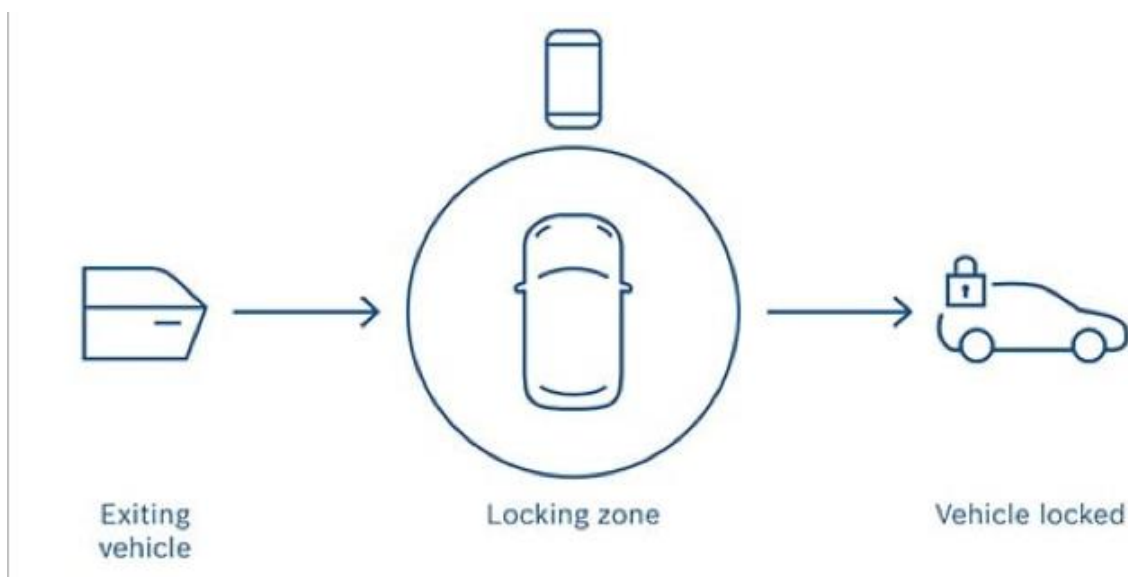


Fonte: Bosch [s.d.]

4.7.4 Travar portas e porta-malas

De maneira oposta ao que ocorre no destravamento, o comando de travamento ocorre quando um celular autenticado sai da zona de travamento do veículo (Figura 30). Os mesmos sensores utilizados para destravar são utilizados para travar na medida que o celular se afasta, a força do sinal diminui e o veículo é travado. Por medida de segurança, caso a conexão seja perdida em algum momento, as portas são travadas automaticamente ou quando o veículo começa a se locomover.

Figura 30 - Travamento

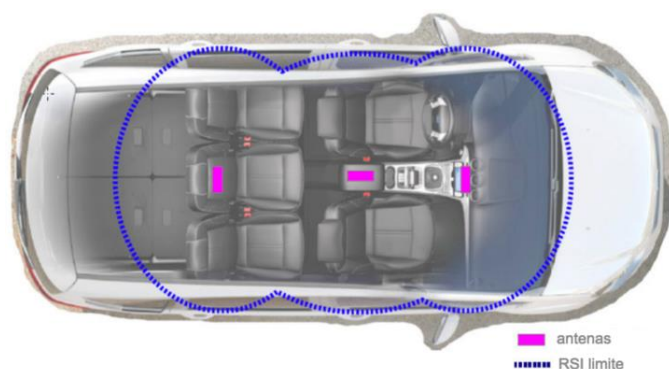


Fonte: Adaptada de Bosch [s.d.]

4.7.5 Ligar o veículo

Para ligar o veículo, o automóvel dispõe de antenas internas que detectam a presença da chave no interior do veículo através da medição da força do sinal bluetooth do celular (Figura 30). Uma vez que essa chave está no interior do veículo e é detectada e o carro inicia o processo de autenticação do motor. Para detectar a presença da chave no interior do automóvel, pode-se utilizar algum algoritmo de localização *indoor* para BLE como, por exemplo, o de Thaljaoui et al. (2015) que obteve um erro médio de 40 centímetros em ambientes de $4m^2$. Após ser autenticado, o motorista precisa acionar o botão start/stop próximo ao volante do automóvel para ligá-lo (Figura 32). Para desligar o automóvel não é necessário estar autenticado.

Figura 31 - Antenas internas



Fonte: Adaptada de Atmel (2012)

Figura 32 - Start/Stop engine

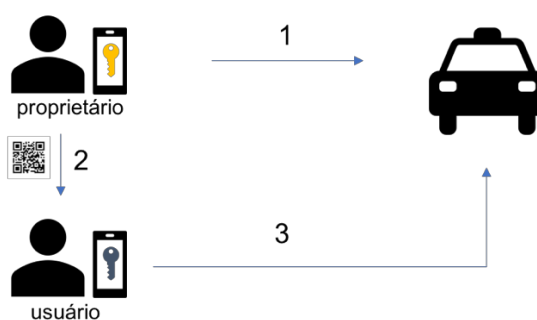


Fonte: O autor (2019)

4.7.6 Compartilhamento de chaves

Para compartilhar uma chave, o proprietário deve estar autenticado e configurar na aplicação *mobile* que tipo de chave será compartilhada (temporária com permissão de compartilhamento com terceiros ou sem permissão de compartilhamento). Essa configuração inclui todas as informações que o QRCode contém descritas na subseção 4.4.1. Após realizar essa configuração, o comando UpdateKey é disparado para inserir a chave temporária no módulo Keys do veículo junto com o Mac Address e o UUID no módulo de *whitelist* (1). Quando o comando UpdateKey for executado com sucesso, a aplicação apresentará um QRCode no aparelho através do KeyShare (2). Então, o usuário que vai receber a chave deverá fazer o escaneamento do QRCode para receber a chave virtual com as informações, e assim poder ser autenticado junto ao veículo proprietário (3).

Figura 33 - Compartilhamento da chave com usuário fisicamente próximo



Fonte: O autor (2019)

4.7.7 Remoção de chaves

Para a remoção de chaves o comando utilizado é o UpdateKey. No caso de uma aquisição de um novo *smartphone*, transferência do carro ou por quaisquer outras necessidades, o usuário poderá remover as chaves virtuais do veículo. Porém, todas

as chaves não podem ser removidas, o veículo tem que manter no mínimo uma chave de proprietário, além da chave da montadora. Para a remoção das chaves, o veículo efetua de tempos em tempos a validação das chaves armazenadas e elimina as que ultrapassaram o prazo estimado. Além disso, antes de cada autenticação, ao ler o UUID da chave virtual o veículo pode remover a chave vencida e finalizar a conexão.

4.8 AUTENTICAÇÃO CIENTE DE CONTEXTO

Um dos principais ataques em PKES é o *relay attack* (FRANCILLON; DANEV; CAPKUN, 2011). Com o objetivo de mitigar esse tipo de ataque, o processo de autenticação do modelo proposto se dá de forma mútua (ou bilateral) e ciente de contexto. A autenticação é considerada mútua porque carro e *smartphone* autenticam um ao outro. Além disso, ela é ciente de contexto porque o celular só participa do processo de autenticação se ele inferir que está próximo ao veículo.

Para inferir que o *smartphone* está próximo ao veículo são necessárias duas informações: qual a última posição do veículo e se o *smartphone* está próximo. Para registrar a última posição do veículo, o celular precisa saber onde o carro foi estacionado desde o último uso. Para isso, as APIs de *smartphones* já contam com serviços que detectam se o usuário se encontra andando, correndo, dirigindo ou andando de bicicleta¹⁸. Esse tipo de informação associada com informações de outros sensores como, por exemplo, o de giroscópio e sensores de localização é possível, por exemplo, inferir que o motorista saiu do automóvel e começou a caminhar. Nesse momento, a posição do veículo é armazenada no celular como sendo a última posição conhecida.

Já para identificar se *smartphone* está próximo ao veículo é necessário usar sensores de localização e calcular se a posição atual é próxima a última posição do veículo. Então, caso o celular identifique que ele está próximo do veículo ele participa do processo de autenticação, caso contrário ele não participa.

Obviamente, o uso de informações contextuais para efetuar a autenticação aumenta a complexidade e tempo gasto para autenticar o usuário, porém como a segurança é o requisito de maior prioridade no modelo proposto, esse passo extra foi adicionado no processo prévio a autenticação.

Nos casos especiais em que o *smartphone* não consegue inferir que o usuário está próximo ao veículo ainda é possível utilizar os comandos UnlockDoors,

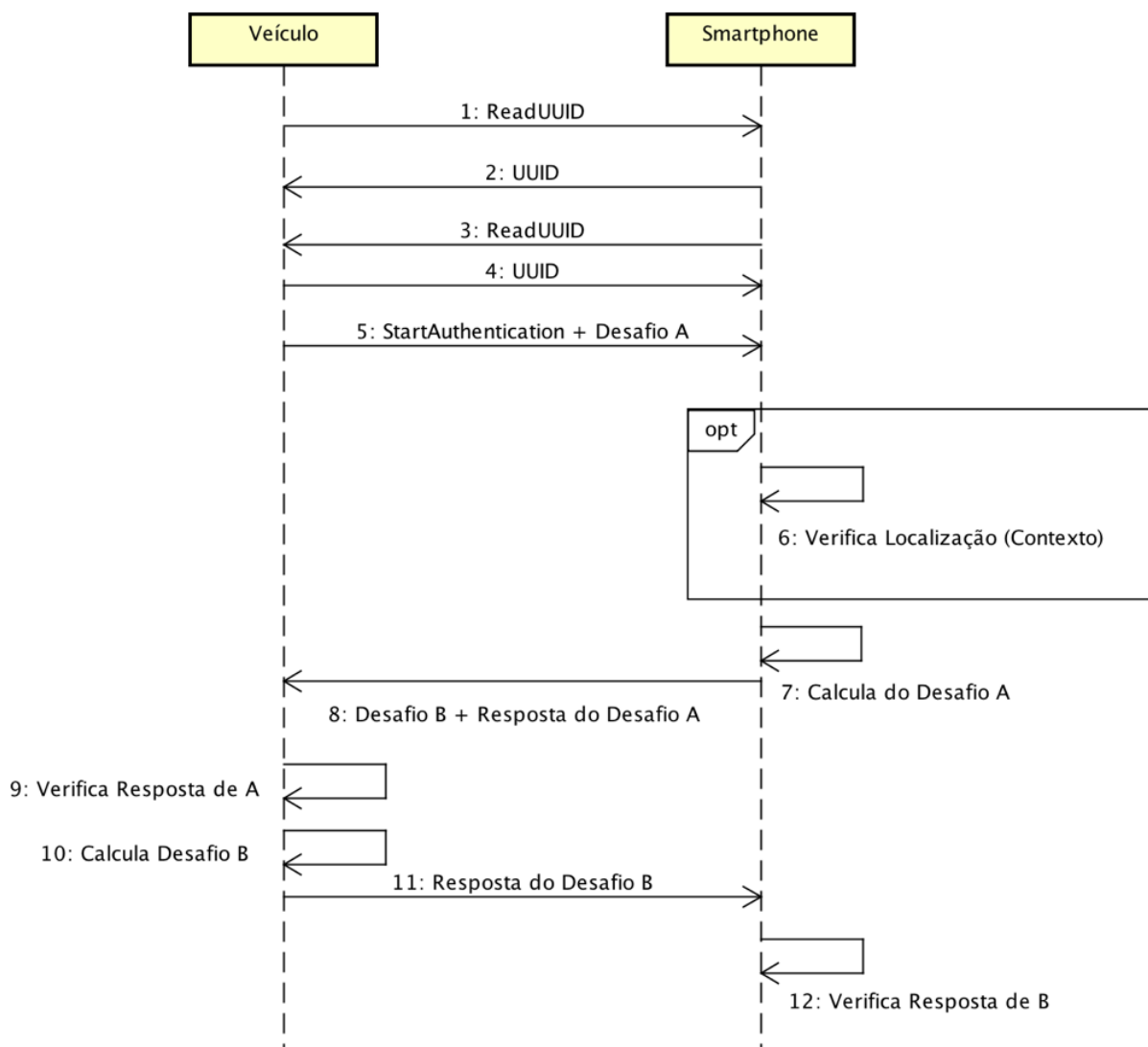
¹⁸ <https://developer.apple.com/documentation/coreml>
<https://developer.android.com/reference/>

LockDoors e OpenTrunk através da *interface* da aplicação e, nesses casos, o módulo de contexto não é acionado durante a autenticação para verificar a localização.

O protocolo de autenticação conforme a Figura 34 ocorre da seguinte forma:

1. O veículo detecta a presença da chave e envia o comando ReadUUID para identificar a chave;
2. O *smartphone* envia o UUID;
3. O *smartphone* envia o comando ReadUUID para identificar o carro;
4. O veículo envia o UUID para o *smartphone*;
(nesse ponto veículo e *smartphone* reconhecem o UUID um do outro)
5. O veículo envia o comando StartAuthentication ao *smartphone*;
6. Caso o *smartphone* esteja ciente de que está próximo ao veículo, ele calcula o desafio A (enviado pelo carro);
7. Em seguida, o *smartphone* envia a resposta ao desafio A, junto com um novo desafio;
8. O veículo verifica a resposta do desafio A;
(nesse momento a chave está autenticada ao automóvel)
9. O veículo calcula o desafio B;
10. O veículo envia a resposta ao desafio B;
11. O *smartphone* verifica a resposta ao desafio B;
(nesse momento o automóvel está autenticado ao *smartphone*)

Figura 34 - Autenticação Ciente de Contexto



Fonte: O autor (2019)

4.9 LIMITAÇÕES DO MODELO

O modelo de PKES proposto tem o foco em segurança e, por isso, apresenta algumas limitações. Esse modelo não considera todos os cenários possíveis dentro do ciclo de vida de um automóvel, como, por exemplo, os veículos corporativos, ou o cenário no qual o celular se encontra descarregado já que não haveria condições de estabelecer uma rede bluetooth sem o aparelho carregado. Além disso, esse modelo é idealizado para veículos particulares com os mais variados custos de produção e não considera que o automóvel disponha de um chip de telefonia móvel no veículo, que é comum em modelos top de linha, como por exemplo veículos da BMW que possuem o ConnectDrive (BMW, [s.d.]). Devido ao fato de focar em segurança, o modelo também não apresentou questões de usabilidade do sistema e custo de implementação, que é um requisito muito importante ao se tratar de uma produção em

escala. Outro ponto de limitação do modelo é o fato dele não ter sido implementado e testado. Essa implementação fica como um trabalho futuro.

4.10 CONSIDERAÇÕES FINAIS

Essa capítulo apresentou um modelo para entrada e partida passivas de veículos com foco em segurança e baseado em uma revisão de literatura. A Seção 4.2 apresentou os requisitos desse modelo, enquanto a Seção 4.3 detalhou o escopo do modelo proposto. Além disso, a Seção 4.4 apresentou a arquitetura do sistema do ponto de vista do veículo e da aplicação mobile. Já o protocolo de comunicação utilizado no modelo foi apresentado na Seção 4.5 e as funções na Seção 4.6. Na seção 4.7, foi apresentada a autenticação ciente de contexto. Por último, as limitações do modelo foram analisadas na Seção 4.8.

5 CONCLUSÃO

O último capítulo deste trabalho apresenta as considerações finais, os resultados obtidos relacionados com os objetivos iniciais da pesquisa, as possibilidades para realização de trabalhos futuros e as considerações finais do trabalho.

Com o avanço da tecnologia e a busca por comodidade, a presença de sistema de PKES tem se tornado cada vez mais comum nos veículos, inclusive nos de baixo custo. Porém, os sistemas existentes ainda apresentam diversas falhas de segurança tornando os veículos suscetíveis a roubos, o que causa prejuízo aos proprietários e montadoras.

Nesta dissertação teve-se como objetivos principais: apresentar o que vem sendo feito e estudado a respeito de controle de acesso e partida em veículos e apresentar um modelo PKES em veículos baseado em *smartphones* e com foco em segurança.

Diante de tais objetivos, as conclusões finais dessa dissertação são discutidas, são sugeridos possíveis trabalhos futuros para dar continuidade à pesquisa, bem como são apresentadas as principais limitações da pesquisa realizada.

5.1 CONTRIBUIÇÕES

As principais contribuições deste trabalho são a revisão da literatura e a proposta de um PKES que considera importantes requisitos de segurança para facilidade cada vez mais presente nos veículos atuais. A revisão sumariza o que vem sendo pesquisado pela indústria e comunidade científica a respeito de entrada e partida sem chaves. Além disso, a revisão serve como ponto de partida para novos estudos na área.

Já o modelo proposto vai ao encontro da tendência dos últimos tempos que é o uso do *smartphone* como chave virtual do veículo. Além disso, a arquitetura proposta é baseada no que já existe na literatura como, por exemplo, o uso de *bluetooth low energy* e o algoritmo AES, não se limitando ao uso dessas tecnologias caso algoritmos mais robustos venham a surgir ou novas tecnologias se sobreponham ao *bluetooth*.

O modelo proposto também faz o uso de ciência de contexto durante o processo de autenticação. O uso de informação contextual tem como principal objetivo tornar o sistema seguro ao *replay attack*.

5.2 TRABALHOS FUTUROS

De acordo com os resultados obtidos, pode-se esperar como uma continuação deste trabalho a implementação do modelo e a execução de testes de segurança para melhor avaliar o modelo proposto. Além disso, pode-se considerar como trabalho futuro o compartilhamento de chaves virtuais através da Internet e considerar cenários de carros corporativos, de locadoras e sistemas de compartilhamento de veículos. Outro aspecto possível a ser analisado como trabalho futuro é tornar o sistema ciente de contexto para criação de chaves temporárias. Além desses pontos, aspectos funcionais como, por exemplo, desempenho e usabilidade do sistema proposto também podem ser analisados em trabalhos futuros, bem como a comparação modelo proposto com outras soluções.

5.3 LIMITAÇÕES DO ESTUDO

Esse trabalho limitou-se a realizar uma revisão da literatura e a proposta de um modelo de controle de acesso e partida sem chaves para veículos. Não foi objeto de estudo apresentar detalhadamente todos as vulnerabilidades e ataques para cada sistema analisado na revisão da literatura, mas foi possível apresentá-los e, a partir disso, elaborar o modelo proposto.

O modelo focou, principalmente, em aspectos de segurança e parte dos cenários para controle de acesso e partida em veículos particulares. Esse modelo teve como objetivo abranger os principais cenários existentes para o uso de automóveis particulares e desconsiderou cenários de frota de veículos corporativos, sistemas de compartilhamento de veículos e locação de veículos, além do celular descarregado. Além disso, ele limitou-se a um modelo teórico baseado no que já existe na literatura, não havendo, portanto, uma implementação e testes de segurança para o sistema aqui proposto.

5.4 CONSIDERAÇÕES FINAIS

A necessidade de sistemas seguros de controle de acesso e partida em veículos é notória. Os trabalhos publicados pela comunidade científica e as matérias da mídia somados às estatísticas sobre roubos de veículos evidenciam que os PKES ainda precisam evoluir para ser considerados seguros.

Então, a fim de evitar prejuízos tanto por parte das montadoras como dos donos de veículos, é fundamental o investimento em sistemas que utilizem algoritmos de criptografia testados pela comunidade científica com chaves maiores e protocolos confiáveis, como o apresentado no modelo proposto. O sistema proposto aponta uma possibilidade para a criação de sistemas de PKES mais seguros.

REFERÊNCIAS

AL-MUHTADI, J. et al. Cerberus: a context-aware security scheme for smart spaces. In: PROCEEDINGS OF THE FIRST IEEE INTERNATIONAL CONFERENCE ON PERVASIVE COMPUTING AND COMMUNICATIONS, 2003. (PERCOM 2003).

AL-SARAWI, Shadi et al. Internet of Things (IoT) communication protocols: Review. In: 2017 8TH INTERNATIONAL CONFERENCE ON INFORMATION TECHNOLOGY (ICIT) 2017.

AS/NZS. **AS/NZS 4601:1999 - Vehicle immobilizers**. Disponível em: <<https://www.saiglobal.com/PDFTemp/Previews/OSH/as/as4000/4600/4601.pdf>>. Acesso em: 5 jul. 2018.

ATMEL. **Atmel ATA5580 - The AES 125kHz Transponder with Open Immobilizer Software Stack**. 2012. Disponível em: <<https://www.mouser.com/ds/2/36/doc9254-33290.pdf>>. Acesso em: 5 jul. 2018.

BARDRAM, Jakob E.; KJÆR, Rasmus E.; PEDERSEN, Michael Ø. Context-Aware User Authentication – Supporting Proximity-Based Login in Pervasive Computing. In: [s.l: s.n.]. p. 107–123.

BARKER, Elaine B.; DANG, Quynh H. Recommendation for Key Management Part 3: Application-Specific Key Management Guidance. **NIST Special Publication 800-57**, [s. l.], p. 1–142, 2015. Disponível em: <<https://nvlpubs.nist.gov/nistpubs/SpecialPublications/NIST.SP.800-57Pt3r1.pdf>>

BENADJILA, Ryad et al. One Car , Two Frames : Attacks on Hitag-2 Remote Keyless Entry Systems Revisited. In: USENIX WOOTs 2017.

BLUETOOTH SPECIAL INTEREST GROUP (SIG). **Bluetooth Core Specification Version 5.0** 2016.

BMW. **BMW Connect Drive Services**. [s.d.]. Disponível em: <<https://www.bmw.ie/en/topics/owners/for-owners/connecteddrive-forusers/connecteddrive-info.html>>. Acesso em: 6 jun. 2018.

BOGDANOV, Andrey. Cryptanalysis of the KeeLoq block cipher. **IACR Cryptology ePrint Archive**, [s. l.], v. 2007, p. 55, 2007. Disponível em: <<https://pdfs.semanticscholar.org/b945/3b128260f92d77450c0a6b7b018029b58ac4.pdf>><<http://dblp.uni-trier.de/db/journals/iacr/iacr2007.html#Bogdanov07>>

BONO, Stephen et al. Security Analysis of a Cryptographically-Enabled RFID Device. In: 14TH USENIX SECURITY SYMPOSIUM 2005, Berkeley, CA, USA. USENIX Association, 2005.

BORGIA, Eleonora. **The internet of things vision: Key features, applications and open issues** *Computer Communications*, 2014.

BORST, Johan; PRENEEL, Bart; VANDEWALLE, Joos. On the time-memory tradeoff between exhaustive key search and table precomputation. In: SYMPOSIUM ON INFORMATION THEORY IN THE BENELUX 1998.

BOSCH. **Perfectly keyless**. [s.d.]. Disponível em: <<https://www.bosch-mobility-solutions.com/en/products-and-services/mobility-services/perfectly-keyless/>>. Acesso em: 1 jul. 2018.

BOUKERCHE, Azzedine; NAKAMURA, Eduardo. Localization systems for wireless sensor networks. **IEEE Wireless Communications**, [s. l.], v. 14, n. 6, p. 6–12, 2007. Disponível em: <<http://ieeexplore.ieee.org/document/4407221/>>

BUDGEN, David; BRERETON, Pearl. **Performing systematic literature reviews in software engineering** *Proceeding of the 28th international conference on Software engineering - ICSE '06*.

CARATTO, D.; PIAZANNO, C.; GINEVRO, S. **System for passive entry and passive start for a motor vehicle**, US9045102B2, 2015.

CHAI, S.; AN, R.; DU, Z. An Indoor Positioning Algorithm Using Bluetooth Low Energy RSSI. **Amsee**, p. 276–278, 2016.

CHIH-NENG, Liang; HUANG-BIN, Huang; BO-CHIUAN, Chen. Fingerprint Identification Keyless Entry System. **Proceedings of World Academy of Science: Engineering & Technology**, [s. l.], v. 46, p. 44–49, 2008.

CNET. **Apple, Audi, BMW agree on standard for using smartphones as car keys**. 2018. Disponível em: <<https://www.cnet.com/roadshow/news/2018-car-connectivity-consortium-smartphone-car-keys-bmw-audi-apple-samsung/>>. Acesso em: 9 jul. 2018.

CONTINENTAL. **No Title**. [s.d.]. Disponível em: <<http://continental-carkey.com/>>. Acesso em: 1 jul. 2018.

COURTOIS, Nicolas T. Fast Algebraic Attacks on Stream Ciphers with Linear Feedback. In: **CRYPTO 2003: Advances in Cryptology** v. 2729p. 176–194.

COURTOIS, Nicolas T.; O'NEIL, Sean; QUISQUATER, Jean Jacques. Practical algebraic attacks on the hitag2 stream cipher. In: SAMARATI, Pierangela et al. (Eds.). **Lecture Notes in Computer Science (including subseries Lecture Notes in Artificial Intelligence and Lecture Notes in Bioinformatics)**. Berlin, Heidelberg: Springer Berlin Heidelberg, 2009. v. 5735 LNCSp. 167–176.

COVINGTON, Michael J. et al. A context-aware security architecture for emerging applications. In: PROCEEDINGS - ANNUAL COMPUTER SECURITY APPLICATIONS CONFERENCE, ACSAC 2002,

DEY, Anind K. Understanding and using context. **Personal and Ubiquitous Computing**, [s. l.], v. 5, n. 1, p. 4–7, 2001.

EC. **Commission Directive 95/56/EC of 8 November 1995 adapting to technical progress Council Directive 74/61/EEC relating to devices to prevent the unauthorized use of motor vehicles**.

ECKERMANN, E. **World History Of The Automobile**. Society of Automotive Engineers, 2001.

EISENBARTH, Thomas et al. On the power of power analysis in the real world: A

complete break of the KeeLoq code hopping scheme. In: LECTURE NOTES IN COMPUTER SCIENCE (INCLUDING SUBSERIES LECTURE NOTES IN ARTIFICIAL INTELLIGENCE AND LECTURE NOTES IN BIOINFORMATICS) 2008.

FISHER, Bill et al. Attribute Based Attribute Based - Approach, Architecture, and Security Characteristics. **Nist Special Publication 1800**, 2016.

FRANCILLON, Aurelien; DANEV, Boris; CAPKUN, Srdjan. Relay Attacks on Passive Keyless Entry and Start Systems in Modern Cars. **Network and Distributed System Security Symposium**, p. 431–439, 2011.

GARCIA, Flavio D. et al. Lock It and Still Lose It—On the (In)Security of Automotive Remote Keyless Entry Systems. **Proceedings of the 25th USENIX Security Symposium**, p. 929–944, 2016.

GOMEZ, Carles; OLLER, Joaquim; PARADELLS, Josep. Overview and evaluation of bluetooth low energy: An emerging low-power wireless technology. **Sensors (Switzerland)**, v. 12, n. 9, p. 11734–11753, 2012.

GUARD, Bloodspear Laboratories; Nexus. Universal DDoS Mitigation Bypass. **Black Hat USA 2013**, 2013.

IATROU, Dimitrios. **Context Aware Access Control**. 2017. Dinamarca: Dissertação de Mestrado - Technical University of Denmark, 2017.

INDESTEEGE, S. et al. A practical attack on KeeLoq. **Eurocrypt 2008**, p. 1–18, 2008.

JALALI, Samireh; WOHLIN, Claes. Systematic literature studies. In: PROCEEDINGS OF THE ACM-IEEE INTERNATIONAL SYMPOSIUM ON EMPIRICAL SOFTWARE ENGINEERING AND MEASUREMENT - ESEM '12 2012.

JIANYONG, Zhu et al. RSSI based Bluetooth low energy indoor positioning. In: IPIN 2014 - 2014 INTERNATIONAL CONFERENCE ON INDOOR POSITIONING AND INDOOR NAVIGATION 2014.

KALBANDHE, Ankush A.; PATIL, Shailaja. C. Indoor Positioning System using Bluetooth Low Energy. In: 2016 INTERNATIONAL CONFERENCE ON COMPUTING, ANALYTICS AND SECURITY TRENDS (CAST) 2016.

LUO, Yi; NANTZ, John. **Vehicle control system to prevent relay attack**, US9963109B2, 2018.

MALAGÓN, Pedro et al. Bitslice software implementation of KeeLoq as a side-channel countermeasure. In: PROCEEDINGS OF THE WESS'15: WORKSHOP ON EMBEDDED SYSTEMS SECURITY - WESS'15 2015, New York, NY, USA. ACM, 2015.

MIYAZAWA, Akira. **Keyless entry apparatus**, US9600948B2, 2017.

OKEYA, Katsuyuki; SAKURAI, Kouichi. On Insecurity of the Side Channel Attack Countermeasure Using Addition-Subtraction Chains under Distinguishability between Addition and Doubling. *Information and Security Privacy*, p. 420–435, 2002.

PAAR, Christof et al. KeeLoq and side-channel analysis - Evolution of an attack. **Fault**

Diagnosis and Tolerance in Cryptography - Proceedings of the 6th International Workshop, FDTC 2009, [s. l.], p. 65–69, 2009.

POLLITT, Mark M. An ad hoc review of digital forensic models. In: PROCEEDINGS - SADFE 2007: SECOND INTERNATIONAL WORKSHOP ON SYSTEMATIC APPROACHES TO DIGITAL FORENSIC ENGINEERING 2007.

ROBLING DENING, D. E. (1982). **Cryptography and Data Security**. Addison-Wesley Longman Publishing Co., Inc., Boston, MA, USA

SADOWSKI, Sebastian; SPACHOS, Petros. RSSI-Based Indoor Localization with the Internet of Things. **IEEE Access**, v. 6, p. 30149–30161, 2018.

SCC. **CAN/ULC-S338-98-R2018 - Standard for Automobile Theft Deterrent Equipment and Systems: Electronic Immobilization**.

SEIBERTS, Klaus; CHILDERS, Jim. **Relay attack prevention for passive entry/passive start systems**, US9102296B2, 2015.

SHEETRIT, Idan; WOOL, Avishai. Cryptanalysis of KeeLoq code-hopping using a Single FPGA. **Cryptology ePrint Archive, Report 2011**, v. 2011, n. 242, p. 15, 2011.

SIMMONS, Gustavus J. Symmetric and Asymmetric Encryption. **ACM Computing Surveys**, v. 11, n. 4, p. 305–330, 1979.

SOOS, Mate; NOHL, Karsten; CASTELLUCCIA, Claude. Extending SAT solvers to cryptographic problems. In: LECTURE NOTES IN COMPUTER SCIENCE (INCLUDING SUBSERIES LECTURE NOTES IN ARTIFICIAL INTELLIGENCE AND LECTURE NOTES IN BIOINFORMATICS), 2009.

ŠTEMBERA, Petr; NOVOTNÝ, Martin. Breaking Hitag2 with reconfigurable hardware. In: PROCEEDINGS - 2011 14TH EUROMICRO CONFERENCE ON DIGITAL SYSTEM DESIGN: ARCHITECTURES, METHODS AND TOOLS, DSD, 2011.

SUN, Siwei et al. Cube cryptanalysis of Hitag2 stream cipher. In: LECTURE NOTES IN COMPUTER SCIENCE (INCLUDING SUBSERIES LECTURE NOTES IN ARTIFICIAL INTELLIGENCE AND LECTURE NOTES IN BIOINFORMATICS) 2011, Berlin, Heidelberg.

THALJAOU, Adel et al. BLE localization using RSSI measurements and iRingLA. In: PROCEEDINGS OF THE IEEE INTERNATIONAL CONFERENCE ON INDUSTRIAL TECHNOLOGY, 2015.

TILLICH, Stefan; WÓJCIK, Marcin. Security analysis of an open car immobilizer protocol stack. In: LECTURE NOTES IN COMPUTER SCIENCE (INCLUDING SUBSERIES LECTURE NOTES IN ARTIFICIAL INTELLIGENCE AND LECTURE NOTES IN BIOINFORMATICS), 2012.

TRUONG, Hien Thi Thu et al. Using contextual co-presence to strengthen Zero-Interaction Authentication: Design, integration and usability. In: PERVASIVE AND MOBILE COMPUTING 2015.

VERDULT, Roel; GARCIA, D. Flavio; BALASCH, Josep. Gone in 360 Seconds: Hijacking with Hitag2. **Presented as part of the 21st USENIX Security Symposium**

(**USENIX Security 12**), p. 237–252, 2012.

VERDULT, Roel; GARCIA, Flavio D. Cryptanalysis of the Megamos Crypto. **USENIX ;login:**, v. 40, n. 6, p. 17–22, 2015.

WANG, Xiaoyun; YU, Hongbo. How to Break MD5 and Other Hash Functions. **Supplement to the 22nd USENIX Security Symposium (USENIX Security 13)**, [s. l.], p. 19–35, 2005.

WANG, Xiaoyun; YU, Hongbo. How to Break MD5 and Other Hash Functions. In: **SUPPLEMENT TO THE 22ND USENIX SECURITY SYMPOSIUM (USENIX SECURITY 13) 2005**.

WANG, Yankai et al. **Indoor Positioning System Using Euclidean Distance Correction Algorithm with Bluetooth Low Energy Beacon** **2016 International Conference on Internet of Things and Applications (IOTA)**, 2016.

WELCH, D.; LATHROP, S. Wireless security threat taxonomy. **IEEE Systems, Man and Cybernetics Society Information Assurance Workshop, 2003.**, n. June, p. 76–83, 2003.

WOHLIN, Claes. Guidelines for snowballing in systematic literature studies and a replication in software engineering. In: **PROCEEDINGS OF THE 18TH INTERNATIONAL CONFERENCE ON EVALUATION AND ASSESSMENT IN SOFTWARE ENGINEERING - EASE '14 2014**.

WOOD, Anthony D.; STANKOVIC, John A. A Taxonomy for Denial-of-Service Attacks in Wireless Sensor Networks. **Handbook of Sensor Networks: Compact Wireless and Wired Sensing Systems (2004)**, [s. l.], p. 739–763, 2004.

XU, Wenyan et al. Jamming sensor networks: Attack and defense strategies. **IEEE Network**, [s. l.], v. 20, n. 3, p. 41–47, 2006.

YUAN, Eric; TONG, Jin. Attributed Based Access Control (ABAC) for web services. In: **PROCEEDINGS - 2005 IEEE INTERNATIONAL CONFERENCE ON WEB SERVICES, ICWS, 2005**.

APÊNDICE A – REVISÃO DE PATENTES

| Título | Autor(es) | Proprietário | Identificador | Ano |
|--|--|--|-------------------|------|
| Access and driver authentication system with increased security against relay attacks using movement sensor technology integrated into the authentication tool | Weghaus Ludger | Hella Kga Hueck & Co. | US-9988017- B2 | 2018 |
| Accessing a vehicle using portable devices | Brian J. Tucker, Emily C. Schubert, Jesse L. Dorogusker, Joakim Linde, Stephen Chick | Apple Inc. | US-8947202- B2 | 2015 |
| Accessory control with geofencing | Sylvain Louboutin | Apple Inc. | US-8868254- B2 | 2014 |
| Aftermarket sound activated wireless vehicle door unlocker | John Clinton Kolar | John Clinton Kolar | US-8947203- B2 | 2015 |
| Alternate backup entry for vehicles | Venkatesh Krishnan | Ford Global Technologies , Llc | US-9518408- B1 | 2016 |
| Anti-theft system for a vehicle, and method for the operation of an anti-theft system | Thomas Georgi, Roland Wagner | Continental Automotive GmbH | US-8150563- B2 | 2012 |
| Antitheft system for vehicle | Naoto Yamamoto, Hideaki Arai | Honda Motor Co., Ltd. | US-8299891- B2 | 2012 |
| Apparatus and method for dual range detection in a vehicle | Stephen Humphrey, Riad Ghabra, Matthew Ryan Honkanen, Ronald O. King | Lear Corporation | US-9902369- B2 | 2018 |
| Apparatus, system and method for dynamic identification and key management for vehicle access | Heiko Maiwand, Martin Roehder, Payton White, Jaime Camhi | Volkswagen Aktiengesells chaft, Audi Ag | US-9865113- B2 | 2018 |
| Apparatus, system and method for dynamic identification for vehicle access | Heiko Maiwand, Martin Roehder, Payton White, Jaime Camhi | Volkswagen Aktiengesells chaft, Audi Ag | US-9865112- B2 | 2018 |
| Apparatus, system and method for vehicle access and function control utilizing a portable device | Heiko Maiwand, Martin Roehder, | Volkswagen Aktiengesells chaft, Audi Ag | US-9870665- B2 | 2018 |

| | | | | |
|--|---|---|----------------|------|
| | Payton White, Jaime Camhi | | | |
| Apparatus, system and method for vehicle access and function control utilizing a portable device | Heiko Maiwand, Martin Roehder, Payton White, Jaime Camhi | Volkswagen Aktiengesellschaft, Audi Ag | US-9902368-B2 | 2018 |
| Apparatus, system and method for vehicle authentication management and reporting | Dominic WINKELMAN | Volkswagen Ag, Audi Ag | US-9305412-B2 | 2016 |
| Automatic locking failsafe for vehicles with passive keys | Christopher M. Kurpinski, Thomas J. Keeling, Justin P. McBride, Toshihiro T. Wakamatsu, Michael A. Wiegand | Denso International America, Inc. | US-7683764-B2 | 2010 |
| Buttonless vehicle key having gesture recognition | Rainer Mittermeier | Bayerische Motoren Werke Aktiengesellschaft | US-9346470-B2 | 2016 |
| Car control method of electronic apparatus and electronic apparatus thereof | Jeong WOO, Jae Il AN, Jae-young Shin, Sehwan Choi, Hyun-Ju HONG | Samsung Electronics Co., Ltd. | US-10083555-B2 | 2018 |
| Car management system and method | Hyun-woo Lee | Hyundai Motor Company | US-9911255-B2 | 2018 |
| Chauffeur function thumbprint lock and ignition systems | David Wooding | David Wooding | US-8892272-B1 | 2014 |
| Control system and control method for vehicle anti-theft | Chien-Yu Yeh, Po-Hsien Liu | Hon Hai Precision Industry Co., Ltd. | US-9669800-B2 | 2017 |
| Control system and control method for vehicle anti-theft | Po-Hsien Liu, Yu-Wen Chen | Hon Hau Precision Industry Co., Ltd. | US-9449447-B2 | 2016 |
| Detection and protection against jam intercept and replay attacks | Allen R. MURRAY, Oliver Lei | Ford Global Technologies, Llc | US-10043329-B2 | 2018 |
| Distance determination and authentication of a remote control key to a vehicle | Alexander TSCHACHE | Volkswagen Ag | US-9911262-B2 | 2018 |

| | | | | |
|--|--|--|---------------|------|
| Door courtesy switch abnormality detection apparatus and method | Masachika Kamiya | Toyota Jidosha Kabushiki Kaisha | US-9076274-B2 | 2015 |
| Door unlocking system | Kazutaka Naitou | Autonetworks Technologies, Ltd., Sumitomo Wiring Systems, Ltd., Sumitomo Electric Industries, Ltd. | US-9783160-B2 | 2017 |
| Door unlocking system and door unlocking method | Ikuhei KIMURA, Makoto YASUTAKE | Murata Manufacturing Co., Ltd. | US-9997000-B2 | 2018 |
| Dual purpose wireless device, wherein vehicle controls depend on device location | Michel F. Sultan, Todd P. Oman, Dale L. Partin, Paul J. Ainslie | Delphi Technologies, Inc. | US-8421589-B2 | 2013 |
| Duplication means for an electronically coded key and related method | David REBULI | Keyline S.P.A. | US-8750510-B2 | 2014 |
| Electronic communication module for locking/unlocking a movable panel of a motor vehicle, associated control central processing unit, and hands-free access system | Eric Leconte | Valeo Securite Habitacle | US-9996994-B2 | 2018 |
| Electronic key system | Carlos TERCERO | Denso Corporation | US-9919679-B2 | 2018 |
| Gesture controls for remote vehicle access systems | Robert J. Campbell, Yipeng Tang, Mansour Ashtiani, Khalid Kamal, Lynn D Da Deppo | Huf North America Automotive Parts Manufacturing, Corp. | US-9646436-B1 | 2017 |
| Hands free access system for a vehicle closure | Rini Sherony | Toyota Motor Engineering & Manufacturing North America, Inc. | US-9598049-B2 | 2017 |

| | | | | |
|---|---|--|----------------|------|
| ID-based control unit-key fob pairing | Jin-Meng Ho, Eric Peeters | Texas Instruments Incorporated | US-9516500-B2 | 2016 |
| In-vehicle device controller | Kazuhiro Nakashima, Arinobu Kimura, Hiroki Okada, Hiroko Murakami | Denso Corporation, Toyota Jidosha Kabushiki Kaisha | US-8860550-B2 | 2014 |
| Integrated immobilizer fob pairing | Emmanuel Enrique Lopez | Secured Mobility, Llc | US-9454860-B2 | 2016 |
| Intelligent access system and method for a vehicle | Vivek Jain, Maurizio Bocca, Huang Lee, Christoph Lang, Abtin Keshavarzian | Robert Bosch GmbH | US-10083556-B1 | 2018 |
| Intermediary access device for communication with a vehicle | Hans-Peter Fischer, Timothy Barrett, Andreas KASPRZOK, Keith Payne, Johannes Michael ZAHN | Bayerische Motoren Werke Aktiengesellschaft | US-10062223-B2 | 2018 |
| Key fob challenge request masking base station | John Robert Van Wiemeersch, Joey Ray Grover, Scott Smereka, Justin Dickow | Livio, Inc. | US-9940764-B2 | 2018 |
| Key fob security copy to a mobile phone | David Anthony Hatton | Ford Global Technologies, Llc | US-9002536-B2 | 2015 |
| Keyfob proximity theft notification | Christopher L. Oesterling | GM Global Technology Operations LLC | US-8638202-B2 | 2014 |
| Keyless entry apparatus | Akira Miyazawa | Alps Electric Co., Ltd. | US-9600948-B2 | 2017 |
| Keyless entry device | Akira Miyazawa | Alps Electric Co., Ltd. | US-9342938-B2 | 2016 |
| Keyless entry device | Akira Miyazawa | Alps Electric Co., Ltd. | US-9849860-B2 | 2017 |
| Keyless entry device of vehicle | Yoshio Sampei | Alps Electric Co., Ltd. | US-8400262-B2 | 2013 |
| Keyless entry system | Akira Miyazawa | Alps Electric Co., Ltd. | US-9260079-B2 | 2016 |

| | | | | |
|--|---|---|--------------------|------|
| Keyless entry system | Junya YASUI, Akira Miyazawa | Alps Electric Co., Ltd | US-9424698- B2 | 2016 |
| Keyless entry system | Katsuhiro SEINO | Alps Electric Co., Ltd. | US-9378603- B2 | 2016 |
| Keyless entry system | Satoshi Nakajima, Satoshi Hayasaka | Alps Electric Co., Ltd. | US-8044771- B2 | 2011 |
| Keyless entry system | Yuuto Kameyama, Tomoyuki Funayama, Shoji Kakinuma | Denso Corporation, Toyota Jidosha Kabushiki Kaisha | US-9299205- B2 | 2016 |
| Keyless entry system and vehicle-mounted device | Akira Miyazawa | Alps Electric Co., Ltd. | US-9919680- B2 | 2018 |
| Keyless vehicle systems | Venkatesh Krishnan | Ford Global Technologies , Llc | US-9725069- B2 | 2017 |
| Lock control method requiring activation by a first channel and authorization by a second different channel | Justin Wang | Leadot Innovation, Inc. | US-9697662- B2 | 2017 |
| Lock-unlock system for vehicle | Shigeki Nishiyama, Tomoyuki Funayama | Toyota Jidosha Kabushiki Kaisha | US-9672675- B1 | 2017 |
| Low latency inside/outside determination for portable transmitter | Riad Ghabra, Nikolay Yakovenko, Hilton W. Girard | Lear Corporation | US-8427289- B2 | 2013 |
| Memory management for fleet operation of PEPS vehicles | David T. Proefke, Ron Y. Asmar, Thomas E. Utter, Aaron P. Creguer | GM Global Technology Operations LLC | US-9728018- B2 | 2017 |
| Method and apparatus for digital temporary vehicle key utilization | Vijayababu Jayaraman, Ali Mohamad Suleiman, Karl Nathan Clark, Mohamad Nasser, John Naum Vangelov | Ford Global Technologies , Llc | US-9688247- B1 | 2017 |
| Method and apparatus for implementing multi-vendor rolling code keyless entry systems | Daniel Charles Johnson, Michael Calvin | Ikeyless, Llc | US- 10115255-B2 | 2018 |

| | | | | |
|---|---|--|-------------------|------|
| | McCoy, Daniel Patrick Bowen | | | |
| Method and apparatus for providing vehicle security | Jason Aurele Soroko | Entrust, Inc. | US-9767627- B2 | 2017 |
| Method and device for managing access control | Johannes Ullmann | Evva Sicherheitste chnologie GmbH | US-8635462- B2 | 2014 |
| Method and system for a key fob base station enabling remote car access using a nomadic device | Jacob R. Sigal, Joey Ray Grover, Michael Burke, Scott Smereka, Joel J. Fischer | Livio, Inc. | US-9754431- B2 | 2017 |
| Method and system for access control | Jorge Clemente, Thomas Schlechter, Reinhard Surkau | Skidata Ag | US-9715773- B2 | 2017 |
| Method and system for authenticating vehicle equipped with passive keyless system | Ron Y. Asmar, David T. Proefke, Charles J. Bongiorno, Aaron P. Creguer | GM Global Technology Operations LLC | US-9710983- B2 | 2017 |
| Method and system for detecting proximity of an end device to a vehicle based on signal strength information received over a bluetooth low energy (BLE) advertising channel | Neeraj R. Gautama, Amanda J. Kalhous, Robert A. Hrabak, Norman J. Weigert | GM Global Technology Operations LLC | US-9008917- B2 | 2015 |
| Method and system for remote access control | Nikolas Bergerhoff, Ritesh Ahuja, Adrian Radu, Tejas Desai, Herbert Froitzheim, Yao Zhai, Robert Obermaier | Continental Intelligent Transportatio n Systems, LLC | US-9852563- B2 | 2017 |
| Method and system for secure and authorized communication between a vehicle and wireless communication devices or key fobs | Neeraj R. Gautama, Amanda J. Kalhous, Shaun S. Marshall, | GM Global Technology Operations LLC | US-9218700- B2 | 2015 |

| | | | | |
|--|---|--|----------------|------|
| | Kenneth L. Peirce | | | |
| Method for controlling a door of a vehicle | Stefan Hermann | Continental Automotive Gmbh | US-8935052-B2 | 2015 |
| Method for determining the location of a remote transmitter positioned near a vehicle | Daniel Kornek, Ewen James Christopher | Robert Bosch (Australia) Pty Ltd | US-9694787-B2 | 2017 |
| Method for operating an authorization device for a keyless access to and start of a vehicle | Ingo Ledendecker | Audi Ag | US-9002540-B2 | 2015 |
| Method for performing authentication and electronic device thereof | Moon-Su CHANG, Yang-Soo Lee, Joo-Yeon Lee, Dong-Hyun YEOM | Samsung Electronics Co., Ltd. | US-9865107-B2 | 2018 |
| Method for processing a presence signal in a hands-free vehicle access system having capacitive sensors | Bachir Ayeva, Thierry BELLEZA, Isabelle VERDON | Continental Automotive France, Continental Automotive Gmbh | US-9406179-B2 | 2016 |
| Method for protecting a hands-free access and/or starting system of a vehicle by modifying the speed of signal reception | Alain Brillon, Isabelle VERDON | Continental Automotive France, Continental Automotive Gmbh | US-9430889-B2 | 2016 |
| Method of automatically unlocking an opening member of a motor vehicle for a hands-free system, and device for implementing the method | Frederic Giraud, Eric Menard, Joel Senpauroca | Valeo Securite Habitable | US-8717429-B2 | 2014 |
| Method to facilitate communication between a lock and a key | Zubair Mohammad, John Draper, Stefan Ferber | Robert Bosch Gmbh | US-10055920-B2 | 2018 |
| Method, system, and computer program product for establishing a temporary remote control association between a mobile device and a peripheral device | James Mills, Mario Sorce, David Wong | Kaba Ilco Inc. | US-9922480-B2 | 2018 |
| Method, system, and computer-readable medium relating to internet of things-enabled remote controls | Kyu Han Chong | Kyu Han Chong | US-9779571-B2 | 2017 |
| Mobile control node system and method for vehicles | Hasib HASSAN, Devendra | Magna Electronics, Inc. | US-8373581-B2 | 2013 |

| | | | | |
|--|--|---|-------------------|------|
| | Bajpai, Uri Levy | | | |
| Mobile device and key fob pairing for multi-factor security | Steven Birkel, Rita Wouhaybi, Tobias Kohlenberg, Stanley Mo, Joni D. Stutman | Intel Corporation | US-8933778- B2 | 2015 |
| Mobile device for vehicle | Satoshi Nakajima, Satoshi Hayasaka, Masaki Sato, Jun Takahashi | Alps Electric Co., Ltd. | US-8232863- B2 | 2012 |
| Mobile identification transmitter which can be set to a normal state and a secure state | Alexander Geldmacher | Huf Hulsbeck & Furst GmbH & Co. Kg | US-8972078- B2 | 2015 |
| Movement history assurance for secure passive keyless entry and start systems | Zoran Zivkovic, Jan René Brands, Frank Harald Erich Ho Chung LEONG, Stefan Drude | Nxp B.V. | US-8976005- B2 | 2015 |
| Movement pattern detection in a vehicle communication system | Howard Siswick, Mohammed Khan | Jaguar Land Rover Limited | US-9969356- B2 | 2018 |
| NFC based secure car key | Bernhard Spiess, Ulrich Neffe | Nxp B.V. | US-9786108- B2 | 2017 |
| On-vehicle apparatus control system and on-vehicle control device | Masahiro Yamamoto, Yoichi Atsumi | Omron Automotive Electronics Co., Ltd. | US-9786110- B2 | 2017 |
| On-vehicle apparatus control system, on-vehicle control device, and portable machine | Masahiro Yamamoto, Yoichi Atsumi | Omron Automotive Electronics Co., Ltd. | US-9965912- B2 | 2018 |
| On-vehicle apparatus, vehicle locking/unlocking system, and method of controlling on-vehicle apparatus | Shigeki Nishiyama, Tomoyuki Funayama, Toru Yoshihara | Toyota Jidosha Kabushiki Kaisha | US-9792745- B2 | 2017 |
| Outboard motor antitheft apparatus | Masato Takeda, Yoshihisa Shinogi, Masashi MANITA, Kosei | Honda Motor Co., Ltd. | US-8357018- B2 | 2013 |

| | | | | |
|--|--|--|---------------|------|
| | Yamashita, Makoto Yamamura, Yoshinori Maekawa | | | |
| Passive entry cell phone and method and system therefor | Joseph Santavicca | Voxx International Corporation | US-9241235-B2 | 2016 |
| Passive entry system and method for a vehicle | Riad Ghabra | Lear Corporation | US-9129454-B2 | 2015 |
| Passive entry system for an automotive vehicle | Riad Ghabra, Ehab Abdulla Tarmoom | Lear Corporation | US-8531268-B2 | 2013 |
| Passive remote keyless entry system with time-based anti-theft feature | Xing Ping Lin | Trw Automotive U.S. Llc | US-9842445-B2 | 2017 |
| Phone sleeve vehicle fob | John Robert Van Wiemeersch, Robert Bruce Kleve, Kevin Thomas Hille | Ford Global Technologies , Llc | US-9842444-B2 | 2017 |
| Portable device, communication device, and communication system | Kazuya Hamada, Takahiro Inaguma, Yosuke TOMITA | Omron Automotive Electronics Co., Ltd. | US-9728025-B2 | 2017 |
| Position-based performance of a vehicle function in a vehicle communication system | Howard Siswick, Mohammed Khan | Jaguar Land Rover Limited | US-9764699-B2 | 2017 |
| Priming vehicle access based on wireless key velocity | Arthur Thomas Bianchi, III, Kevin F. Militello, John Robert Van Wiemeersch, Vivekanandh Elangovan | Ford Global Technologies , Llc | US-9886805-B1 | 2018 |
| Provision of a status indication to a user in a vehicle communication system | Howard Siswick, Mohammed Khan | Jaguar Land Rover Limited | US-9764713-B2 | 2017 |
| Proximity confirming passive access system for vehicle | Michael J. Melaragni, William A. Biondo, David T. Proefke | GM Global Technology Operations LLC | US-9855918-B1 | 2018 |
| Regulating vehicle access using cryptographic methods | Karl B. Leboeuf, Ramie Phillips, | GM Global Technology | US-9990783-B2 | 2018 |

| | | | | |
|---|---|--|----------------|------|
| | iii, Earnest A. Lucitte, III | Operations LLC | | |
| Relay attack inhibiting | Bjorn Markus Jakobsson | Qualcomm Incorporated | US-9802574-B2 | 2017 |
| Relay attack prevention for passive entry passive start (PEPS) vehicle security systems | Todd P. Oman, Kevin J. Hawes | Delphi Technologies, Inc. | US-8930045-B2 | 2015 |
| Relay attack prevention for passive entry/passive start systems | Klaus Seiberts, Jim Childers | Texas Instruments Incorporated | US-9102296-B2 | 2015 |
| Remote control button actuation module, system, and method | Craig Arnold Tieman | Tieman Vehicle Technologies LLC | US-9576414-B2 | 2017 |
| Remote control device, vehicle, and method for controlling the vehicle | Jihye Lee, Jongyoung LEE, Sinjung Kim | Hyundai Motor Company | US-10078932-B2 | 2018 |
| Remote control system for car-mounted device | Yoshitsugu Sawa, Hiroshi Araki, Yukio Goto, Masashi Nojima, Masanobu Hiramine | Mitsubishi Electric Corporation | US-8228164-B2 | 2012 |
| Remote control system using different types of carrier waves for polling signals | Riad Ghabra | Lear Corporation | US-9685014-B1 | 2017 |
| Remote identification device associated with a vehicle including means for remotely communicating battery state-of-charge information with the associated vehicle | Eric Menard | Valeo Securite Habitable | US-8912912-B2 | 2014 |
| Remote keyless system | Thomas Zane Pramudji, Ari Pramudji | Thomas Zane Pramudji, Ari Pramudji | US-9767633-B2 | 2017 |
| Remote management and control of vehicular functions via multiple networks | Lonny Baskin, Ariel Malamud | Intel Corporation | US-9031712-B2 | 2015 |
| Remote vehicle access system | Eric E. HELLIGRATH | Honda Motor Co., Ltd. | US-10055916-B1 | 2018 |
| Remote vehicle access systems for fleet vehicles | Leonardo POMA | Huf North America Automotive Parts Manufacturing Corp. | US-9896063-B2 | 2018 |
| Reuseable keyfob for use prior to sale of keyless vehicle | Venkatesh Krishnan | Ford Global Technologies, Llc | US-9607457-B2 | 2017 |

| | | | | |
|---|---|---|--------------------|------|
| RFID transponder and method for operating the same | Ernst Muellner, Carlo Peschke | Texas Instruments Deutschland GmbH | US-8923791- B2 | 2014 |
| Security system for a motor vehicle | Carl Anthony Pickering | Jaguar Cars Limited | US-7710245- B2 | 2010 |
| Smart entry system | Hiroki Inoue | Denso Corporation | US- 10008060-B2 | 2018 |
| Smart entry system | Katsuyasu Yamane, Masayuki Yamazaki | Honda Motor Co., Ltd. | US-9607460- B2 | 2017 |
| Smart entry system | Katsuyasu Yamane, Shinichi Arie, Masayuki Yamazaki | Honda Motor Co., Ltd. | US-9396597- B2 | 2016 |
| Smart key system | Toru Yoshihara | Toyota Jidosha Kabushiki Kaisha | US-9761075- B2 | 2017 |
| Smart key system | Yoshiaki Takeuchi, Takeshi Konno, Katsuhisa Yamada, Sadanori Watarai, Kazuyuki Kuriyama, Shuichi ISHIBASHI | Honda Motor Co., Ltd., Honda Lock Mfg. Co., Ltd. | US-8423203- B2 | 2013 |
| Smart keyless entry system | Yasushi Hamada | Mazda Motor Corporation | US-8310338- B2 | 2012 |
| Solutions for relay attacks on passive keyless entry and go | Carlo Secondo Mutti, Davide Spedaliere | Assa Abloy Czech & Slovakia S.R.O. | US-9349236- B2 | 2016 |
| System allowing a service provider to selectively open a vehicle | Joris Fokkelman | Continental Automotive GmbH | US-9652908- B2 | 2017 |
| System and method for activating and deactivating a remotely controlled vehicle starter | Jose L. Gallarzo | Gallarzo Jose L | US-8354919- B2 | 2013 |
| System and method for authenticating components of a vehicle | Mukesh B. Nair | Nxp B.V. | US-9685013- B2 | 2017 |
| System and method for authorizing a remote device | Hilton W. Girard, III, Nikolay | Lear Corporation | US-8344850- B2 | 2013 |

| | | | | |
|--|--|--|--------------------|------|
| | Yakovenko, Riad Ghabra | | | |
| System and method for communicating with a vehicle | Craig A. Tieman | Samsung Electronics Co., Ltd. | US-8847731- B2 | 2014 |
| System and method for controlling vehicle systems from a cell phone | Jamie C. Howarter, Richard G. Bradford | Centurylink Intellectual Property Llc | US-8224313- B2 | 2012 |
| System and method for factory key code display with an automotive keyless entry system | Ronald Patrick Brombach, Mark Christian Aaron, Lisa Therese Boran, Daniel James Card | Ford Global Technologies , Llc | US-8154383- B2 | 2012 |
| System and method for key free access to a vehicle | Jamie C. Howarter, Richard G. Bradford | Embarq Holdings Company Llc | US-8126450- B2 | 2012 |
| System and method for keyless entry and remote starting vehicle with an OEM remote embedded in vehicle | Jack Wisnia | Lightwave Technology Inc. | US-9536365- B2 | 2017 |
| System and method for operating vehicle using mobile device | Phillip John Weicker, Anil Paryani | Faraday & Future Inc. | US-9830757- B2 | 2017 |
| System and method for range-boosted key fob | Il Charles Everett Badger | Ford Global Technologies , Llc | US-9842447- B2 | 2017 |
| System and method for training a programmable transceiver | Todd R. Witkowski, Ivo Ivanov Bonev, Plamen Chavdarov Stoyanov, Stefan Rumenov Nikolov | Gentex Corporation | US- 10008109-B2 | 2018 |
| System and method to enable passive entry | Timothy K. Mitchell | Fca Us Llc | US-9129455- B2 | 2015 |
| System for assigning a smartphone as a temporary key for a vehicle | John Avery, Adeel Yusuf | Panasonic Automotive Systems Company Of America, Division Of Panasonic Corporation Of North America | US-9595145- B2 | 2017 |

| | | | | |
|--|---|--|-------------------|------|
| System for passive entry and passive start for a motor vehicle | Danilo Caratto, Carlo Piazano, Samuele Ginevro | TRW Automotive Italia SRL | US- 9045102B2 | 2015 |
| System including a hand-held communication device having a motion sensor for remotely controlling the position of a door of a land vehicle and key fob for use in the system | Jason T. Murar, Darius J. Preisler, David R. Syrowik | Jvis-Usa, Llc | US-9593522- B1 | 2017 |
| System including a hand-held communication device having low and high power settings for remotely controlling the position of a door of a land vehicle and key fob for use in the system | Jason T. Murar, Darius J. Preisler, David R. Syrowik | Jvis-Usa, Llc | US-9830755- B2 | 2017 |
| Time of flight based passive entry/passive start system | Kobi J. Scheim, Moshe Laifenfeld, Nadav Lavi | GM Global Technology Operations LLC | US-9894613- B2 | 2018 |
| Upgrade kit for an ignition key and methods | John Stanfield, Eric D. Aeby, Michael Javault, Clement Gires, Brian Ng | Local Motion, Inc. | US-8841987- B1 | 2014 |
| Vehicle access authentication | Pietro Buttolo, II James Stewart Rankin, Mengchi Wang, Stuart C. Salter | Ford Global Technologies , Llc | US-9875589- B1 | 2018 |
| Vehicle access system | Mohammed Khan, Howard Siswick | Jaguar Land Rover Limited | US-9563990- B2 | 2017 |
| Vehicle and control method thereof | Jongyoung LEE, Jihye Lee, Sinjung Kim | Hyundai Motor Company | US-9783161- B2 | 2017 |
| Vehicle communication status indicator | Rafic Jergess, John Robert Van Wiemeersch, Howard Paul Tsvi Linden | Ford Global Technologies , Llc | US-9922472- B2 | 2018 |
| Vehicle control apparatus | Tomoyuki Funayama | Toyota Jidosha Kabushiki Kaisha | US-9569903- B2 | 2017 |

| | | | | |
|--|---|---|---------------|------|
| Vehicle control apparatus | Yosuke TOMITA, Naoyuki Ishihara, Tetsuo Nishidai, Takahiro Inaguma, Kazuya Hamada | Omron Automotive Electronics Co., Ltd. | US-9710985-B2 | 2017 |
| Vehicle control system to prevent relay attack | Yi Luo, John Nantz | Huf North America Automotive Parts Mfg. Corp. | US-9963109-B2 | 2018 |
| Vehicle door control | Robert Bingle, C. Bruce Banter | Adac Plastics, Inc. | US-9696839-B1 | 2017 |
| Vehicle electronic key system | Chia-Wei Chang, Shiang-Hua Lin, Ping-Mao Lee, Kuang-Yao Liao, Chih-Chung Weng, Hsin-Nan Chen | Hon Hai Precision Industry Co., Ltd. | US-9536360-B2 | 2017 |
| Vehicle function restriction system | Hiroshi Tsuruta, Kenji Suzuki | Kabushiki Kaisha Tokai Rika Denki Seisakusho | US-8487740-B2 | 2013 |
| Vehicle immobilizing devices, systems, and methods | Gregory S. Hopper, Peter Kent McCammon, Neal Harris Stern, Elizabeth Wells Shumadine | Pra Group, Inc. | US-9156436-B2 | 2015 |
| Vehicle key function control from a mobile phone based on radio frequency link from phone to vehicle | Robin D. Katzer | Sprint Communications Company L.P. | US-9252951-B1 | 2016 |
| Vehicle keyless operation system and method | Brian K. Lickfelt, Hideaki Arai, Jason D. DiSalvo | Honda Motor Co., Ltd. | US-8249802-B2 | 2012 |
| Vehicle lock-out protection system | Brian Karl LICKFELT, Bharath Kumar | Honda Motor Co., Ltd. | US-9976322-B2 | 2018 |

| | | | | |
|---|--|--|---------------|------|
| | PARASURAM A | | | |
| Vehicle PEPS system using directional sensors | Vyacheslav Berezin, Shaun S. Marshall, Moshe Laifenfeld, Timothy J. Talty | GM Global Technology Operations LLC | US-9928673-B2 | 2018 |
| Vehicle remote function system and method for determining vehicle FOB locations using adaptive filtering | Thomas O'Brien, Jason G. Bauman, Jian Ye | Lear Corporation | US-9679430-B2 | 2017 |
| Vehicle remote function system and method for effectuating vehicle operations based on vehicle FOB movement | Jason G. Bauman, Thomas O'Brien, Jian Ye | Lear Corporation | US-9852560-B2 | 2017 |
| Vehicle security system | Riccardo MORSELLI | Cnh Industrial America Llc | US-9865108-B2 | 2018 |
| Vehicle system and method for keyless authentication and control of an ignition system | Julianne KRAWCIW | Denso International America, Inc., Denso Corporation | US-9862353-B2 | 2018 |
| Vehicle wireless communication system, vehicle control device, and portable machine | Kazuya Hamada, Takahiro Inaguma, Yosuke TOMITA | Omron Automotive Electronics Co., Ltd. | US-9646443-B2 | 2017 |
| Vehicle wireless communication system, vehicle control device, and portable machine | Kazuya Hamada, Takahiro Inaguma, Yosuke TOMITA, Tetsuo Nishidai, Yuki Tokuyama | Omron Automotive Electronics Co., Ltd. | US-9805532-B2 | 2017 |
| Vehicular security system with configurable immobilization features | David S. Wagner, Anita L. Reichling | Trimark Corporation | US-8976014-B2 | 2015 |
| Wireless communication system for vehicle | Masanori Kosugi | Kabushiki Kaisha Tokai Rika Denki Seisakusho | US-9070232-B2 | 2015 |
| Wireless communications circuit | Frank Leong, Jan Van Sinderen, | Nxp B.V. | US-9082241-B2 | 2015 |

| | | | | |
|--|-------------------------|--|--|--|
| | William Redman-White | | | |
|--|-------------------------|--|--|--|